

~~S 7041~~

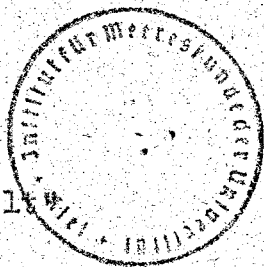
B. 41175.

D3

Über unperiodische und periodische Vorgänge

beim Wasseraustausch der Beltsee

(auf Grund eigener Messungen
an Bord des Feuerschiffes "Fehmarnbelt"
von 9. August bis 5. September 1947
und vom 20. Februar bis 18. März 1948)



Inaugural-Dissertation
zur Erlangung der Doktorwürde
der Hohen Philosophischen Fakultät
der Christian-Albrechts-Universität
zu Kiel

Vorgelegt von
Hartwig Weidemann

Kiel 1948

1. Berichterstatter : Prof.Dr.G. W ü s t

2.Berichterstatter: Prof.Dr.Curt Hoffmann

Tag der mündlichen Prüfung: 11.Dezember 1948

Zum Druck genehmigt:

Kiel, den 11.Dezember 1948

(gez.) Diller.

Dekan

Inhaltsübersicht

Seite

Vorwort

1

I. Einleitung

1.) Problemstellung; bisheriger Stand der Kenntnisse	2
2.) Meßmethoden und Instrumente	5
a) Wassertemperatur	5
b) Salzgehalt	6
c) Strom	7
d) Lufttemperatur	8
e) Wind	8
f) Strahlung	8
3.) Kritik der Meßgenauigkeit, Fehlerquellen	8
a) Wassertemperatur	8
b) Salzgehalt	9
c) Strom	10
d) Lufttemperatur	11
e) Wind	11
4.) Bemerkungen zu den Tabellen der Meßwerte	12
5.) Die geographische Lage des Feuerschiffes	13

II. Die Ergebnisse

1.) Überblick über Wetterlage und Schichtungs-entwicklung im Sommer und Winter	14
a) Bemerkungen zu den Tafeln 1 bis 4	14
b) Wetterlage und Oberflächenströmung	15
c) Die thermohaline Schichtung	18
2.) Charakteristische Einzeltorgänge	22
a) Unperiodische Vorgänge	22
aa) Sprungschichtschwankungen als Folge von Strömungsschwankungen	22
bb) Herkunft und Entstehung der "Kälteballen"	24
cc) Stromkonvergenzen	28
b) Periodische Vorgänge	30
aa) Freie Eigenschwingungen	30
bb) Gezeitenströme	33

III. Hydrographische und maritim-meteorologische Ergänzungen

1.) Das Eindringen der täglichen Temperaturschwankung in die Tiefe	37
2.) Die vertikale Verteilung der Lufttemperaturen am Feuerschiff	40
3.) Die Strahlungs-Aktinogramme	41

Anhang

Literaturverzeichnis	42
Tafeln 1-6	
Tabellen der Meßwerte	
Lebenslauf	

Vorwort

Dank den Berührungen von Herrn Prof. Dr. Wüst und dem Entgegenkommen des Seewasserstratenamtes Ostsee in Kiel wurde dem Kieler Institut für Meereskunde im Sommer 1947 die Möglichkeit geboten, einen wissenschaftlichen Beobachter für mehrere Wochen auf einem der deutschen Ostseefischerschiffe unterzubringen. Als mich Herr Prof. Wüst auf diese Möglichkeit hinwies, entschloß ich mich, im Hinblick auf die vielseitigen hydrographischen Probleme der Beltsee und die zu erwartenden günstigen Arbeitsbedingungen für Reihenmessungen, mich zunächst im August/September 1947 für vier Wochen auf dem Fischerschiff "Fehmarnbelt" einzuschiffen. Nach den günstigen Erfahrungen bei den Sommerbeobachtungen beschloß ich, auch im darauffolgenden Winter (Februar/März 1948) eine entsprechende Maßreihe aufzustellen, um so aus den beiden extremen Jahreszeiten eine Reihe typischer Beispiele für die komplizierten hydrographischen Vorgänge der Beltsee zu gewinnen. Damit entsprach ich einer Forderung, die G. Neumann [1] mit folgenden Sätzen gestellt hat: "Bei der außerordentlich starken Verwicklung der hydrographischen Verhältnisse der Beltsee und des Kattegats wird es kaum möglich sein, mit Hilfe von Mittelwerten einen tieferen Einblick in die Hydrographie dieser Gewässer zu gewinnen. Um dem Kernproblem der Ostsee, der Frage des Wasser austausches durch die Belte und den Sund, näher zu kommen, scheint es vornehmlich nur den einen Weg zu geben, möglichst viel Einzelphänomene, besonders typische Fälle, in den Kreis der Beobachtungen zu ziehen."

Die Entscheidung über den engeren Rahmen dieser Aufgabe stellte ich zunächst zurück; vorläufig sah es, möglichst vielseitige Maßreihen mit geringen zeitlichen Abständen von allen wichtigen hydrographischen und meteoreologischen Elementen zu sammeln, um für eine spätere Bearbeitung nach verschiedenen Gesichtspunkten in jedem Falle genügend Material zu erlangen.

Zwei Grenzen waren jedoch diesen Bestrebungen gesetzt: einmal war ich als Einzelbeobachter in einer Borrtätigkeit der natürlichen physischen Leistungsgranze unterworfen; zum anderen stellte sich heraus, daß die Beschaffung der notwendigen Instrumente mit zeitbedingten Schwierigkeiten verbunden war und das deshalb leider nicht immer die modernsten und erfolgversprechendsten Methoden angewandt werden konnten.

Durch die Hilfsbereitschaft und das Verständnis, das mir überall entgegengebracht wurde, gelang es jedoch, in verhältnismäßig kurzer Zeit das Wichtigste zusammenzustellen. Es ist mir eine selbstverständliche Pflicht, an dieser Stelle allen denjenigen zu danken, die mir für diesen Zweck Instrumente leihweise zur Verfügung stellten; in erster Linie dem Kielner Institut für Meereskunde (Prof. Wüst, Dr. Machens), weiterhin dem Deutschen Hydrographischen Institut in Hamburg (ORR Dr. Hansen), dem Meteorologischen Amt für Nordwestdeutschland in Hamburg (Prof. Kuhlbrodt, Dr. Georgi) und der Bioklimatischen Forschungsstation in Westerland/Sylt (Prof. Pfleiderer, Dr. Affenberger).

Für die freundliche Genehmigung und die Unterstützung bei den Vorarbeiten bin ich dem Seewasserströmung Ostsee, insbesondere den Herren Reg. Baumeister Deichsel und Dolme, zu Dank verpflichtet, ebenso wie auch der Besatzung des Feuerschiffes "Fehmarnbelt" mit ihren Kapitänen Herrn Lange und Herrn Nördt.

Schließlich danke ich allen denjenigen, die mit Anregungen, Ratschlägen und Kritik zu dieser Arbeit beigesteuert haben, vor allen aber dem Leiter des Instituts für Meereskunde der Universität Kiel, Herrn Professor Dr. Wüst, auf dessen Anregung sie entstand und dessen ständige Anteilnahme und Förderung zu ihrem Zustandekommen wesentlich beigetragen hat.

Die Arbeit wurde abgeschlossen im Oktober 1948 am Institut für Meereskunde in Kiel.

I. Einleitung

1.) Problemstellung; bisheriger Stand der Forschung.

Aus der Fülle des Materials, das ich während der insgesamt achtwöchigen Tätigkeit auf den Feuerschiff sammeln konnte, ergibt sich die engere Problemstellung fast zwangsläufig: Da das Feuerschiff "Fehmarnbelt" auf einer zur Beobachtung des Wasseraustausches zwischen Nord- und Ostsee besonders günstigen Position liegt, (s.S.13) erscheint es reizvoll, die Einzelvorgänge dieses Austausches in ihrer zeitlichen Folge und in ihrer Koppelung mit den Witterungsvorgängen zu untersuchen. Es liegt im Charakter der meisten früheren

Beobachtungen, daß sie nur mehr oder weniger s u f ä l l i g e Stickproben aus der unendlich vielseitigen Reihe der Möglichkeiten darstellen; hier soll dagegen versucht werden, durch die Gegenüberstellung zweier möglichst l ü c k e n l o s e r Reihen aus Hochsommer und Tiefwinter die Probleme etwas systematischer und vollständiger zu erfassen. Wenn auch der stickprobenartige Charakter dieser Reihen in gewissen Maße noch erhalten geblieben ist, insoffern als mit den achtwöchigen Beobachtungen nicht entfernt alle Möglichkeiten erschöpft sein können, so sind sie doch als in vieler Hinsicht t y p i s c h e Beispiele für den komplizierten Mechanismus dieses Wasseraustausches anzusehen und zu werten, nicht zuletzt wegen der gelungenen Erfassung der sommerlichen und winterlichen Extreme eines Jahres.

Im folgenden soll nun zunächst eine kurze Zusammenfassung des bisherigen Standes der Kenntnisse über die behandelten Probleme gegeben werden.

Es ist eine in der Naturwissenschaft in ihren meisten Zweigen historisch begründete Tatsache, daß man zuerst bestrebt war, die Verhältnisse im Großen zu sondieren und zu klären, ehe man sich mit enger begrenzten Aufgaben befaßte. So begann die eigentliche wissenschaftliche Meeresforschung im vorigen Jahrhundert mit mehreren großräumigen Expeditionen durch alle Weltmeere, die erst in diesem Jahrhundert allmählich zu systematischer Forschungsarbeit ausgebaut wurden. Erst verhältnismäßig spät beginnt dann auch das Interesse für die nicht minder wichtigen Probleme der Neben- und Randmeere. Nord- und Ostsee sind zum Objekt der internationalen Meeresforschung geworden, seit sich die Anliegerstaaten der nordeuropäischen Neben- und Randmeere im Jahre 1901 zu einer Organisation mit dem Sitz in Kopenhagen zusammengefunden haben, deren Ziel die systematische Erforschung dieser Meereengebiete (besonders im Hinblick auf eine rationelle Beifischung) ist. Durch regelmäßige Termintreffen aller beteiligten Länder ist viel wertvolles Material zusammengetragen worden.

Während aber in den offenen Weltmeeren der Umstand, daß man unterhalb einer verhältnismäßig seichten Deckschicht mit quasistationären Verhältnissen rechnen kann, die Forschungsarbeiten außerordentlich erleichtert, zeigt sich in den flachen Neben- und Randmeeren eine starke jahreszeitliche Abhängigkeit der hydrographischen Elemente, die noch sehr weitgehend von periodischen (Gezeiten-) und unperiodischen Schwankungen überlagert ist.

So war man früher der Auffassung, daß der Übergang vom salzreichen Nordseewasser durch Kattegat, Beltsee, Ostsee bis zur nahe-

zu völlig ausgesäumten Bottentiefe annähernd kontinuierlich erfolge, und die Mittelwerte langjähriger Beobachtungen von Feuerschiffen und Küstenstationen scheinen das zu bestätigen. [1] Wenn man jedoch dazu übergeht, Einzelfälle nach Art der in der Meteorologie üblichen synoptischen Methode zu untersuchen, stellt sich heraus, daß in Analogie zu dem Auftreten sprungsicht-artiger Fronten zwischen zwei verschiedenen Luftmassen auch zwischen Nord- und Ostseewasser derartige "Fronten" existieren, und zwar werden nach H. W a t t e n b e r g [2] drei verschiedene Wasserarten (Kattegat-, Beltsee- und Ostseewasser) durch zwei Fronten gegeneinander abgegrenzt. Das bedeutet, daß die Abnahme des Salzgehaltes nicht kontinuierlich, sondern in Stufen erfolgt. Die Lage dieser Stufen verschiebt sich nun je nach den herrschenden Strömungsverhältnissen zwischen der Darßer Schwelle und dem Kattegat, in enger Koppelung mit der jeweiligen Wetterlage, wie W. M a n e g o l d [3] und H. W a t t e n b e r g [2] feststellten. Ferner findet man, daß häufig in der Tiefe ein dem Oberflächenstrom entgegengesetzter Kompressionsstrom fließt, sodal sich auch in horizontaler Richtung eine mehr oder weniger scharfe Grenzfläche zwischen salzarmem Oberstrom und salzreichem Unterstrom ausbilden kann. [4] Über die im einzelnen dabei auftretenden, z.T. recht verwickelten Vorgänge soll u.a. in der vorliegenden Arbeit berichtet werden.

Die thermohaline Schichtung der Ostsee ist im Rahmen teilweise mehrwöchiger Stichfahrten verschiedentlich untersucht worden, wobei allerdings die winterlichen Verhältnisse wegen der ungünstigeren Beobachtungsbedingungen nur ungenügend berücksichtigt sind. Außerdem liegen Beobachtungsreihen der verschiedenen Feuerschiffe vor, die zwar im Hinblick auf ihren viele Jahre umfassenden Zeitraum ein wertvolles Material darstellen, sich jedoch im allgemeinen auf eine einzige Salzgehaltsprobe pro Tag beschränken und Temperaturmessungen nur von der Oberfläche bringen. Wie aber im folgenden erkennbar sein wird, genügt eine einzige tägliche Messung nicht, um wesentliche Einzelheiten des Wasseraustausches zu erfassen und zu erkennen.

In letzten Jahrzehnt sind einige Arbeiten entstanden, die mit Hilfe verfeinerter (meist elektrischer) Meßmethoden die thermohaline "Feinstruktur" in verschiedenen Teilen der Ostsee untersuchen und zu wichtigen neuen Ergebnissen führen. K. K a l l e [5] benutzt einen "Schlierenmesser", mit dem er eine starke thermische Uhrzeit feststellt; die Schwankungen betragen dabei oft mehrere Grade. G. N e u m a n n [6] erklärt solche und ähnliche Schwankungen periodischer Art als Anzeichen stehender zellulärer Wellen, während

K a l l e selbst interne Wellen an einer Grenzfläche als Ursache angibt. F. M o d e l [7] gibt anhand genauer, sehr engabständiger Serienmessungen ein Beispiel für Turbulenzerscheinungen größeren Stils ("Wasserballen"), die allerdings nur in einem Wasserkörper mit geringen vertikalen Dichteunterschieden möglich sind.

Wollte man jedoch einen längeren Zeitraum mittels derart feiner Meßmethoden überwachen, so würde das entstehende Bild unübersichtlich, wenn nicht völlig unbrauchbar werden. Auch hier gibt es wie überall in der physikalischen Meßtechnik eine optimale Genauigkeit, die zu überschreiten unnützen Arbeitsaufwand bedeuten würde, deren Grenzen sich allerdings mit fortschreitender Entwicklung der Wissenschaft verschieben können. (So erscheint $\frac{1}{4}$ % z.B. ein in Ruhe befindliches Gas nur solange ruhig, wie man nicht in die Dimensionen der Molekularbewegung herunterkommt; oder: eine bei ruhiger Wetterlage scheinbar ruhig und glatt verlaufende Registrierkurve eines normalen Barographen löst sich bei Verwendung eines hochempfindlichen Quecksilber-Waage-Barographen in eine völlig unregelmäßige Zackenkurve auf; usw., die Beispiele ließen sich beliebig vermehren.) Gewiß ist die Kenntnis dieser Feinstruktur für bestimmte Fragen von großer Bedeutung; man muß sich aber bei jeder Messung von vornherein darüber klar sein, eine wie große Genauigkeit für den beabsichtigten Zweck noch sinnvoll ist.

Unter Berücksichtigung dieser Überlegungen ergibt sich als $\frac{1}{4}$ zweckmäßigste Beobachtungsdichte ein vierstündiger Abstand der einzelnen hydrographischen Serien, der auch dem instrumentellen Aufwand und der Leistungsfähigkeit eines Einzelbeobachters am besten entspricht. Darauf folge sind während beider Beobachtungsperioden die Serienmessungen mit durchgehend vierstündigen Rhythmus durchgeführt worden, wobei lediglich die mitternächtlichen Serien im allgemeinen ausgefallen sind. Als Standard-Beobachtungstermine sollten daher für beide Perioden 05, 09, 13, 17, 21 Uhr gesetzlicher Zeit. Eine Reihe ähnlicher Beobachtungen mit ebenfalls vierstündigen Abständen ist in den Jahren 1936/38 bereits durch die Deutsche Seewarte durchgeführt worden; die Ergebnisse sind jedoch im Zusammenhang bisher noch nicht veröffentlicht; ein Teil davon wird im folgenden zu Vergleichszwecken benutzt werden.

2.) Meßmethoden und Instrumente.

In folgendem Abschnitt werden die verwendeten Instrumente und Meßmethoden besprochen, und zwar getrennt nach den einzelnen hydrographischen und meteorologischen Elementen.

a) Wassertemperatur.

Für die hydrographischen Serienmessungen wurde ein Pottersson-Isolierwasserschöpfer benutzt (Hersteller: Friedrichs & Co., Ham-

burg-Schnelsen), dessen Thermometer in Zehntelgrade geteilt ist, jedoch eine Luppenablesung der Hundertstel gestattet. Nachdem durch Versuche die Mindesteinstellzeit bei einer Temperaturdifferenz von etwa 10 grad zu etwa 1.5 Minuten festgestellt war, wurde im allgemeinen mit einer Anpassungsduer von 2.5 bis 3 Minuten gearbeitet, sodass der Abstand der Einzelmessungen voneinander innerhalb der Serie einschließlich Ablesen, Auffüllen der Probe und Ausbringen auf die nächste Tiefe etwa 5 bis 6 Minuten beträgt. Bei einer Gesamtwassertiefe von 28 m wurden ständig die Haupttiefen 0, 5, 10, 15, 20, 24 und 27.5 m gemessen; erforderlichenfalls wurden diese Intervalle nochmals halbiert oder geviertelt, um die genaue Lage intermedialer Maxima oder Minima festzustellen. Die Gesamtdauer der einzelnen Serien beträgt demnach etwa je 30 bis 50 Minuten.

Die Oberflächentemperaturen wurden im Sommer durchweg mit einem normalen Oberflächenthermometer mit Zehntelgradteilung (Fa. Richter & Wiese, Berlin) in einem Schöpfeimer gemessen (unter Beachtung der notwendigen Vorsichtsmaßregeln wie Wind- und Strahlungsschutz usw.). In Winter wurde dagegen ausschließlich mit dem Isolierwasserschöpfer gearbeitet, da sonst die Gefahr von unkontrollierbaren Fehlern infolge der oft erheblichen Temperaturdifferenzen Luft-Wasser bei höheren Windstärken zu groß geworden wäre. Bei beiden Methoden stammt die Probe aus einer Oberflächenschicht von einigen Dezimetern Dicke, in Ausnahmefällen (bei starkem Seegang) bis zu 1 m Tiefe; sie stellt also streng genommen einen Mittelwert für die oberste Schicht dar, nicht aber für die Oberfläche selbst, an der durch Strahlung und Verdunstung bei ruhigen Wetter erhebliche Gradienten verursacht werden können. In den meisten Fällen herrscht aber durch Wind und Seegang genügend Turbulenz, um die obersten Dezimeter der Wassersäule völlig zu durchmischen. (Kritische Betrachtungen über diese Probleme sind in einer Arbeit von A. N e r z [8] veröffentlicht.)

b) Salzgehalt.

Die große Zahl der entnommenen Proben einerseits sowie die verhältnismäßig geringen Ansprüche auf Absolutgenauigkeit der Salzgehaltsbestimmung anderseits führten zum Verzicht auf die Chloritration aller Proben, die so sich die bis heute genaueste Methode der Salzgehaltsbestimmung darstellt. Vielmehr wurde im Sommer (bei fast immer ruhig liegenden Schiff) mit Hilfe eines Ardenometers (Fa. Richter & Wiese, Berlin) die Dichte ermittelt und unter Berücksichtigung der Temperaturkorrektion aus den K u n d s e n 'schen Tabellen [9] der zugehörige Salzgehalt bestimmt. Im Winter wurde dagegen im Hinblick auf die zu erwartenden höheren Windstärken und das entsprechend unruhiger liegende Schiff das Z e i s 'sche Eintauch-Refraktometer verwendet, das aus dem von der Temperatur und dem

Salzgehalt abhängigen Brechungsindex bei bekannter Temperatur den Salzgehalt zu ermitteln gestattet. Um einen Vergleich der Absolutgenauigkeit zu ermöglichen, wurde sowohl im Sommer als auch im Winter eine Reihe von Proben mittels der Chlortitration untersucht. Im Sommer wurden städtliche Proben des 12./13.8., an dem im Rahmen eines Sonderbeobachtungsprogrammes des Instituts für Meereskunde mit zweistündigem Serienabstand gearbeitet wurde, durch das Institut titriert. Aus dem Vergleich mit den vorher und nachher anschließenden Aräometermessungen ist zu schließen, daß bei den niedrigen Salzgehalten nur unerhebliche Differenzen entstehen, während bei den Bodenwasserproben (im Mittel etwa 28 ‰) die durch die Chlortitration bestimmten Werte etwa um 0.6 ‰ unter den durch die Dichtemessung gewonnenen Werten liegen. Bei 5 Proben aus den Winterserien, die sowohl mit dem Refraktometer wie mit Hilfe der Titration bestimmt wurden, ergibt sich (bei verschiedenen Absolutsalzgehalt) eine maximale Differenz von 0.04 ‰, im Rahmen der Beobachtungsgenauigkeit (s.u.) also völlige Übereinstimmung.

c) Strom.

Für die kommerzielle Beobachtungsreihe stand nur ein technisch nicht einwandfreier Flügelrad-Strommesser Ulterer Saurat zur Verfügung, der nicht zuverlässig arbeitete. So mußte leider auf eine regelmäßige Messung des Tiefenstromes verzichtet werden; lediglich die Drahtwinkel des ausgebrachten Wasserschöpfers geben einen lediglich brauchbaren Anhalt für die Richtung der Stromverhältnisse in den unteren Schichten. Da es sich bei der Rinnenform des Fahrzeugs im wesentlichen nur um die Alternative Min- oder Ausstrom handelte, war die Richtungsangabe nicht schwer zu entscheiden.

An der Oberfläche werden terminäßig alle 4 Stunden durch die Besatzung Strommessungen entsprechend den Richtlinien der Deutschen Seewarte [10] mit Hilfe eines Freikörpers (Stromkreuz) an einer genannten Linie durchgeführt, und zwar werden die in einer Minute (Sanduhr) auslaufenden Meter bestimmt. Bei sorgfältiger Ausführung genügt die Genauigkeit dieses Verfahrens durchaus.

Im Winter wurde für die Tiefenstrom-Messungen ein Strommesser nach Winkmann-Wiegert verwendet. Nach Ende der ersten Frostperiode konnte das Instrument, das anfangs wegen völliger Vereisung nicht benutzbar war, für regelmäßige Strommessungenserien eingesetzt werden, die zunächst in 12-stündigen Abstand, später dann gleichzeitig mit den hydrographischen Serien in 4-stündigen Abstand erfolgten. Als Tiefenstufen wurden hierbei in der Regel 25, 16, 8 und zeitweise auch 1 oder 2 m gewählt, letztere zur Kontrolle der Stromkreuzmessungen.

d) Lufttemperatur.

Für die Bestimmung der Lufttemperatur standen 2 Ahmann'sche Aspirations-Psychrometer zur Verfügung; sie wurden jedoch nur in Ausnahmefällen benutzt, da die terminmäßige Lufttemperaturnessung mittels Schleuderthermo- bzw. psychrometer durch Besatzungsangehörige den geforderten Genauigkeitsansprüchen im allgemeinen genügt, wie durch verschiedentlich angestellte Vergleichsmessungen bestätigt wurde. Die Abstunde dieser Terminkmessungen betragen 2 Stunden (für Feuchtemessungen 3 Stunden).

Zur Klärung des Verlaufs des Temperaturfeldes um das Schiff herum wurde an einem ruhigen Sommertage 24 Stunden hindurch alle 2 Stunden in 5 verschiedenen Höhen nahezu gleichzeitig Temperatur und Feuchte mit den Ahmann-Psychrometer gemessen, die Ergebnisse sind gesondert im Anhang behandelt. (s. Seite)

e) Wind.

An Bord fest angebracht ist in etwa 8 m Meereshöhe ein Kontakt-Anemometer, dessen Registriervorrichtung (im Funkraum) nach je 500 m Windweg betätigt wird. Zur Berechnung der mittleren Windstärke zu den Beobachtungsterminen wurde der gesamte Windweg in dem Zeitraum von etwa 10 min vor dem Termin gewählt, sodass kleinere Unregelmäßigkeiten (Böigkeit) durch die Mittelung herausfallen. Zur Kontrolle des crtsfesten Anemometers und zum Vergleich mit den Windverhältnissen an anderen Punkten des Schiffes wurden zwei an Stangen befestigte Handanemometer (Schalenkreuz) mit Uhrwerk benutzt, die automatisch den Windweg für 100 sec messen und eine unmittelbare Ablesung in m/sec gestatten. Es ergab sich im allgemeinen eine Übereinstimmung innerhalb der Fehlergrenzen. Bei Versagen der Registriereinrichtung bzw. zum Vergleich werden auch die zweistündigen Terminebeobachtungen der Besatzung (Schätzung nach der Beaufort-Skala) herangezogen.

f) Strahlung.

Um auch den Einfluss der Strahlung auf die Temperaturverhältnisse berücksichtigen zu können, wurde während der Sommerbeobachtungsperiode ein Aktinograph nach H. R o b i t z s c h (Fa. Fuess, Berlin-Steglitz) aufgestellt, der die Gesamteinstrahlung (Sonnen- plus Himmelsstrahlung) registriert. Die Werte sind, der Bauart des Instrumentes entsprechend (es wird die Temperaturdifferenz zwischen einem geschwärzten und zwei weißen Bimetallstreifen angezeigt), nur als Relativwerte zu benutzen.

3.) Kritik der Melgenauigkeit; Fehlerquellen.

a) Wassertemperatur

Ganz allgemein gilt für die hydrographischen Serien die Einschränkung, dass die einzelnen Serien in sich nicht streng synoptisch

sind, da zwischen der ersten und letzten Messung jeweils eine halbe oder dreiviertel Stunde liegt; für Stabilitätsbetrachtungen oder dynamische Berechnungen sind sie daher nur mit Vorbehalt zu verwenden.

Die Temperaturablesung ist bei einer Teilung in Zehntelgrade mit einer Genauigkeit von $\pm 0.01^\circ$ möglich. Fehler durch mangelnde Anpassungsduer wurden vermieden (s.o.); Fehler durch nachträgliche Änderung nach dem Aufholen können nicht aufgetreten sein, da die Ablesung stets sofort nach dem Aufholen erfolgte. Außerdem wurde durch einen Versuch die Güte der Wärmeisolation des Schöpfers festgestellt. Bei etwa 12° Temperaturdifferenz zwischen Luft und Wasserprobe wurde der Schöpfer etwa 5 min der direkten Sonnenstrahlung ausgesetzt, dabei stieg die Temperatur der Wasserprobe nur unmerklich (etwa um 2 Hundertstelgrad). Unter Berücksichtigung eines auf den Eichschein vermerkten möglichen Eichfehlers von derselben Größenordnung wie der des Ablesefehlers kann im ungünstigen Fall mit einem Gesamtfehler von ± 1 bis 2 Hundertstel Grad gerechnet werden.

Für die Genauigkeit der Oberflächentemperaturmessung gelten die bereits oben (s.S.6) erwähnten Überlegungen im Zusammenhang mit der K e r z ' schen Abhandlung [8], auch hier kann die Fehlergrenze zu max. $\pm 0.02^\circ$ angenommen werden. Da für das Oberflächenthermometer kein Eichschein vorlag, wurde durch sorgfältige Vergleichsmessungen mit dem Thermometer des Wasserschöpfers (im gemeinsamen Temperaturbad) eine systematische Differenz von -0.04° festgestellt; eine entsprechende Korrektion ist in den Tabellen bereits angebracht.

b) Salzgehalt.

Die Ablesegenauigkeit bei der arithmetischen Dichtebestimmung beträgt, je nach der Eigenbewegung des Schiffes, etwa ± 0.02 bis 0.05 Einheiten (Einheit $\xi = (\rho - 1) \cdot 10^3$), die der zugehörigen Temperaturablesung $\pm 0.05^\circ$; die sich danach aus den Knudsen-Tabellen ergebenen Fehlergrenzen sind also etwa $\pm 0.07\%$ im Salzgehalt. Da an den Überlappungsbereichen der einzelnen Arthometer des Satzes gewisse Differenzen bestehen, kann die Gesamtgenauigkeit nur bis zu den Zehntelpromille als gesichert angesehen werden. Da aber in den behandelten Gewässern Salzgehaltsunterschiede von über 20% keine Seltenheit sind, ist diese Genauigkeit durchaus als ausreichend anzusehen.

Die Absolutgenauigkeit (im Sinne der internationalen Definition des Salzgehaltes) der arithmetischen Bestimmung ist offenbar nicht genügend gesichert (s.S.7); sie bedürfte noch einer gesonderten systematischen Untersuchung, denn in der Ostsee wie in anderen Nebenmeeren ist ja die prozentuale Zusammensetzung der Meersalze und damit auch die Beziehung zwischen Dichte und Salzgehalt eine andere.

als in den offenen Ozeanen. Diese Einschränkung fällt jedoch für die vorliegende Untersuchung nicht so sehr ins Gewicht, da es in erster Linie auf die Differenzen ankommt, wenn man die Schichtung behandelt will.

Etwas günstiger liegen die Verhältnisse bei der refraktometrischen Salzgehaltsbestimmung. Die Ablesegenaugigkeit am Instrument beträgt (bei mehrfacher Einstellung an der gleichen Probe) ± 0.02 Skalenteile. Die Bestimmung der Temperatur zur Zeit der Ablesung ist bis auf $\pm 0.05^\circ$ genau unter der Voraussetzung, daß Proben, Refraktometer und Thermometer längere Zeit in einem gleichmäßig temperierten Raum von etwa 15 bis 20°C sich angleichen können, bevor mit den Messungen begonnen wird. Andernfalls ändert sich die Temperatur der kleinen Wassermenge zu rasch (dabei entspricht einer Temperaturreduktion von 0.1° bereits eine Salzgehaltsänderung von 0.04 %). Eine weitere wichtige Voraussetzung für die Erreichung dieser Ablesegenauigkeit ist peinliche Sorgfalt in der Behandlung der optischen Teile, vor allem also die gründliche Reinigung des Prismenkeils vom Beginn und wiederholt zwischen den Messungen; ferner ein mehrmaliges Vorspülen von Becherglas und Prisma mit einem Teil der zu bestimmenen Probe, da sonst eine verhältnismäßig dicke Schicht des Wassers der vorangegangenen Probe an der Prismenfläche haften bleibt.

Die Salzgehaltswerte der Winterperiode können also mit einer Absolutgenauigkeit von $\pm 0.04\%$ (entsprechend den Vergleichstitrationen, s. Seite 7) als gesichert angesehen werden.

Trotz dieser Genauigkeitsdifferenzen sind die S-Werte in den Tabellen in jedem Falle bis zu den Hundertsteln angegeben, die als Abrundungsdecimalen oder zum Vergleich mit benachbarten Metowerten zu verwenden sind.

Die Dichte $\sigma_t = (\rho_t - 1) \cdot 10^3$, wobei ρ_t die Dichte einer Wassersprobe bei den in situ gemessenen Temperatur- und Salzgehaltswerten, jedoch unter Atmosphärendruck bedeutet, sind mit Hilfe der Diagramme von A. Schumacher [11] graphisch ermittelt. Entsprechend der Genauigkeit der Diagrammwerte ist hier nur die erste Dezimale angegeben, im Füller auch noch die zweite.

c) Strom.

Bei den relativ starken kurzzeitigen Schwankungen der Stromgeschwindigkeit hat eine Diskussion der Genauigkeit wenig Sinn; die Messungen stellen ohnehin Mittelungen über den ganzen Zeitraum der Einzelmessung dar, also je nach Geschwindigkeit zwischen 3-5 und etwa 30 Minuten. Die aus den Umdrehungszahlen errechneten Geschwindigkeiten sind daher auf ganze cm/sec abgerundet; eine Genauigkeit, die auch derjenigen der in ganzen Metern pro Minute abgelesenen Stromkreuzmessungen des Oberflächenstromes entspricht. Fehler, die

durch Änderungen des Strommessers nach der //letzten Eichung entstandenen sein könnten, waren marginale Nachreichegelegenheit nicht festzustellen, jedoch schien die Übereinstimmung zwischen dem Euklid-Merk-Strommesser und dem Stromkreuz bei verschiedenen Vergleichsmessungen recht gut.

Die magnetische Richtungsanzeige des Strommessers unterliegt im folge der Einwirkung des eisernen Schiffskörpers einer größtmäßig nicht genau bekannten oder zu bestimmenden Deviation. [12] Bei Vergleichen der Anzeige des ortsfesten Schiffskompasses, dessen Deviation bis auf $\pm 2^\circ$ kompensiert war, und des in 2 m Tiefe vom ausladenden Heck des Schiffes ausgebrachten Strommessers, dessen Achse über das Schiff parallel stand, schien die Deviation jedoch $10-15^\circ$ nicht zu übersteigen; in den größeren Tiefen wird sie entsprechend geringer gewesen sein. Unter Einbeziehung des Fühlers, der durch die Nichtberücksichtigung der Deklination (ca. 3.5° West) entsteht, ist die Gesamtgenauigkeit der Stromrichtungsmessung bei einer Ablesegenaugkeit von $\pm 5^\circ$ auf etwa $\pm 15^\circ$ zu veranschlagen; ein Fehler, der für die allgemeine Min- oder Ausstrom im allgemeinen ohne Bedeutung ist.

d) Lufttemperatur.

Die Ablesegenaugkeit beim Anschütz-Psychrometer beträgt $\pm 0.05^\circ$, bei dem Schleuderthermometer $\pm 0.1^\circ$. Fehlerquellen liegen vor allem in der Beeinflussung des Temperaturfeldes durch den Schiffskörper; auf die entsprechende Untersuchung im Anhang wurde oben bereits hingewiesen. Fehler, durch direkte Bestrahlung der Instrumente sind infolge des gut durchkonstruierten Strahlungsschutzes beim Aspirationspsychrometer nicht zu erwarten, beim Schleuderthermometer wegen der sehr guten Gesamtventilation des Instruments ebenfalls zu vernachlässigen.

e) Wind.

Die Anzeige des Kontaktanemometers (1 Kontakt für je 500 m Windgesch.) gestattet eine Umrechnung auf m/sec mit Berücksichtigung der ersten Beziehungen. Lediglich an einigen Tagen im Winter ergab wegen des starken Reifensatzes bei Nebel mit Frost die Anzeige zu niedrige Werte. An diesen Tagen mußte die Schätzung nach der Beaufort-Skala benutzt werden.

Die Schätzung nach Beaufort aus dem Seegang unterliegt im übrigen wegen der oft erheblichen Oberflächenströmung und der damit verbundenen Druckdämpfung des Seegangs (s. Seite ...) Fehlern, die 1-2 Stärkegrade erreichen können.

Da erfahrungsgemäß [13] bei der Richtungsschätzung nach Kompastrichen die Hauptrichtungen N, NW, NE, SW usw. bevorzugt werden vor den Zwischenstrichen NW, NEK usw., ist die Richtungsangabe im allgemeinen auf etwa $\pm 10^\circ$ genau, unter der Voraussetzung, daß

das Erkennen der Windrichtung mit etwa derselben Genauigkeit möglich ist.

4.) Bemerkungen zu den Tabellen der Messwerte.

Das Wichtigste über die Aufbereitung des Materials ist für Wind, Luft- und Wassertemperatur, Salzgehalt und Dichte bereits in den vorangegangenen Abschnitten gesagt worden.

Für die Strommessungen gilt folgendes: Der beobachtete Strom ist entsprechend der in der deutschen Literatur üblichen Bezeichnungsweise als Richtung angegeben, in die der Stromvektor deutet. (Ausnahme: Der Oberflächenstrom (aus Messungen der Besatzung) ist dagegen als Richtung angegeben, aus der der Strom kommt). In den Zusatzspalten ist der Strom vektoriell zerlegt in seine Komponenten längs und quer zur Hauptachse des Fehmarnheltes. Dabei ist die Haupt-Einstromrichtung von 115° als 0° bzw. 360° des neuen Systems gewählt. Dadurch erhält ein Stromvektor der Länge 1 in der rechtweisenden Richtung 115° die Komponenten $(+1,0)$, in 205° $(0,+1)$, in 295° $(-1,0)$ und in 25° $(0,-1)$. Dabei gibt also jeweils die erste Komponente den Anteil des effektiven Einstromes, die zweite den quer dazu in Richtung auf die Küste Fehmarns gerichteten Anteil des Gesamtstromes an. Die Werte sind auf cm/sec abgerundet.

Die Tabellen sind in folgender Weise angeordnet:

In der ersten Gruppe folgen untereinander

Termeine (in zweistündigen Abständen)

Windrichtung ("Bz" = Windstille)

Windgeschwindigkeit (in m/sec, bzw. Beaufort)

Oberflächenstrom - {
- Richtung in $^\circ$ (a u s d a r d e r S t r o m k o m m t)
- Geschwindigkeit (in cm/sec)
" " , Längskomponente (in cm/sec)
" " , Querkomponente (" ")

In der zweiten Gruppe folgen die hydrographischen Serien, und zwar in der ersten Zeile:

Hr. der Serie und Uhrzeit des Beginns (abgerundet)
darunter:

am linken Rand die Beobachtungstiefen
dahinter in jeder Serie:

links die Temperatur in $^\circ$ C (2 Dezimalen, ohne Komma!)

Mitte Salzgehalt in Promille (" " " ")

rechts Dichte (Sommer 1, Winter 2 Dez.; " ")

z.B.:

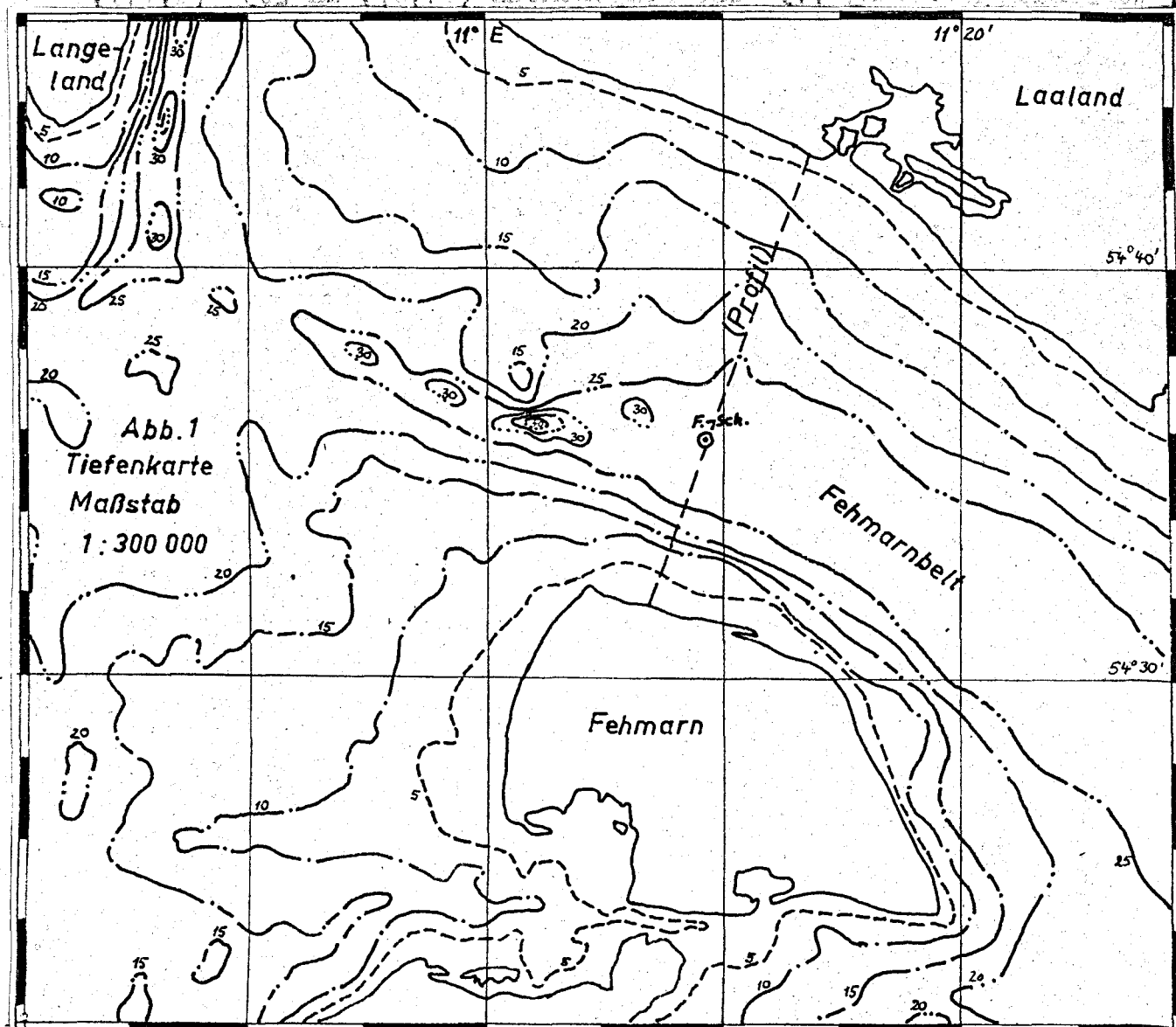
	S 20 (0200)	bedeutet: Bei Serie 20 der Sommerperi-
0	1899 0900 053	ode, Beginn etwa 2 Uhr, war in 0 m
1	Tiefe die Temperatur 18.99 C
		der Salzgehalt 9.00 ‰
		die Dichte 5.3.

In der dritten Gruppe (nur bei den Winternmessungen) folgen die

-21-

—gut verfestigtes und meistens sehr grobkörniges Gestein mit
geringen Mengen von Sandsteinen und Konglomeraten. Es ist eine
verhorizontale und mesolithische Schicht des Neolithikums.

Rechts und vor der Küste befindet sich ein sehr ausgedehnter und
sehr oft sehr dicker Schicht aus Konglomerat, unterteilt in verschiedene Schichten.
Die unterste Schicht besteht aus Kieseln und Schotter, die darüberliegenden
Schichten sind aus grobem Konglomerat zusammengesetzt, das
viele Kreide- und Sandsteinstücke enthält. Die obere Schicht ist aus
Konglomerat mit vielen kleinen Kieseln und Sandsteinen zusammengesetzt.
Die obere Schicht ist sehr dünn und besteht aus einer Mischung von
Konglomerat und Sandstein, die oben eine Reihe von kleinen
Kieseln und Sandsteinen aufweist. Die obere Schicht ist sehr
dünn und besteht aus einer Mischung von Konglomerat und Sandstein,
die oben eine Reihe von kleinen Kieseln und Sandsteinen aufweist.
Die obere Schicht ist sehr dünn und besteht aus einer Mischung von
Konglomerat und Sandstein, die oben eine Reihe von kleinen
Kieseln und Sandsteinen aufweist. Die obere Schicht ist sehr
dünn und besteht aus einer Mischung von Konglomerat und Sandstein,
die oben eine Reihe von kleinen Kieseln und Sandsteinen aufweist.
Die obere Schicht ist sehr dünn und besteht aus einer Mischung von
Konglomerat und Sandstein, die oben eine Reihe von kleinen
Kieseln und Sandsteinen aufweist.



Tiefenstrommessungen in der Anordnung

1. Zeile: Uhr. und Uhrzeit der Stromserie

darauf: an linken Rand die Beobachtungstiefe,

daneben oben links Stromrichtung in ° (Richtung n. a. ch ..)

oben rechts Stromgeschwindigkeit (in cm/sec)

unten links " " " ", Längskomponente

unten rechts " " " ", Querkomponente

z.B. Wstr 79(0530) bedeutet: Bei Serie 79 der Winterperiode,
8 120 58.4 Beginn etwa 0530 Uhr, setzte der Strom
58 5 in 8 m Tiefe mit 58.4 cm/sec nach 120°;
10 .. daraus errechnet sich die Längskomponente
 in der Haupt-Stromrichtung 115° zu
 $+58 \text{ cm/sec}$, die Querkomponente in Rich-
 tung 205° zu $+5 \text{ cm/sec}$.

Die positiven Vorzeichen der Komponenten sind weggelassen.

Die in der Sommerperiode aus den Brantwinkeln geschätzten Stromverhältnisse in der Tiefe sind tabellarisch nicht gesondert angegeben; die Ergebnisse sind jedoch in der Isoplethendarstellung auf Tafel 2 enthalten. (Numeres s.d.)

Sämtliche Uhrzeiten sind, falls im Text nicht anders erwähnt, in gesetzlicher Zeit angegeben, d.h.

im Sommer in Deutscher Sommerzeit = M.G.Z. + 2 h

im Winter in Mitteleuropäischer Zeit = M.G.Z. + 1 h

5.) Die geographische Lage des Feuerschiffes.

Das Feuerschiff "Fehmarnbelt" liegt in der gleichnamigen Verbindung zwischen Kieler und Mecklenburger Bucht auf $54^{\circ}35' \text{ N}$ und $11^{\circ}9' \text{ E}$ in etwa 20 m Wassertiefe verankert. Die Entfernung von der deutschen Küste (Fehmarn) beträgt 4,3 sm, von der dänischen Füste (Jæland) 7,2 sm. Die engste Stelle des Fehmarnbeltes mit 9,4 sm Breite liegt etwa 5 sm östlich vom Feuerschiff. Die Tiefe von 20 m entspricht der Satteltiefe, d.h. der tiefsten Mindesttiefe in der Seewelle, durch die noch ein Wasseraustausch stattfinden kann.

Wie schon aus diesen Angaben hervorgeht (s.a. die Skizzen), ist die Lage des Feuerschiffes "Fehmarnbelt" für hydrographische Untersuchungen besonders gut geeignet; einmal wegen der Lage mitten über der Satteltiefe dieser Rinne (im Gegensatz zu den meisten anderen Feuerschiffen, die gewöhnlich auf Untiefe verankert sind), zum anderen wegen der bevorzugten Rolle, die gerade der Fehmarnbelt in den Austauschvorgängen zwischen Nord- und Ostseewasser spielt. Nach Untersuchungen von J. P. Jacobson [14], R. Wittfing [15] u.a. vollzieht sich der weit aus größte Teil des Austausches durch den Großen Belt (und damit auch durch den Fehmarnbelt), und zwar im Jahresmittel 41 km^3 Ausstrom pro Monat, während der Øresund mit im Mittel 11 km^3 dagegen zurücktritt. Vor allem dürfte wegen der geringen Satteltiefe des Øresundes der Einstrom salzreichen Tiefenwassers

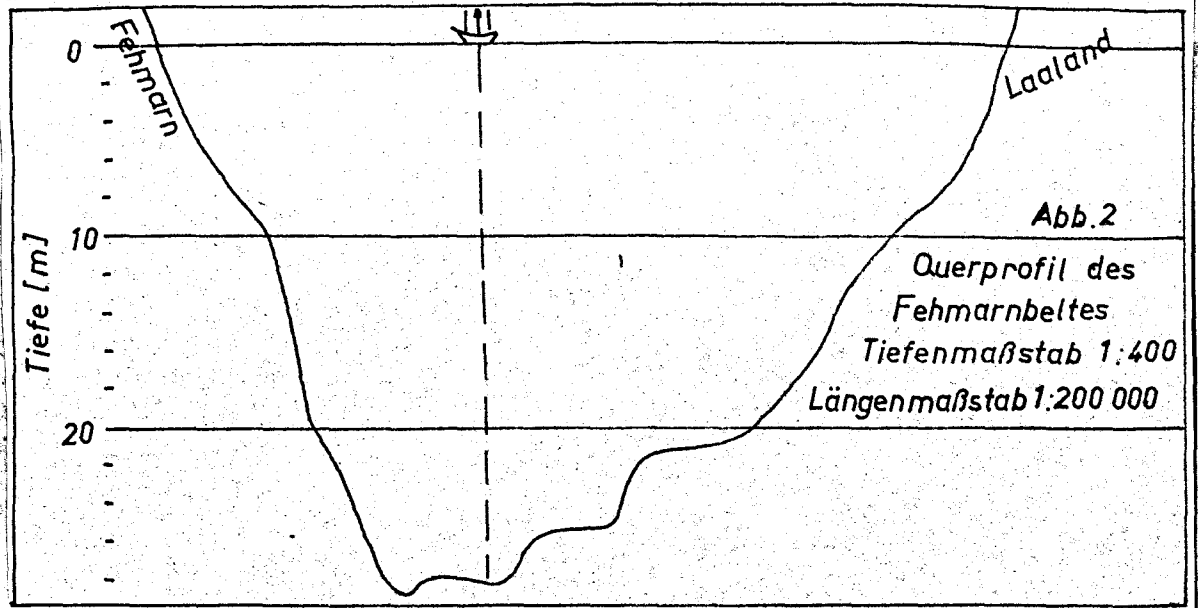


Abb. 2

Querprofil des
Fehmarnbeltes
Tiefenmaßstab 1:400
Längenmaßstab 1:200 000

aus dem Kettegat in dieser Linie fast völlig fehlen; von gewisser Wichtigkeit ist er jedoch deshalb, weil er für den Oberflächenstrom eine sehr viel kürzere Verbindung zwischen Kettegat und Arkonabecken darstellt als der lange Weg durch die Belte. [6]

Der Anteil des kleineren Beltes tritt wegen seines wesentlich kleineren Querschnittes (Größer : Kleiner Belt wie 13 : 1) und des weiteren Weges gegen die Anteile der beiden anderen Verbindungsstraßen zurück, trugt aber auch zur Verstärkung des Austausches durch den Fehmarnbelt bei.

Besondere Beachtung verdient die außerordentliche Seichtheit dieser Gewässer im Vergleich zu den horizontalen Dimensionen; das dargestellte Profil (Abb. 2) ist 500-fach übertrieft, d.h. im natürlichen Maßstab würde die tiefste Stelle nur 0,14 mm unter der Oberlinie liegen, also etwa um Eichtiefstrichstärke! Um so überraschender ist die zu beobachtende Mannigfaltigkeit der Variationsmöglichkeiten der hydrographischen Schichtung.

III. Die Ergebnisse

1.) Überblick über Wetterlage und Schichtungsentwicklung im Sommer und Winter.

e) Bemerkungen zu den Tafeln 1 bis 4.

Im folgenden Abschnitt soll zunächst die zeitliche Entwicklung der hydrographischen Elemente unter dem Einfluß der beteiligten meteorologischen Faktoren verfolgt werden. Um eine möglichst übersichtliche Gegenüberstellung aller Elemente zu erreichen, ist deren Ablauf in Isoplethen oder gewöhnlichen Kurven als Funktionen der Zeit übereinander dargestellt; und zwar auf Tafel 1 bzw. 3 Lufttemperatur, Isoplethen der Wasser Temperatur, des Salzgehaltes und der Dichte σ_t , dazu auf Tafel 2 und 4 Windrichtung und -geschwindigkeit, Stromkomponenten in Fließrichtung und Stromisoplethen.

Bei den einzeln Vorstellungen sind folgende Punkte zu beachten: 1.) Die zeitliche Lage der t-s-Serien ist durch kurze Striche über der Thermo-Isoplethendarstellung markiert; die Ziffern bedeuten die Nummern der Serien in den Tabellen.

2.) Die Thermo-Isoplethen auf Tafel 1 sind mit 1° -Abstand, auf Tafel 3 dagegen mit 5° -Abstand gezeichnet. Auf Tafel 1 stellt der tiefste blaue Farbtön Temperaturen von 9° - 10° dar, die 20° -Grenze verläuft zwischen der braunen und karminroten Färbung. Auf Tafel 3 verläuft die 1° -Linie zwischen blau und grün, die 3° -Linie zwischen orange und rot.

3.) Die Isoplethen des Salzgehaltes S und der Dichte σ_t sind im Abstand von je einer Einheit gezeichnet, die Linien 10, 15, 20 usw.

sind hervorgehoben und im Mittelteil bezeichnet.

4.) Die Werte für Lufttemperatur, Windrichtung und -stärke sind aus den 2-stündigen Beobachtungen (s. Tabellen, Anhang) entnommen. Die gestrichelten Teile der Windstärkekurve beruhen auf Schätzungen nach der Beaufortskala.

5.) Die Längskomponenten des Oberflächenstromes auf Tafel 2 und der Stromgeschwindigkeiten in den verschiedenen Tiefen auf Tafel 4 sind positiv (Einstrom) nach oben, negativ (Ausstrom) nach unten aufgetragen; die Bedeutung der verschiedenen Signaturen ist auf der Tafel angegeben.

6.) Die Strom-Isoplethen auf Tafel 2 (Sommer) beruhen auf verstreuteten Strommessungen, die in den Tabellen nicht aufgeführt sind, sowie den Winkelbeobachtungen am Wasserschöpfer. Jede Beobachtung oder Messung ist durch einen Buchstaben gekennzeichnet, dessen Bedeutung aus der Tafel zu erschließen ist. Wegen der geringen Zahl der Werte in der ersten Hälfte des Beobachtungszeitraums ist die Lage der Isoplethen dort z.T. hypothetisch.

Auf Tafel 4 sind die Isoplethen der Längs- und Querkomponenten gesondert aufgetragen. Die positiven (Längs-K.=Einstrom) Werte sind durch blaue, die negativen (Längs-K.=Ausstrom) durch rote Färbung gekennzeichnet; Gebiete mit Stromstille sind grau schraffiert. Der Abstand der Isoplethen beträgt 50 cm/sec, z.T. sind auch die Zwischenwerte 25, 75 usw. gestrichelt eingetragen. Die tiefrote Färbung bedeutet negative Komponenten von 50-75 cm/sec, die tiefblaue stellt positive Komponenten von 100-150, die grüne von 150-200 cm/sec dar.

7.) Die seitliche Lage der Stromserien (nur auf Tafel 4) ist ebenfalls durch kurze Striche zwischen den beiden Isoplethendarstellungen bezeichnet. Die Bezeichnung stimmt mit der der Serien in den Tabellen überein.

b) Wetterlage und Oberflächenströmung.

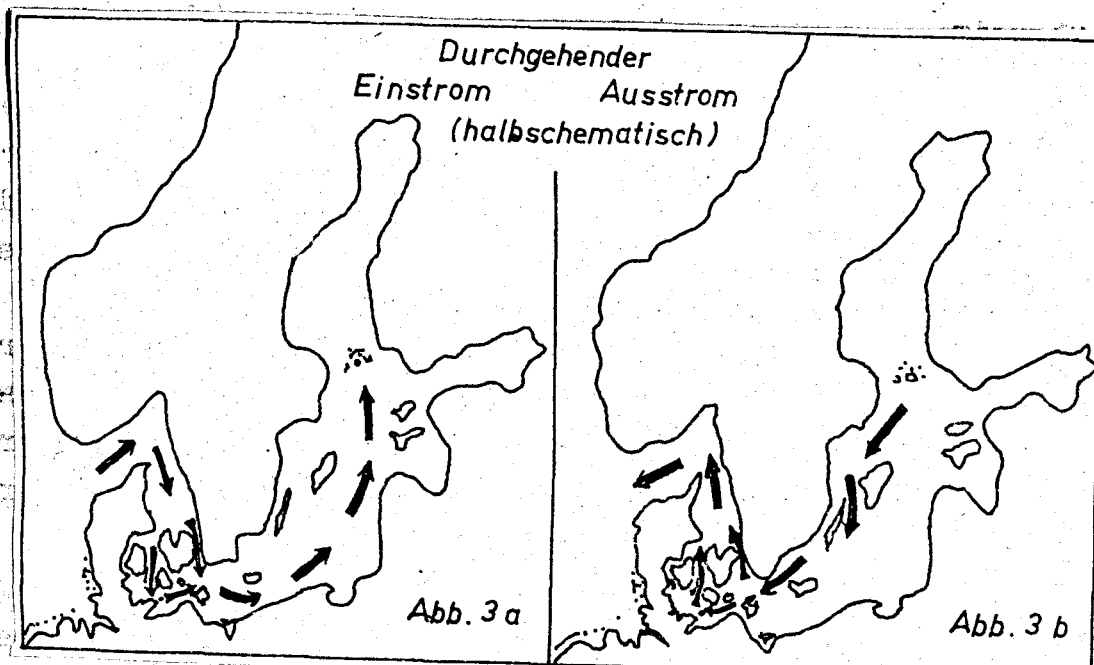
Die Witterung des sommerlichen Beobachtungszeitraumes zeichnete sich als trockene Hitzeperiode ungewöhnlicher Dauer aus (das Jahr 1947 brachte für Mitteleuropa den niederschlagsärtesten August und den wärmsten September seit langen Jahren). Die Ursache war ein mit außerordentlicher Beharrlichkeit haltendes oder immer wieder aufbauendes Hochdruckgebiet im skandinavischen Raum. Solon im vorangegangenen Winter 1946/47 hatte diese Erwärmungstendenz zu längerdauernden extremen Kälteperioden geführt; im Sommer wurden entsprechend mit anhaltenden Winden aus östlichen Richtungen trockene erhitzte Kontinentalluftmassen nach Mitteleuropa verfrachtet.

Diese besonderen Witterungsbedingungen machen sich natürlicherweise deutlich auch in den hydrographischen Verhältnissen der Ostsee bemerkbar. Als erstes fällt die lange Dauer des ununterbrochenen Aus-

... dasselbe ist nicht mit ihrer Ausdehnungsgeschwindigkeit gleichzusetzen - hier tritt die Zeit, während derer sich ein Teil des Gewebes (z.B. Epithel, Endothel u.) ausgedehnt hat, zurück vor dem Fortschreiten des Prozesses auf. Dieser Vorgang ist ein zentraler Unterschied zwischen akutem und chronischem Entzündungsprozess.

Die akute Entzündung ist ein rasch ablaufender Prozess, bei dem die Zellen des Gewebes (Epithel, Knochen, Blutzellen) rasch vermehrt werden, um die verursachende Ursache zu bekämpfen. Der Prozess ist daher sehr schnell und vollständig. Beispiele für akute Entzündungen sind z.B. eine akute Bronchitis oder eine akute Appendizitis. Diese Form der Entzündung ist durch einen starken Schwellungszustand (Edem), Schwellung und Rötung gekennzeichnet. Die Entzündung dauert meist nur wenige Tage an und geht dann wieder zurück.

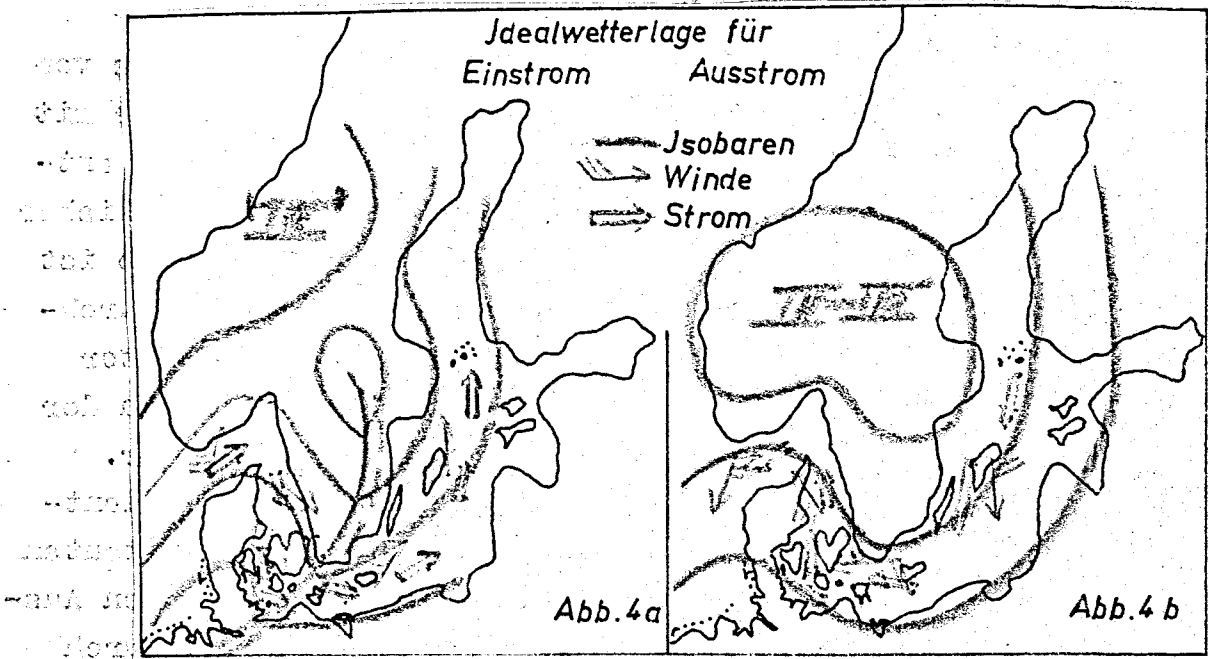
Die chronische Entzündung ist ein langsamer, prograder Prozess, bei dem die Zellen des Gewebes langsam vermehrt werden, um die verursachende Ursache zu bekämpfen. Beispiele für chronische Entzündungen sind z.B. eine chronische Bronchitis oder eine chronische Appendizitis. Diese Form der Entzündung ist durch einen langsam zunehmenden Schwellungszustand (Edem), Schwellung und Rötung gekennzeichnet. Die Entzündung dauert meist mehrere Monate bis Jahre an und geht nicht wieder zurück.



Bei akuter Entzündung kommt es zu einer Zunahme des interstitiellen Flüssigkeitsgehalts im Gewebe.

stromes an der Oberfläche auf; während des gesamten Zeitraumes vom 10.-31.8., also volle 22 Tage, herrschen im Fehmarnbelt Ströme mit norwestlich, d.h. auswärts gerichteter Komponente. Diese Dauer entspricht nach Wattewerg [2] etwa dem Extremwert der bisher beobachteten Ausstromperioden. Untersucht man die Ursachen, so ist zunächst festzustellen, daß die Windrichtung am Fehmarnbelt durchaus nicht immer in dem für einen Trift-Ausstrom günstigen Sektor zwischen Ost und Südost liegt; vielmehr herrschen besonders in der 2. Hälfte dieses Zeitraumes Winde mit nördlicher Komponente vor. Es handelt sich also offenbar ganz überwiegend um einen Gradientstrom, der durch den Abfluß des in der südlichen Ostsee angestauten Wassers entsteht und der durch den im Mittel stets herrschenden Ausstrom noch verstärkt wird. Diese Beobachtung wird bestätigt durch eine bisher unveröffentlichte Untersuchung der mittleren Oberflächenstromverhältnisse in der westlichen Ostsee und im Kattegat durch G. Dietrich, über die dieser in einem Referat im Rahmen des meereskundlichen Kolloquiums des Kieler Institutes berichtete. [16] Dietrich stellt auf Grund aller verfügbarer Strombeobachtungen aus dem Jahre 1937 Stromkarten für die 4 verschiedenen Hauptwindrichtungen bei 2 verschiedenen Windstärken (3 und 6) auf, die deutlich die Abhängigkeit von Stromrichtung und -stärke in den Verbindungsstraßen der Bucht von der Größe und Richtung des Luftdruckgefälles veranschaulichen. Für den Fehmarnbelt stimmen dabei die als Mittelwerte gefundenen Ergebnisse gut mit den Einzelbeobachtungen der vorliegenden Reihen überein; natürgemäß sind dabei die Mittelwerte der Stromgeschwindigkeiten etwas niedriger als die im Einzelfall möglichen Extreme. Aus der Darstellung der Stromverhältnisse bei nördlichen Winden ist zu entnehmen, daß selbst bei Windstärke 6 im Øresund noch kräftiger nach Norden gerichteter Ausstrom zu herrschen pflegt, d.h. der durch den Anstau in der südlichen Ostsee hervorgerufene Gradientstrom überwiegt (wenigstens im Øresund) den entgegengesetzten Triftstrom.

Hier soll nun auf einem etwas anderen Wege durch eine einfache Überlegung gezeigt werden, welche Wind- (und damit auch Luftdruck-) Verteilung über der Ostsee die günstigsten Voraussetzungen für einen durchgehenden Ein- oder Ausstrom bildet. (Vgl. W. Mangold, [3] Zeichnet man sich in eine Karte der Ostsee Strompfähle schematisch so ein, daß sie sich zu einem durchgehenden Strom zusammensetzen, so erhält man (unter Berücksichtigung der Corioliskraft, die den Strom an die rechte Flanke drängt) das Bild der Abb. 3 a/b.) Unter der Annahme, daß diese Strömungen Triftströme des an den ver-

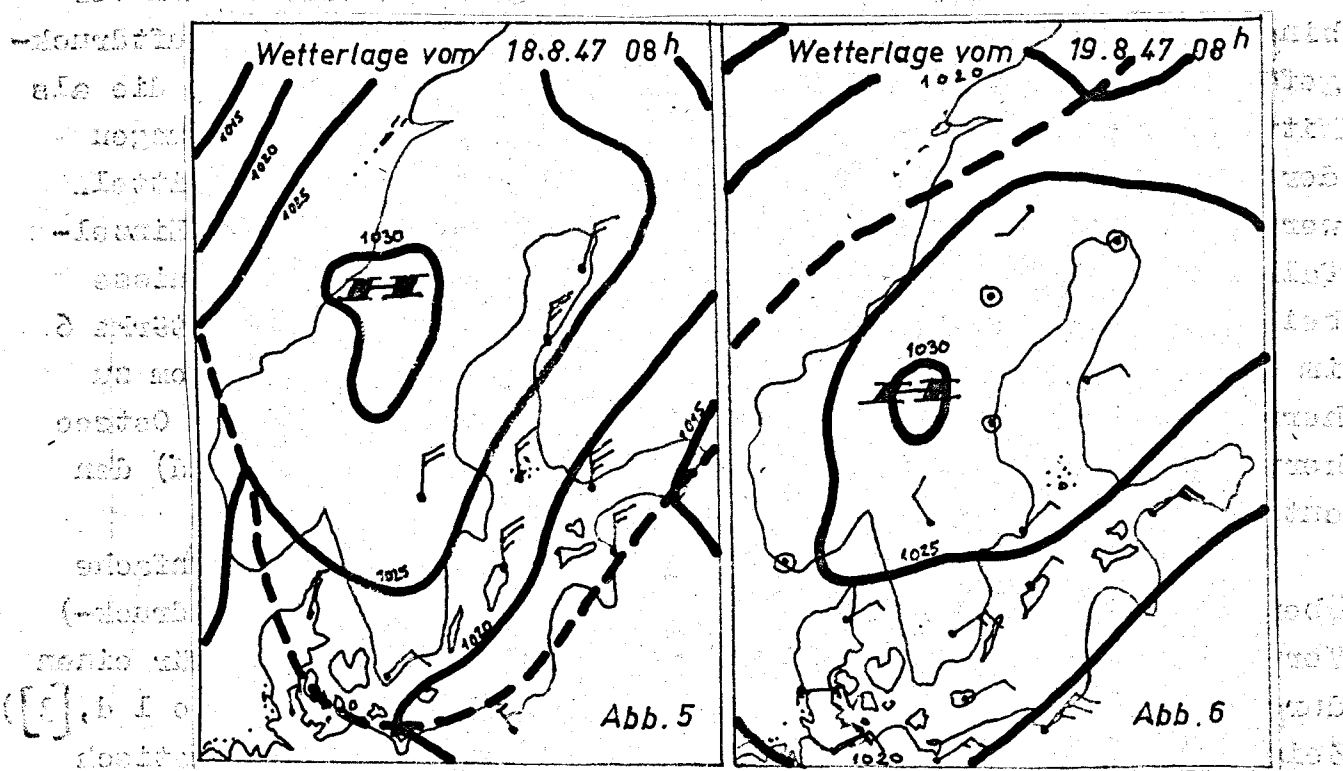


- Wetterlagen, die von gewaltigem und langfristigem Winddruck gekennzeichnet sind, erfordern eigentlich eine große Anzahl von Windrichtungen, wobei die Windrichtungen so ausgerichtet sind, dass sie in der gleichen Richtung fließen. Ein solches Wetterbild ist jedoch nicht sehr wahrscheinlich, da es in der Regel zu einem starken Winddruck kommt, wenn die Windrichtungen entgegengesetzte Richtungen haben. Ein solches Wetterbild kann jedoch durchaus eintreten, wenn die Windrichtungen entgegengesetzte Richtungen haben.

- Ein solches Wetterbild kann jedoch durchaus eintreten, wenn die Windrichtungen entgegengesetzte Richtungen haben. Ein solches Wetterbild kann jedoch durchaus eintreten, wenn die Windrichtungen entgegengesetzte Richtungen haben.

- Ein solches Wetterbild kann jedoch durchaus eintreten, wenn die Windrichtungen entgegengesetzte Richtungen haben.

- Ein solches Wetterbild kann jedoch durchaus eintreten, wenn die Windrichtungen entgegengesetzte Richtungen haben.



- Ein solches Wetterbild kann jedoch durchaus eintreten, wenn die Windrichtungen entgegengesetzte Richtungen haben. Ein solches Wetterbild kann jedoch durchaus eintreten, wenn die Windrichtungen entgegengesetzte Richtungen haben. Ein solches Wetterbild kann jedoch durchaus eintreten, wenn die Windrichtungen entgegengesetzte Richtungen haben. Ein solches Wetterbild kann jedoch durchaus eintreten, wenn die Windrichtungen entgegengesetzte Richtungen haben.

schiedenen Orten gerade herrschenden Windes sind, kann man zu jedem Stromfeil den zugehörigen Windpfeil konstruieren und damit auch die Richtung der Isobaren des entsprechenden Luftdruckfeldes. Aus dem entstehenden Bild (Abb. 4 a/b) ergibt sich die einfache Bedingung, daß sich die Isobarenrichtung möglichst gut der Hauptstromrichtung anpassen muß, um einen maximalen, durchgehenden Strom zu erzeugen (unter der berechtigten Annahme, daß der Ablenkungswinkel des Triftstromes gegenüber der Windrichtung, s.u.a. bei G. Neumann [13], geordnungsmäßig demjenigen des Bodenwindes über See vom geostrophischen Wind entspricht). Selbstverständlich spielt auch die Größe des Luftdruckgradienten dabei eine wesentliche Rolle; jedoch ist die erste Bedingung deshalb so wichtig, weil ohne Abflussmöglichkeit sich die durch Windtrift in Bewegung gesetzten Wassermassen sehr bald aufstauen würden und damit der Triftstrom aufhören oder wenigstens stark gehemmt würde. (Vgl. das Beispiel auf S. 16, Ausstrom bei Norwind).

Aus den beiden Skizzen 4 a/b geht deutlich hervor, daß eine optimale Einstromlage beim langsamem Durchzug oder besser noch Stationärwerden eines Tiefdruckauslängers über Südkandinavien entsteht (möglichst unter Mitwirkung einer Konvergenz etwa von Stockholm über Schonen nach Hamburg), und daß entsprechend für Ausstrom ein Hoch über Skandinavien mit einem Keil über Südschweden die günstigsten Bedingungen schafft.

Damit ist bereits die außergewöhnliche Dauer dieser sommerlichen Ausstromperiode erklärt, denn wir finden, wie oben bereits erwähnt, während dieser Zeit fast immer hohen Druck über Skandinavien, zumindest aber antizyklonal gekrümmte Isobaren über der Ostsee. Dadurch, daß die Bedingung genügender Abflussmöglichkeit aus dem Kattegat nicht immer ideal erfüllt ist, entstehen Schwankungen der Stromstärke, die sich in einzelnen anhand der täglichen Isobarenverteilung erklären lassen. Als Beispiel sei hier die Lage vom 18.-20.8. gezeigt, die ein erstes Strommaximum von rd. ~~50~~ 90 cm/sec erzeugt; (Nach dem von Meteorologischen Amt für Nordwestdeutschland herausgegebenen "Täglichen Wetterbericht" [17]) (Abb. 5-7)

Entsprechend den oben abgeleiteten Forderungen finden wir auch am Fehmarnbelt an diesen Tagen optimale Bedingungen für Ausstrom, nämlich Winde um Ost von im Mittel etwa 8 m/sec.

Ein zweites Strommaximum am 22.8. mit über 100 cm/sec wird dagegen hervorgerufen durch die Verstärkung des Luftdruckgradienten infolge eines über Polen entstehenden Tiefs; Bornholm meldet während dieser Zeit Nordostwind, Stärke 6.

In dem folgenden Rest der Ausstromperiode (vom 23.-31.8.) herrschen am Fehmarnbelt, wie schon oben erwähnt, nördliche Windkompo-

- auf dem Lande sind durch die Wetterlagenlinien dargestellte Veränderungen der Windrichtung und -stärke sowie die Entfernung von Windstille und Sturm zu erkennen.
 - die Windrichtung ist durch die Windrichtungslinien (Windrose) gekennzeichnet
 - die Windstärke ist durch Windgeschwindigkeitslinien (Windgeschwindigkeit) angegeben
 - verändert hat sich die Windrichtung (Windrichtungswechsel) sehr sehr
 - es handelt sich um den Windrichtungswechsel, der während der Zeit von 10 Minuten umgedreht ist, um einen Windrichtungswechsel von mehr als 90°
 - es gibt zwei Arten von Windrichtungswechseln

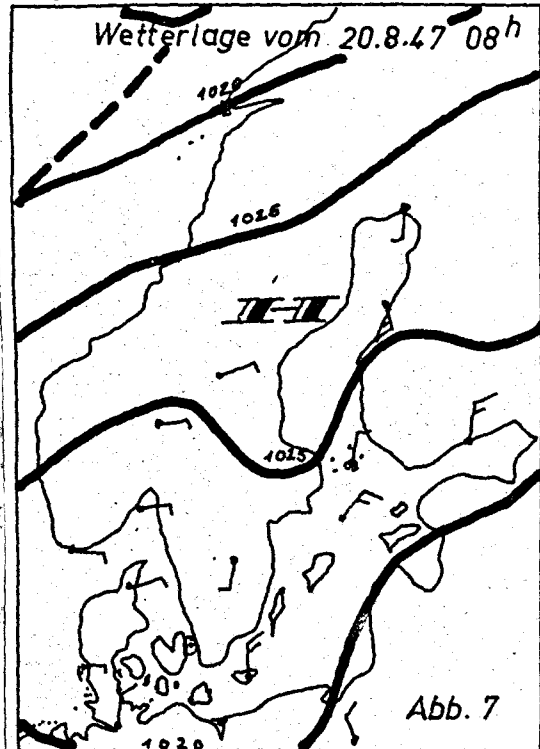


Abb. 7

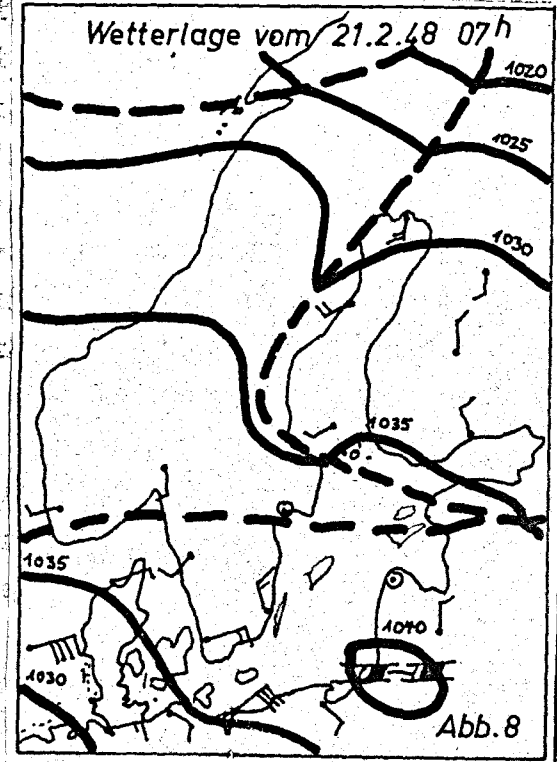


Abb. 8

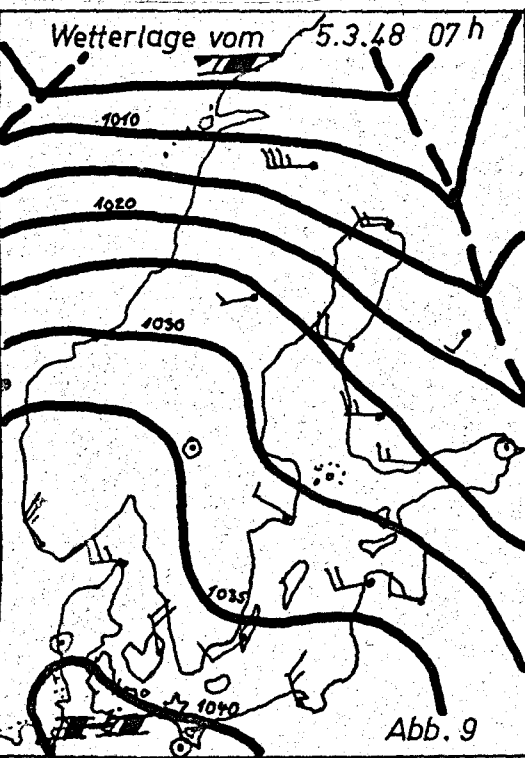


Abb. 9

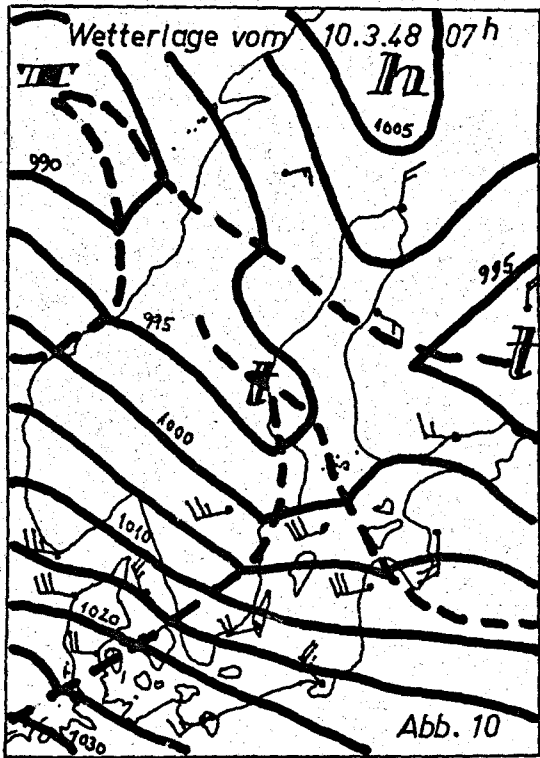


Abb. 10

nenten vor; damit sind die Abflußbedingungen in Beltsee und Kettensat ungünstig, die Stromgeschwindigkeit also entsprechend geringer trotz offenbar gleichbleibenden Anstaus in der südlichen Ostsee. Ihr vorübergehendes Ende findet die Ausstromperiode mit einigen kurzen Schwingungen um den Nullwert am 31.8.-3.9.; durch ein kräftiges Tief über Polen gerät die südöstliche Ostsee unter den Einfluß zyklonal gekrümmter Isobaren, sodaß die Stauwirkung aufhört.

Im Winter läßt sich der Beobachtungszeitraum nach Wetterlage und Strom in 2 große Abschnitte zerlegen: der erste dauert bei östlichen Winden vom 21.2.-6.3., der zweite bei westlichen Winden vom 7.-17.3. Die Wetterlage zeigt im ersten Abschnitt antizyklonalen Einfluß ähnlich der im Sommer vorherrschenden Lage; wir finden hohen Druck anfangs in einer ost-westlichen Zone von Island über Südskandinavien nach Polen (Abb.8, Wetterkarte von 21.2.), später von Südschweden nach Mitteleuropa, sodas unser Gebiet, südlich der Kernzone liegend, eine winterliche Küteperiode (und zwar die einzige während des ganzen Winters) erlebt. Der Oberflächenstrom ist dementsprechend bis zum 4.3. nach auswärts gerichtet und schwankt dann bis zum 6.3. mit sehr geringen Werten um Null, der fast völligen Windstille entsprechend, die im Kern des sich jetzt langsam südwärts verlagernden Hochdrucksystems herrscht. (Abb.9, Wetterlage von 5.3.) Am 7.3. gerät unser Gebiet dann auf die Nordseite des Hochdruckkerns; damit setzt sich in zunehmenden Maße eine westliche Luftströmung durch. Ein kräftiges Tief vor Mitteinorwegen läuft am 10.3. einen Ausläufer über Mittelschweden schwenken (Abb.10), wobei mit Windstärke 6-7 aus NW das absolute Strommaximum an der Oberfläche ($190 \text{ cm/sec} = 3.7 \text{ sm/h!}$) erreicht wird. Mit einer kurzen Unterbrechung am 15./16.3. hält dann der Einstrom bis zum Schluß der Beobachtungen an. Ein Vergleich der Abb.10 mit der "idealen" Einstromlage (Abb.4 a) zeigt weitgehende Übereinstimmung, wenigstens im Kattegat, Baltsee und südlicher Ostsee. Allerdings entsteht infolge des Fehlens der nach Norden gekrümmten Isobaren über der zentralen Ostsee ein starker Anstau an der hältischen Küste, der zu einem Zurückschwingen der Wasserschichten bei Nachlassen der Windeinwirkung führt (s. Seite 31).

c) Die thermohaline Schichtung.

Mit der Erklärung der reinen Oberflächenstromverhältnisse ist für die übrigen hydrographischen Elemente, insbesondere also t und S, nur wenig gesagt. Betrachtet man die Isoplethendarstellungen dieser Größen (Tafel 1 und 3), so kann man ohne Schwierigkeit gewisse Abschnitte abgrenzen, die sich in ihrem Charakter mehr oder weniger stark unterscheiden.

Im Sommer dauert der erste Abschnitt von Beginn (9.8.) bis zum

18.8. Die Lufttemperatur nimmt während dieser Zeit langsam zu; besonders deutlich ist der Sprung nach oben am 15.8., als der Wind von NW auf SE dreht, jetzt also stark erwärmte Festlandluftmassen die kühle Nordseeluft ablösen. Auch in der Wassertemperatur wirkt sich diese Erwärmung sofort aus: es treten an der Oberfläche nachmittägliche Maxima von über 21° auf, während die Lufttemperatur am 17.8. nachmittags ihr absolutes Maximum von 24° erreicht. Im nordwestdeutschen Einneland liegen gleichzeitig die Höchsttemperaturen bei $28-30^{\circ}$, der maritime Einfluß der Ostsee ist also deutlich spürbar.

In den tiefen Schichten zeigt sich während dieses ersten Abschnittes eine sprungschichtartige Dringung der Isothermen und Isohalinen in einer mittleren Tiefe von etwa 15 m; unterhalb 20 m herrscht nahezu Homothermie bei konstanten Salzgehalt, die Strombeobachtungen zeigen hier nur sehr geringe Geschwindigkeiten oder völlige Ruhe.

An 18.8. nun erfolgt der Durchzug einer Windkonvergenz aus Norden (s. Abb. 5.), hinter welcher der inzwischen wieder auf nordwestliche Richtung rückgedrehte Wind erneut auf Ost umspringt und dabei auf Stärke 5-6 auffrischt. Während aber am 15.8. Festlandluft herangeführt wird, handelt es sich diesmal um Luftmassen aus dem Raum des Bottnabusens, die also relativ kühl sind. Die Lufttemperatur geht im Tagesmittel um etwa 3° zurück, die Oberflächen-Wassertemperatur dagegen. Gleichzeitig vollzieht sich aber auch ein grundlegender Wandel im vertikalen Aufbau der Wassermassen. Die erste Wirkung des Auffrischens des Windes besteht in verstärkter Durchmischung der oberen Wasserschichten, verbunden mit einem Transport von Wärme in größere Tiefen. In den Isoplethen ist diese Erwärmung erkennbar an der warmen Zunge, die sich vom 18.-20.8. aus etwa 7 m Tiefe bis fast zum Boden vorschreibt. Gleichzeitig zeigen die S-Isoptethen ein scharfes Abbiegen nach unten; d.h. die bisherige Schichtung wird durch eine salzärmere ersetzt, bei der als Folge der β -Durchmischung die obere Schicht von etwa 0-5 m nahezu homohalin ist. Die Heuptsprungsschicht sinkt ab auf etwa 15-20 m. Die Strombeobachtungen zeigen hier einen tief (bis zum Boden) reichenden kräftigen Ausstrom.

Das bemerkenswerteste an der neuen Schichtung sind jedoch die zum ersten Male am 19.8., dann am 21., 23./24. und später am 26./27., am 29. und 30.8. im Bereich der obersten 10 m auftretenden "Kultballen", die durch wärmere Gebiete voneinander getrennt sind. In den Zustandskurven der einzelnen Serien erscheinen sie als kräftige intermediaire Minima, die sämtlich oberhalb der S-Sprungsschicht

liegen (die S-Sprungsschicht hebt sich während der Zeit vom 20.-24.8. langsam von etwa 15 auf 0-5 m). Über die besonderen Eigenschaften und die Entstehung dieser Kälteballen soll unten in einem speziellen Abschnitt berichtet werden (s. Seite 24); hier sei lediglich ihre Existenz vermerkt.

Der nächste Abschnitt wäre zweckmäßig, dem S-Isolethen entsprechend; vom 24.8.-1.9. zu wählen. Hier zeigt sich deutlich die Ausbildung zweier Sprungsschichten, und zwar einer oberen, deren mittlere Tiefe zwischen 0 und etwa 7 m schwankt, sowie einer unteren, weniger scharf ausgeprägten mit einer mittleren Tieflage von etwa 15-20 m. Zwischen beiden Sprungsschichten sind die Isohalinen deutlich aufgelockert; in der t-Darstellung liegt in diesen Bereich ein kräftiges Zwischenmaximum mit Temperaturen von 19° bis über 20° . Zur Erklärung dieser Verhältnisse tragen die Strombeobachtungen bei: Während der Oberflächenstrom im Mittel geringere Werte des Ausstroms zeigt, finden wir darunter erstmalig Einstrom vor, der als Kompen-sation für den erheblichen Massenverlust infolge des vorangegange-n starken Ausstromes anzusuchen ist. Offenbar stellt die obere Sprungsschicht die Grenze zwischen dem Ausstrom an der Oberfläche und dem daruntergeschobenen Einstrom dar. Die Salzgehaltsnahme durch den Einstrom von Kattgatwasser ist vor allem in der Schicht 5-10 m deutlich erkennbar.

Auffällig ist weiterhin während dieses Abschnittes die starke, fast wellenartige Schwankung der Höhenlage der oberen Sprungsschicht; die Ursachen dieser Erscheinung werden ebenfalls weiter unten noch gesondert behandelt (s. Seite 22).

Der letzte Abschnitt der sommerlichen Entwicklung ist gekenn-zeichnet durch die Vereinigung der beiden Sprungsschichten zu einer mittleren durch das Absinken der oberen und leichtes Ansteigen der unteren Sprungsschicht. Die maximale Frängung der Isohalinen bzw. Isosteren befindet sich jetzt zwischen etwa 8 und 18 m. Der Ober-flächenstrom ist Null oder sehr schwach, in der Sprungsschicht (hier besser: Übergangsschicht) herrscht ~~ausiger~~ Einstrom vor. Das ther-mische Maximum hält sich nach wie vor im Bereich um etwa 10 m, geht jedoch in seiner Mächtigkeit etwas zurück. Die Oberflächensschicht unterscheidet sich von den vorangegangenen Abschnitten durch ihr ausgesprochen ruhiges Bild, ihre Schichtung ist fast homotherm und homohalin. Die Lufttemperatur ist inzwischen merklich zurückgegan-gen (im Tagesmittel etwa noch 17.5°); es bildet sich daher schon eine frühherbstliche Konvektion zwischen den 10 m-Maximum und der Oberfläche aus.

Ebenso wie es im Sommer gelückte, das Jahresmaximum zu erfassen, gelang es auch, das winterliche Extrem in die Reihe einzubeziehen,

dadurch das, wie bereits erwähnt, die einzige Kälteperiode des im übrigen sehr milden Winters 1947/48 in den ersten Teil der Beobachtungen fiel. Die thermohaline Schichtung zeigt naturgemäß in vielen Punkten ein von der Sommerreihe abweichendes Bild. Charakteristisch ist besonders die wesentlich schwächere Temperaturschichtung; die Differenz zwischen absolutem Maximum und Minimum beträgt nur etwa 3° (gegenüber mehr als 11° im Sommer). Diese Tatsache erklärt sich ohne weiteres als Folge der Konvektion. Lediglich die meist vorhandene haline Schichtung (bei Erreichen des Dichtemaximums an der Oberfläche auch dieser Punkt) verhindert einen völligen Ausgleich der Boden- und Oberflächentemperaturen. Als im letzten Abschnitt (13.-18.3.) die haline Schichtung nahezu verschwindet, finden wir daher auch einen fast völligen Ausgleich der vertikalen Temperaturunterschiede.

Auch hier lassen sich einige markante Abschnitte der thermohalinen Schichtung festlegen. In der antizyklonalen ersten Hälfte wird die Oberfläche durch die Kaltluftzufuhr aus Osten dauernd abgekühlt; die gegenseitige Beeinflussung von Luft- und Wassertemperatur zeigt dabei deutlich den mildernden maritimen Einfluss der wärmespeichernden Ostsee. Am 21.2.48 beträgt um 07 Uhr MEZ die Lufttemperatur in:

Riga	-21°	Hamburg	-13°
Danzig	-14°	Travemünde	-11°
Swinemünde	-13°	Fehmarnbelt	-5° C [17]

Eine weitere deutliche Folge dieser Temperaturdifferenzen ist die dauernde Bildung dichten Nebels über der Ostsee und ihrem Küstengebiet während dieser Tage.

Die haline Schichtung ist gekennzeichnet durch eine Sprungsdicke die anfangs dicht über dem Boden liegt, dann in mittlere Lagen aufsteigt und schließlich, verschärft infolge Wind- und Stromruhe, am 7.3. bis fast an die Oberfläche gelangt.

Der zweite Abschnitt beginnt mit dem Wetterumschlag am 7.3. Die kräftigen Westwinde verursachen eine turbulente Durchmischung der oberen Schichten und damit die Zerfaßung der Sprungsschicht. Die Turbulenz zur Zeit des absoluten Strommaximums am 10./11.3. ist so stark, daß erstmals die vertikalen Unterschiede der thermohalinen Schichtung fast völlig verschwinden.

Im folgenden Abschnitt, vom 12.3. bis zum Schlus, bleibt, von vorübergehenden Einschüben salzärmeren Oberflächenwassers abgesehen, die Wassermasse nahezu homogen. Insbesondere treten als Folge zweier Wind- und Strommaxima am 13. und 17.3. nochmals starke vertikale Turbulenzwirkungen durch völliges Verschwinden der Schichtung hervor. Am 15. und 16.3. steigen bei Lufttemperaturen von im Mittel 5° erstmals die Oberflächentemperaturen wieder auf über 3° an, d.h.

der Übergang zum Frühjahrzustand (Erwärmung von der Oberfläche her) macht sich bereits bemerkbar.

Die Frage, ob die thermohaline Schichtung immer stabil ist, oder ob auch Fälle von Dichteabnahme mit der Tiefe vorkommen, lässt sich nicht mit voller Sicherheit beantworten, da (wie schon oben betont wurde) die Serien in sich nicht streng synoptisch sind. Die meisten in den Zustandskurven vorkommenden Fälle lassen sich durch Fehler im Rahmen der Haltgenauigkeit erklären. Dafür spricht auch, dass im Winter (bei erhöhter Haltgenauigkeit durch die Verwendung des Refraktometers) insgesamt nur 4 Fälle vorkommen, während im Sommer etwa 12 mal die Dichte mit der Tiefe abnehmend scheint. Lediglich 2 Fälle im Sommer beruhen offenbar auf realen Instabilitäten, und zwar in Serie S 109 (30.8.) und S 125 (2.9.). In diesen beiden Fällen nimmt σ_t von der Oberfläche bis 5 m Tiefe ab (bei fast konstantem t), und zwar um rd. 2 Zehntel Promille bzw. Einheiten σ_t . In den daruffolgenden Serien S 110 und S 126 ist dann der Ausgleich wiederhergestellt, d.h. die zu leichten Schichten aus 5 m sind aufgestiegen. Offenbar handelt es sich um kleinere "Wasserballen" (vgl. F. K. Odell, [1]), die durch Turbulenz in diese Tiefe gedrückt wurden und nicht sofort wieder in die stabile Schichtung zurückkehrten. (Im Gegensatz hierzu scheinen die oben erwähnten "Kulteballen" in allen Fällen stabil gelagert zu sein; vgl. auch S. 24ff).

2.) Charakteristische Einzelvorgänge.

In den folgenden Abschnitten sollen aus der Fülle der Erscheinungen, die sich beim Wasseraustausch durch den Fehmarnbelt abspielen, einige besonders auffällige und bemerkenswerte herausgegriffen und behandelt werden. Hierbei muss unterschieden werden zwischen solchen Vorgängen, die, hervorgerufen durch Wetter- und ähnliche Einflüsse, einmalig oder jedenfalls ohne periodische Elemente auftreten, und anderseits solchen mit periodischem Charakter. Beispiele für beide Arten von Vorgängen lassen sich ohne Schwierigkeiten in den vorliegenden Meßreihen auffinden.

a) Unperiodische Vorgänge.

aa) Sprungschichtschwankungen als Folge von Strömungsschwankungen.

Bei der Besprechung der sommerlichen Schichtung ist bereits kurz auf die eigenartige wellenförmige Schwankung der oberen Sprungschicht vom 28.-31.8. hingewiesen. Die Wellenstruktur ist jedoch nur eine scheinbare; beim Vergleich mit dem Gang der übrigen Beobachtungselemente zeigt sich nämlich eine zunächst überraschende Parallelität dieser "Wellen" mit den Schwankungen der Windstärke im gleichen Zeitraum und entsprechend auch mit denen der Oberflächen-Strömungs-

schwindigkeit. In diesen letzten Punkt nun, d.h. in der wechselnden Stärke des Oberflächenstromes, haben wir die eigentliche Ursache der Sprungsichtschwankungen zu suchen, wie im folgenden gezeigt werden soll.

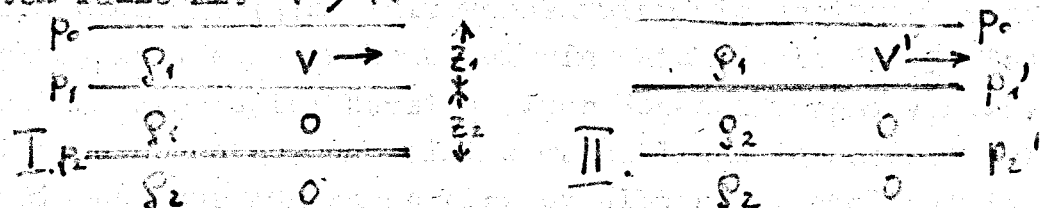
Die Hydrodynamik lehrt, daß der hydrostatische Druck in einer strömenden Flüssigkeit längs einer Stromlinie um so geringer ist, je höher ihre Geschwindigkeit ist. Dieser Satz, auf dem viele bekannte Erscheinungen beruhen (z.B. der Zerstäuber), ist auch als Bernoulli'sche Gleichung bekannt:

$$p + \rho \frac{v^2}{2} + g \cdot h \cdot \rho = \text{const.} \quad (\text{längs einer Stroml.})$$

Darin bedeuten: p = Druck, ρ = Dichte, v = Geschwindigkeit
 g = Schwerkraftbeschleunigung, h = Höhe über einem vorgegebenen festen Niveau.

Mit Hilfe dieser Beziehung soll nun an einem schematisierten Beispiel der Betrag der Schwankung der Grenzfläche zwischen zwei verschiedenen dichten Flüssigkeiten abgeleitet werden.

Gegeben seien zwei Flüssigkeiten der Dichte ρ_1 und ρ_2 , die übereinander geschichtet liegen. Die oberste Flüssigkeitsschicht der Dicke z_1 bewege sich im ersten Fall mit der Geschwindigkeit v , im zweiten Fall mit $v' > v$:



Zum Ausgleich des gestörten Gleichgewichts hebt sich im Fall II die Grenzschicht um den Betrag z_2 . Unterhalb der bewegten Oberfläche herrsche Stromruhe.

Wenn es sich (wie im Kreis) um eine praktisch horizontal verlaufende Strömung handelt, kann das letzte Glied der Bernoulli'schen Gleichung in die Konstante einbezogen werden, und es wird

$$p + \frac{v^2}{2} \rho = \text{const.}$$

Für $v = 0$ wird dann $p = \text{const.}$, d.h. die Konstante stellt den hydrostatischen Druck der ruhenden Flüssigkeit dar. Dann ist also

$$p = p(v=0) - \frac{v^2}{2} \rho$$

worin deutlich das 2. Glied die Druckerniedrigung bei zunehmender Geschwindigkeit darstellt.

In unserem Beispiel ist im Fall I also

$$p_1 = p_0 + g z_1 \rho_1 - \frac{v^2}{2} \rho_1 \quad \text{und}$$

$$\begin{aligned} p_2 &= p_1 + g z_2 \rho_1 \\ &= p_0 + g \rho_1 (z_1 + z_2) - \frac{v^2}{2} \rho_1 \end{aligned}$$

Entsprechend wird im Fall III, d.h. bei erhöhter Strömungsgeschwindigkeit $v' > v$: $p_1' = p_0 + g z_1 \rho_1 - \frac{v'^2}{2} \rho_1$

$$p_2' = p_1' + g z_2 \rho_2 = p_0 + g (z_1 \rho_1 + z_2 \rho_2) - \frac{v'^2}{2} \rho_1$$

Da nun nach Voraussetzung unterhalb des Niveaus p_1 / p_1' Stromruhe herrschen soll, nur aus Kontinuitätsgründen

$$p_1' = p_2 \quad \text{sein, d.h.}$$

Nach Division durch p_1

$$\frac{p_1 + g(z_1 f_1 + z_2 f_2) - \frac{v^2}{2} p_1}{p_1} = p_1 + g f_1 (z_1 + z_2) - \frac{v^2}{2} f_1$$

$$g(z_1 + z_2 \frac{f_2}{f_1}) - \frac{v^2}{2} = g(z_1 + z_2) - \frac{v^2}{2}$$

$$g z_2 (\frac{f_2}{f_1} - 1) = \frac{v^2 - v'^2}{2}, \quad \text{aufgelöst nach } z_2:$$

$$z_2 = \frac{1}{g} \cdot \frac{v^2 - v'^2}{f_2 - f_1}$$

Um diesen Betrag z_2 muß also die Grenzfläche gehoben werden, damit im Niveau p_2 wieder Gleichgewicht herrscht, wenn die Oberflächen-Strömungsgeschwindigkeit von v auf v' zunimmt.

Übertragen wir die tatsächlich gemessenen Werte aus den Sprungschichtschwankungen vom 28.8.-30.8. in dieses Schema, so erhalten wir:

	v	v'	f_1	f_2	$z_2(\text{err.})$	$z_2(\text{beob.})$
--	-----	------	-------	-------	--------------------	---------------------

Absinken 28./29.: 57 23 1.006 1.010 -348 cm -350 cm

Absinken 29./30.: 73 23 1.006 1.011 -491 cm -500 cm

Die Übereinstimmung der errechneten und der beobachteten Werte in diesem Falle ist um so überraschender, als die Bestimmung des Dichtewiderschiedes $f_2 - f_1$ nur mit verhältnismäßig geringer Genauigkeit möglich ist; eine Änderung um eine Einheit in der 3. Dezimale entspricht im Beispiel bereits einer Höhendifferenz von rd. 1 m. Ferner ist zu beachten, daß einige wesentliche Voraussetzungen der Schematisierung nur näherungsweise erfüllt sind, nämlich die Grenzfläche (in Wahrheit eine Übergangsschicht), ferner die Stromruhe unterhalb der Deckschicht und schließlich die Gültigkeit der Bernoulli'schen Gleichung, die in strengem Sinne nur längs einer Stromlinie erfüllt ist (also nicht an gleichen Ort für eine vorbeiströmende Flüssigkeit). Aus diesen Gründen ist es auch zu erklären, daß diese Sogwirkungen an anderen Tagen unter anderen Bedingungen nicht oder nur abgeschwächt zu erkennen sind. Störend müssen sich auch Änderungen des Druckes p_0 , d.h. also rasche Luftdruckschwankungen bemerkbar machen. (Während der oben behandelten Tage blieb der Luftdruck nahezu konstant).

bb) Herkunft und Entstehung der "Kälteballen".

Eine zweite auffällige unperiodische Erscheinung stellen die (ebenfalls oben mehrfach kurz erwähnten "Kälteballen" dar, d.h. also die im Sommer zwischen dem 19. und 30.8. wiederholt auftretenden negativen Temperaturanomalien in der oberen Schicht).

Zunächst ist die Frage nach der Herkunft der an der Bildung dieser Anomalien beteiligten Wasserkörper zu klären. Unter einem Wasserkörper soll hier eine in sich homogene, nicht zu ausgedehnte Wassermasse von bestimmter Temperatur und bestimmtem Salzgehalt

verstanden werden). Die Eigenschaften eines solchen Wasserkörpers, insbesondere also t und S , bleiben bei advektiver Verlagerung weitgehend erhalten, wenigstens in der von der Vermischung mit angrenzenden Wasserkörpern und von der Beeinflussung durch Strömung freien "Kernschicht" einer Strömung. Daher ist es möglich, auch ohne Kenntnis der Richtung und Größe dieser Strömung auf die Herkunft eines ortsfremden Wasserkörpers zu schließen, falls die ursprüngliche oder normale Lage der verschiedenen Wasserkörper bekannt ist. Liegen sich nun zwei Wasserkörper verschiedener Herkunft übereinander, so entsteht in der Grenzzone ein Mischungs- oder Übergangs-Wasserkörper, dessen Eigenschaften sich nach den Mischungsregeln in der Mitte desjenigen der beiden ursprünglichen Wasserarten bewegen. Besonders anschaulich werden diese Verhältnisse in dem sogen. $S = f(t)$ -Diagramm nach Holland-Hansen (eine ausführliche Darstellung dieser Methode gab G. Wüst [18]). Hierin stellen die beiden Ausgangsarten 2 Punkte dar, während die Mischungsschicht durch Punkte auf der Verbindungsgeraden dieser beiden Punkte gekennzeichnet ist, und zwar entfernen sich die Punkte des Mischwassers auf dieser Geraden umso mehr von dem einen oder anderen Ausgangspunkt, je geringer der prozentuale Anteil der betreffenden Wasserart wird. Sind mehr als 2 Wasserkörper am Aufbau der Schichtung beteiligt, so erhält man entsprechend eine ein- oder mehrfach gebrochene Gerade, bei der dann die End- und Knickpunkte den Kernschichten entsprechen.

Diese Methode ist streng natürlich nur dort anzuwenden, wo der Tages- bzw. Jahresgang keinen wesentlichen Einfluß mehr ausübt, führt dann aber auch in begrenzten Meeresgebieten wie den unsrigen zu brauchbaren Resultaten.

In den Diagrammen auf Tafel 5 (s. Anhang) sind in dieser $S=f(t)$ -Darstellung die Messwerte von 13 Serien der Sommerperiode aufgetragen, und zwar neben 2 Serien mit normaler, d.h. geradliniger Beziehung (S 34 und S 52) 8 Serien, die einen Kütleiballen anschneiden, sowie 3 weitere mit Zwischenstadien. Die Darstellung zeigt deutlich folgende Ergebnisse:

- 1.) Die ungestörten Serien und der unterhalb der gestörten Oberfläche liegende Wasserkörper bilden bis zum 23.8. eine enggebündelte Schar von Geraden; sie stellen also einen einheitlichen Mischkörper dar.
- 2.) Am 24.8. zeigt sich in der ungestörten Tiefenschicht eine merkliche Salzgehaltszunahme, die bis zum Schluff erhalten bleibt. Auch hier deutet die enge Bündelung darauf hin, daß es sich um einen einheitlichen Mischkörper handelt. Die S -Zunahme erklärt sich durch den vom 24.8. ab in den tiefen Schichten beobachteten Einstrom.

3.) Der erste, nur schwach ausgeprägte Kälteballen (S40) am 16.8. zeigt sich als Knick in der $S(t)$ -Dewirkung; der Kern des neuen, ortsfremden Wasserkörpers liegt in etwa 5 m Tiefe und ist gekennzeichnet durch geringeren Salzgehalt, mit also aus einer weiter östlich gelegenen Gegend stammend.

4.) Alle folgenden Kälteballen sind charakterisiert durch eine im Mittel homogene Oberfläche von $S = 8.5 \dots 10 \text{‰}$, in der die Temperatur mit der Tiefe bis zur Kernschicht rasch abnimmt. Von dort erfolgt schnell der Übergang zu dem darunter liegenden Normalwasserkörper unter starker t- und S-Kontinuität.

5.) Die Zwischenstadien zeigen ebenfalls in der obersten Schicht t- und S-Werte, die zu den unter 4.) erwähnten Wasserkörpern von 8.5 ... 10‰ gehören, hier erfolgt jedoch der Übergang zum normalen Tiefenwasser direkt, d.h. ohne Einschaltung einer kalten Kernschicht.

Zusammenfassend ist also festzustellen, daß offenbar 4 Hauptwasserkörper an der Bildung der thermohalinen Schichtung mitwirken, und zwar, der Bezeichnung im Diagramm (Tafel 5.b) entsprechend:

Nr. 1 mittl. Temp. mittl. S-Sch. mittl. Tiefe an vermutl. Herkunft

1	21°	10‰	• m	Oberfläche westl. Ostsee
2	10°	28‰	27 m	Bodenwasser Baltsee
3	19-20°	15-17‰	5-10 m	Oberfläche Baltsee
4	11-13°	9-10‰	3-6 m	mittl. Tiefe mittl. Ostsee

Der Mischkörper 1 1/2 wurde oben als Normalwasserkörper bis zum 23.8. bezeichnet, der Mischkörper 3/2 stellt den Normalwasserkörper nach dem 24.8. dar. Der Wasserkörper 4 bildet die Kernschicht der Kälteballen.

Aus dieser Klassifikation ist über die Herkunft der Kälteballen folgendes zu entnehmen: Der Ursprungsort ist eindeutig weiter östlich zu suchen, nämlich dort, wo das Kühlwasser mittlerer Böen bereits erheblich stärker ausgetilgt ist als im Fehmarnbelt. Leider fehlen nur genaue Festlegung des Ortes hydrographische Sondermessungen innerhalb des gleichen Zeitraumes aus den in Frage kommenden Teilen der mittleren Ostsee, jedoch kann in erster Näherung das im Sommer 1939 durch "Triton" aufgenommene Ostsee-Profil (vgl. H. Wittenberg [19]) als auch für dieses Sommer gültig angesehen werden. Danach wäre der Ursprungsort der Wasserart 4 etwa im Arkona-Becken zu suchen, wo ein Wasserkörper mit dieser Kombination der S- und t-Werte liegt. Wie im folgenden gezeigt werden wird, spricht auch die Erklärung der Entstehung dieser Kälteballen für

diesen Herkunftsорт.

Wie aus dem vorangegangenen Abschnitt hervorgeht, ist ein durch Windtrift erzeugter kräftiger Oberflächenstrom in der Fuge, eine darunterliegende Sprungsschicht anzusaugen. In den eben als wahrscheinlichsten Herkunftsорт genannten Raum Arkona-Högen-Gjedser-Darß lagert die Sprungsschicht gewöhnlich in etwa 20-30 m Tiefe. Da die Satteltiefe der Darßer Schwelle in 18 m liegt, kann normalerweise kein Tiefenwasser aus dem Bereich unterhalb der Sprungsschicht nach Westen gelangen; unter besonders günstigen Umständen jedoch, wenn nämlich ein verstärkter nach Westen gerichteter Oberflächenstrom (auch die Verstärkung durch die Fuge Gjedser-Riff - Darß spielt dabei eine Rolle) die Sprungsschicht auf eine Höhe anhebt, die merklich über der Satteltiefe liegt, gelangt Tiefenwasser über die Schwelle hinweg in die allgemeine Westströmung und wird mit ihr nach Westen verfrachtet. Dabei lagert es sich seiner Dichte entsprechend über das wärmere Oberflächenwasser der westlichen Ostsee. Da aber Wind und Strom meist nur vorübergehend die nötige Stärke erreichen, um die Sprungsschicht über die Satteltiefe emporzuheben, wird jeweils nur ein kurzer Schwall von Tiefenwasser über die Schwelle gelangen, der dann in der allgemeinen Frift später als kurzer Einschub, eben als "Kälteballen" feststellbar ist.

Diese zunächst hypothetische Erklärung wird durch die Beobachtungen weitgehend gestützt. Als Beispiel sei die Entstehung der beiden markanten Kälteballen verfolgt, die am 21.8. am Fehmarnbelt erscheinen. In der Nacht vom 18. zum 19.8. frischt der Wind aus N auf bis fast 10 m/sec, flaut dann in den Morgenstunden des 19.8. auf 7 m/sec ab, um nachmittags nochmals nahezu 10 m/sec zu erreichen. Bis zum Mittag des 20.8. flaut er dann ganz ab. Diese beiden Windspitzen, die in ähnlicher Form und nahezu gleichzeitig auch im Raum Gjedser-Darß aufgetreten sein werden, zeigen die eben besprochene Wirkung, indem sie je einen Einschub kalten Tiefenwassers hervorrufen. Nach jeweils 50-55 Stunden werden dann diese Einschübe am Fehmarnbelt als Kälteballen beobachtet; bei einer Entfernung von rd. 50 sm entspricht das einer mittleren Geschwindigkeit von etwa 1 sm/h oder 50 cm/sec. Die mittlere Geschwindigkeit des Oberflächenstromes am Fehmarnbelt während des gleichen Zeitraumes beträgt etwa 75 cm/sec; der höhere Wert erklärt sich ohne weiteres durch die Düsenwirkung des Fehmarnbeltes. In ähnlicher Weise lassen sich den Kälteballen vom 26.8. die Windspitzen vom 23./24.8. und denen vom 29./30. die Windspitzen vom 27./28.8. zuordnen.

In Winter sind Erscheinungen dieser Art nicht festzustellen. Die Gründe sind folgende: einerseits fehlt im Winter die Ausstromlage extremer Prägung, zum anderen aber (und das ist der Haupt-

Wegen der starken Verfestigung und Verfestigungsdruck kann die Schmelze nicht mehr fließen.

Die Kruste wird durch die Verfestigung und Verfestigungsdruck so stark verfestigt, dass sie sich nicht mehr bewegen kann. Sie wird zu einer Art Gesteinsmasse, die nicht mehr verformt werden kann.

Die Kruste ist sehr hart und kann nicht mehr verformt werden. Sie wird zu einem Gesteinsmassiv, das nicht mehr verformt werden kann.

Die Kruste ist sehr hart und kann nicht mehr verformt werden. Sie wird zu einem Gesteinsmassiv, das nicht mehr verformt werden kann.

Die Kruste ist sehr hart und kann nicht mehr verformt werden. Sie wird zu einem Gesteinsmassiv, das nicht mehr verformt werden kann.

Die Kruste ist sehr hart und kann nicht mehr verformt werden. Sie wird zu einem Gesteinsmassiv, das nicht mehr verformt werden kann.

Die Kruste ist sehr hart und kann nicht mehr verformt werden. Sie wird zu einem Gesteinsmassiv, das nicht mehr verformt werden kann.

Die Kruste ist sehr hart und kann nicht mehr verformt werden. Sie wird zu einem Gesteinsmassiv, das nicht mehr verformt werden kann.

Die Kruste ist sehr hart und kann nicht mehr verformt werden. Sie wird zu einem Gesteinsmassiv, das nicht mehr verformt werden kann.

Die Kruste ist sehr hart und kann nicht mehr verformt werden. Sie wird zu einem Gesteinsmassiv, das nicht mehr verformt werden kann.

Die Kruste ist sehr hart und kann nicht mehr verformt werden. Sie wird zu einem Gesteinsmassiv, das nicht mehr verformt werden kann.

Die Kruste ist sehr hart und kann nicht mehr verformt werden. Sie wird zu einem Gesteinsmassiv, das nicht mehr verformt werden kann.

Die Kruste ist sehr hart und kann nicht mehr verformt werden. Sie wird zu einem Gesteinsmassiv, das nicht mehr verformt werden kann.

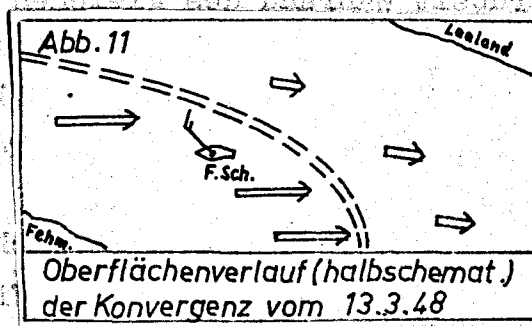
Die Kruste ist sehr hart und kann nicht mehr verformt werden. Sie wird zu einem Gesteinsmassiv, das nicht mehr verformt werden kann.

Die Kruste ist sehr hart und kann nicht mehr verformt werden. Sie wird zu einem Gesteinsmassiv, das nicht mehr verformt werden kann.

Die Kruste ist sehr hart und kann nicht mehr verformt werden. Sie wird zu einem Gesteinsmassiv, das nicht mehr verformt werden kann.

Die Kruste ist sehr hart und kann nicht mehr verformt werden. Sie wird zu einem Gesteinsmassiv, das nicht mehr verformt werden kann.

Die Kruste ist sehr hart und kann nicht mehr verformt werden. Sie wird zu einem Gesteinsmassiv, das nicht mehr verformt werden kann.



Der Verlauf der Kruste ist auf dem halben Kreis dargestellt. Die Kruste bewegt sich nach Norden. Die Landesküste (Zealand) bewegt sich ebenfalls nach Norden. Die Kruste bildet eine geschwungene Linie, während die Küste eine geradlinige Bogenbewegung zeigt.

grund) sind die vertikalen Temperaturunterschiede so gering, daß erzfrende Wasserkörper nicht als Temperaturanomalien im Erscheinung treten können. Wenn überlauft, so müssen sie natürlich jetzt als warmes Auftriebwasser auftreten, da ja das Eishenwasser im Winter die höheren Temperaturen aufweist. Andeutungen derartiger Wärmeanomalien in der salzarmen Obereschicht (denn nur dort können sie ihrer Dicke nach vorkommen) finden wir im Gefolge des kräftigen Ostwindes zu Beginn der Periode (am 21./22.3.), und zwar kann man die Erwärmung an der Oberfläche am 24.2. in Serie W 17 gegenüber Serie W 16 (trotz des erhaltenen Frostes) als derartiges Auftriebwasser aus östlichen Gebieten ansiehen. Etwas deutlicher ist die Erwärmung vom 25. auf 26.2. (Serie W 23 auf 24), zumal diese Erwärmung mit S-Abnahme verknüpft ist. In der folgenden Serie W 25 ist diese Erwärmung zwischen 5 und 10 m sehr deutlich, während an der Oberfläche schon wieder kalteres Wasser herangetrieben ist. (Im übrigen sind die unregelmäßigen Schwankungen der Oberflächentemperatur im gesamten Winterbeobachtungszeitraum der Ausdruck für die Konvektionsbewegungen, die offenbar in kleineren Turbulenzquarten erfolgen, ähnlich den Wasserkämmen Modell 1s [7]). Als Folge der Windspitzen des 26.2. könnte man allenfalls noch die Erwärmung der oberen Schicht 0-5 m am 2.3. (Seriens W 49-52) ansiehen, jedoch ist hier Vorsicht geboten, da seit dem 26.2. die Lufttemperaturen vielfach über den Gipfelpunkt und über die Oberflächen-Wassertemperatur ansteigen, die Erwärmung also auch von der Luft her erfolgt.

In allen diesen Fällen sind die Differenzen so gering, daß sie in der Isoplethendarstellung nicht in Erscheinung treten, obwohl der Abstand der Isothermen für die Winterperiode halbiert wurde. Trotzdem sollen sie ihrer Kuriosität halber erwähnt werden, da Fälle warmen Auftriebwassers immerhin zu den Seltenheiten zählen dürften.

cc) Stromkonvergenzen.

Zu den unperiodisch auftretenden Vorgängen sind auch die scharf ausgeprägten Stromkonvergenzen mit ihnen in der Schifffahrt als "Kabbelung" bekannten Erscheinungen zu rechnen. Da dieses (in der westlichen Ostsee übrigens gar nicht so seltene) Phänomen auch zweimal während der Winterperiode am Fehmarnbelt-Feuerschiff zu beobachten war, soll hier kurz auf die begleitenden hydrographischen Verhältnisse eingegangen werden.

Am 13.3. um 1550 Uhr passiert eine solche scharf ausgeprägte Stromkonvergenz das Feuerschiff, und zwar unter folgenden Begleiterscheinungen: Es herrscht NW-Wind, der von vormittags 10-12 m/sec auf nachmittags 5-4 m/sec abgeflaut ist. Kurz vor dem Durchzug der Stromrichtung liegt das Feuerschiff im sehr schwachen nach EsS setzenden Strom von etwa 18 cm/sec. Seit etwa 1530 h sieht man deutlich

und später an abhängigkeitsverhältnissen mit dem (durch geprägte und von der geprägten Seite her veränderte) Boden verbunden. Dieser ist nicht mehr einheitlich, sondern besteht aus verschiedenen Schichten, die sich in ihrer Zusammensetzung und Eigenschaften unterscheiden. Die unterste Schicht ist der Kalkstein, darüber folgt der Sandstein, dann der Tonstein und schließlich der Gestein. Der Gestein ist ein großer Block, der aus einer Mischung von Sand und Wasser besteht. Er ist sehr schwer und hat eine hohe Dichte. Der Sandstein ist ein feiner Kies, der aus kleinen Sandkörnern besteht. Der Tonstein ist ein dicker, schwerer Block, der aus feinem Ton besteht. Der Gestein ist ein großer Block, der aus einer Mischung von Sand und Wasser besteht. Er ist sehr schwer und hat eine hohe Dichte. Der Sandstein ist ein feiner Kies, der aus kleinen Sandkörnern besteht. Der Tonstein ist ein dicker, schwerer Block, der aus feinem Ton besteht.

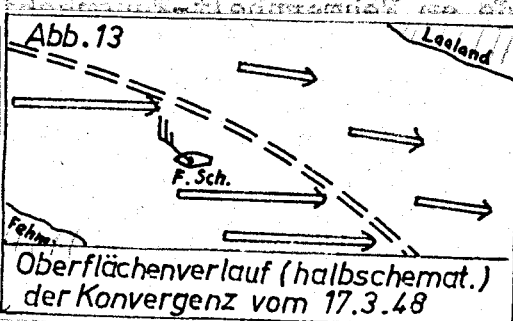
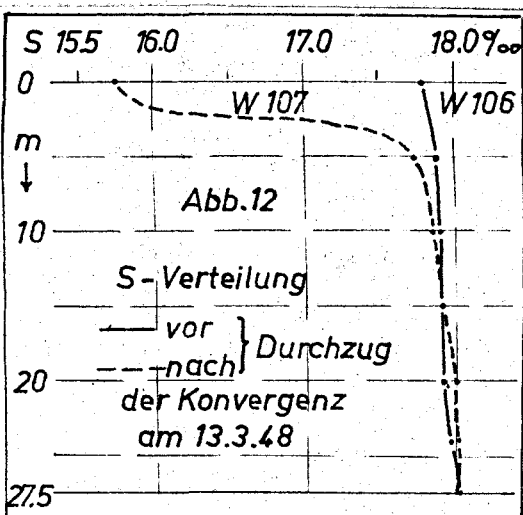


Abb. 12 zeigt die Verteilung von S-Werten (S 155, 160, 170, 18.0%) über eine horizontale Distanz von 0 bis 27.5 m. Die Y-Achse ist in 10 m Segmente unterteilt. Ein vertikaler Pfeil auf der linken Seite weist nach unten. Die Legende besagt: "vor } Durchzug" für die gestrichelte Linie und "nach } Durchzug" für die durchgehende Linie. Unten steht: "der Konvergenz am 13.3.48".

Abb. 13 zeigt den Oberflächenverlauf (halbschematisch) der Konvergenz vom 17.3.48. Es zeigt einen Hang mit einem Felsblock (F.Sch.) und einer Erdecke (Fehm.). Der Hang ist von mehreren Pfeilen markiert, die von oben nach unten zeigen, was auf einen Abfluss hindeutet. Die Legende besagt: "Oberflächenverlauf (halbschematisch) der Konvergenz vom 17.3.48".

die von Westen langsam herankommende Konvergenz, erkennbar besonders an der als "Kesselung" bekannten unruhigen Turbulenzzone, an der sich Treibgut aller Art angesammelt hat. Etwa 2 Stunden nach Durchzug der Konvergenz wird der Oberflächenstrom mit 52 cm/sec nach E gemessen. Am auffallendsten an der Erscheinung ist das verschiedene Aussehen der Wasseroberfläche zu beiden Seiten der Grenzzone. Während in der nur schwach strömenden ersten Wassermasse die Oberfläche von zahlreichen Schaumkäpfen bedeckt ist, der herrschenden Windstärke (Beaufort 4) entsprechend, sind auf der nachfolgenden, rasch strömenden Wasseroberfläche nur ganz vereinzelt schwache Schaumkäppchen zu erkennen. Offenbar reicht die Differenz der relativen Bewegung der Luft zur Wasseroberfläche (also des "effektiven" Windes), die ja nur $52 - 18 = 33$ cm/sec beträgt, bei einer mittleren Windgeschwindigkeit von 5 m/sec nicht aus, um diesen deutlichen Unterschied in der Brecherbildung zu erklären. Vielmehr ist anscheinend die in der rascheren Strömung erhöhte horizontale und vertikale Turbulenz der ausschlaggebende Faktor, der die Bildung von Brechern verhindert. Ähnliche Beobachtungen von starker Beruhigung des Seegangs bei hohen Stromgeschwindigkeiten wurden gerade am Fehmarnbelt häufig gemacht (u.a. durch die Verbindungsschiffe des Seewasserstrassenknotes); eine Tatsache, die übrigens auch oft zur Unterschätzung der Windstärke bei Augenbeobachtungen führt.

Die hydrographischen Serienmessungen vor und nach Durchzug zeigen klar folgendes Bild: Vorher finden wir einen fast völlig homogenen Wasserkörper, nachher lediglich an der Oberfläche einen Einstrom von etwas salzärmerem Wasser (die Salzgehaltsabnahme beträgt rd. 2 %), die Temperatur ändert sich nicht merklich. (Abb. 12) Da dieses Oberflächenwasser mit dem einström von Westen kommt, anderseits aber salzärmer ist, kann es nicht aus dem Großen Belt stammen, von wo in jedem Falle salzreicheres Wasser kommen müste; vielmehr handelt es sich offenbar um einen seichten, kurzen Einstrom von Oberflächenwasser aus der Kieler Bucht, das sich dort infolge der Windspitzen in der Nacht vom 12./13.3. in Bewegung gestzt hat. Dafür spricht auch, daß, wie aus den S-Isoptischen zu erkennen ist, bereits in der folgenden Nacht dieser Einstrom wieder verschwunden ist.

Am 17.3. um etwa 0600 Uhr wiederholt sich unter etwas anderen Verhältnissen dieser Vorgang. Wiederum herrscht NW-Wind, der von 10-14 m/sec am Abend vorher auf morgens 8-9 m/sec abgeflaut ist. In diesem Falle liegt jedoch die Konvergenz von vornherein nördlich vom Feuerschiff; offenbar hat sie kurz vor Hellwerden unbemerkt das Schiff passiert, denn um 04 Uhr beträgt der Oberflächenstrom nur 57 cm/sec, während um 06 Uhr 97 cm/sec gemessen werden. Allerdings

- ausführlich und detailliert dargestellten Konvergenzmechanismen erläutert werden.
- Konvergenz vom 13.3.48
 - Konvergenz vom 17.3.48

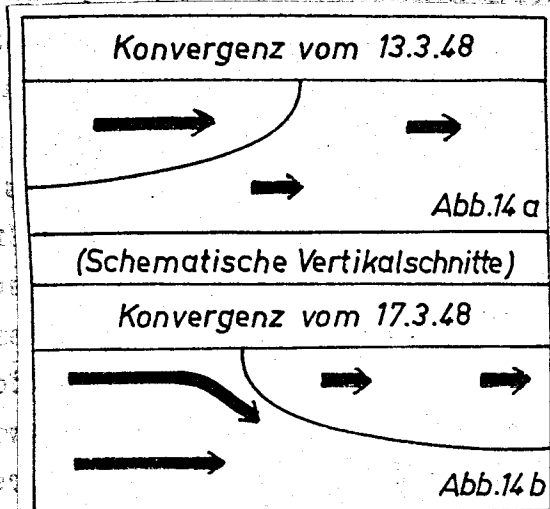


Abb.14a

Abb.14b

(Schematische Vertikalschnitte)

Konvergenz vom 13.3.48

Konvergenz vom 17.3.48

Die Konvergenz vom 13.3.48 zeigt eine relativ geradlinige Bewegung der Luftmassen. Die Konvergenz vom 17.3.48 zeigt eine deutliche Abweichung von der geradlinigen Bewegung, wobei die Luftmassen nach unten abgebogen werden. Dies ist ein Indiz für eine Subsidenz (Abwärtsbewegung) der Luftmasse.

Die Konvergenz vom 17.3.48 ist durch einen vertikalen Pfeil gekennzeichnet, der die Richtung der Bewegung der Luftmassen angibt. Der Pfeil zeigt eine Abweichung von der geradlinigen Bewegung, was auf eine Subsidenz hindeutet.

Die Konvergenz vom 17.3.48 ist durch einen vertikalen Pfeil gekennzeichnet, der die Richtung der Bewegung der Luftmassen angibt. Der Pfeil zeigt eine Abweichung von der geradlinigen Bewegung, was auf eine Subsidenz hindeutet.

Die Konvergenz vom 17.3.48 ist durch einen vertikalen Pfeil gekennzeichnet, der die Richtung der Bewegung der Luftmassen angibt. Der Pfeil zeigt eine Abweichung von der geradlinigen Bewegung, was auf eine Subsidenz hindeutet.

zeigen die Serienmessungen einen grundsätzlichen Unterschied gegenüber der ersten Konvergenz vom 13.3.: Während es sich damals um das Überlaufen eines salzhärteren über eine homogene Wassermasse handelte, wird am 17.3. ein gesichteter Wasserkörper mit relativ niedrigen Salzgehalt durch einen höheren Salzgehaltsunterlauf schoßen. (Abb. 14 a/b).

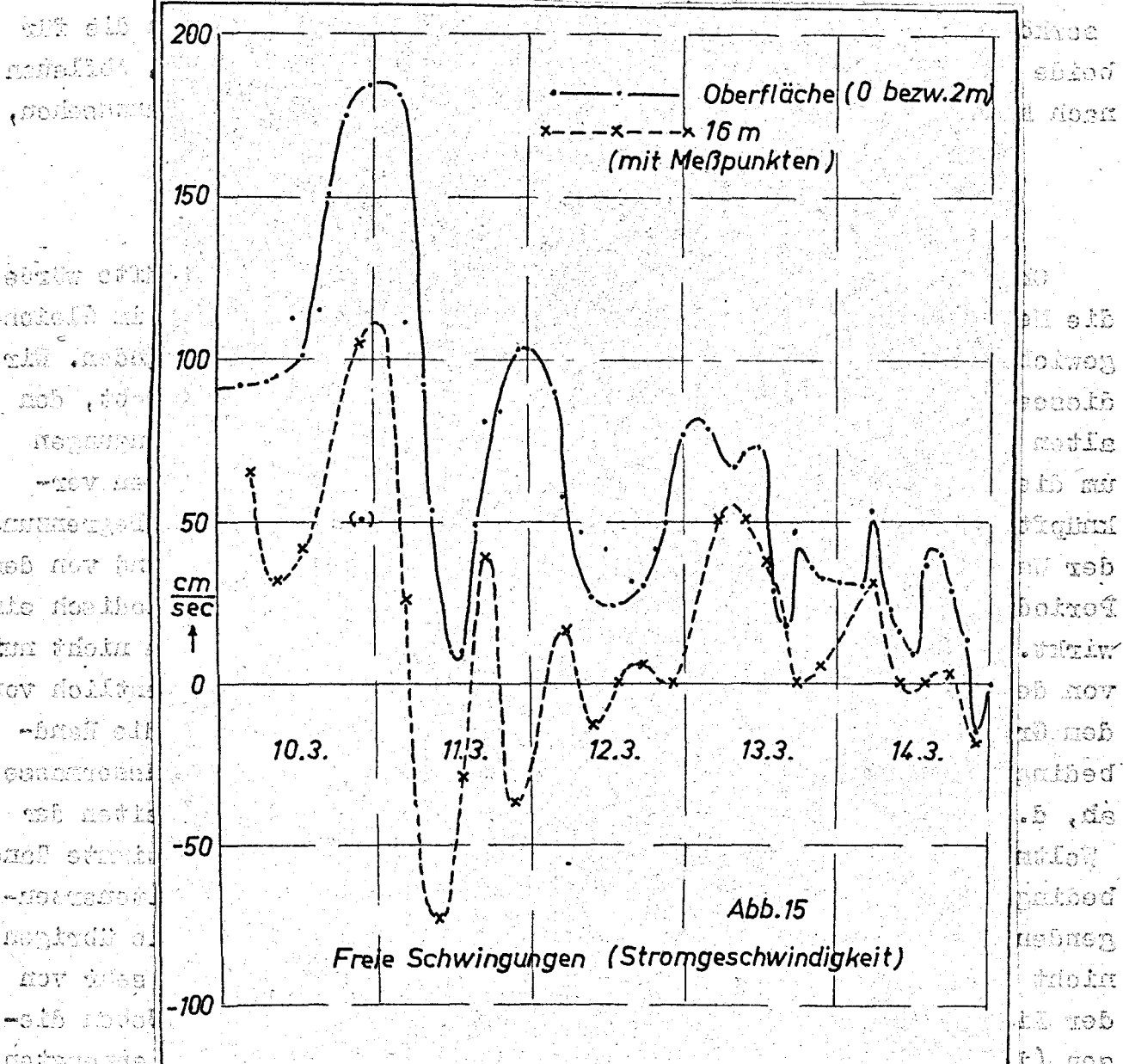
Begeinstigend für die Entstehung einer scharfen Stromkonvergenz scheint darnach also die Beteiligung mindestens eines homogenen Wasserkörpers zu sein; daneben sind für den Fehmarnbelt auch die für beide Fälle typischen Windverhältnisse (NW-lische Richtung, Abflauen nach kurzzeitigen Auffrischen) als günstige Vorbedingung anzusehen,

b) Periodische Vorgänge.

aa) Freie Eigenschwingungen.

Ohne die Einwirkung äußerer oder innerer störender Kräfte würde die Meereroberfläche unter dem Einfluß der Erdgravitation im Gleichgewicht verharren, die Wassermassen sich also in Ruhe befinden. Wird dieses Gleichgewicht gestört, so ist die Schwerkraft bestrebt, den alten Zustand wiederherzustellen. Dabei kommt es zu Schwingungen um die Gleichgewichtslage, die mit entsprechenden Strömungen verknüpft sind. Ihre Periode ist abhängig von der räumlichen Begrenzung der Wassermassen, mathematisch also den Randbedingungen, und von der Periode der schwingungserzeugenden Kraft, falls diese periodisch einwirkt. Die Amplituden der entstehenden Schwingungen hängen nicht nur von der Größe der erregenden Kraft, sondern auch sehr wesentlich von dem Grad der Übereinstimmung ihrer Periode mit der durch die Randbedingungen vorgegebenen Eigenfrequenz der betreffenden Wassermasse ab, d.h. von der Erfüllung der Resonanzbedingung. Die Gezeiten der Weltmeere bieten genügend Beispiele dafür, wie durch bestimmte Randbedingungen die eine oder die andere der zahlreichen gezeiterzeugenden Kräfte fast ausschließlich wirksam wird, während die übrigen nicht zur Auswirkung gelangen können, da ihre Frequenz zu sehr von der Eigenfrequenz der betreffenden Wassermasse abweicht. Heben diesen (im Weltmeere überwiegenden) durch periodische Kräfte erzeugten Gezeitenschwingungen kommt man in kleineren Nebenmeeren und größeren Seen seit geraumer Zeit auch freie Schwingungen, die durch einmaligen Anstoß hervorgerufen werden und je nach dem Grade der Dämpfung mehr oder weniger rasch abklingen. Im Genfer See, in dem u.a. solche Schwingungen zu beobachten sind, sind diese periodischen Seespiegelschwankungen unter dem Namen "seiches" bekannt und wurden schon 1895 durch F.A. Forcl [20] untersucht. Heute bezeichnet man gern alle derartigen freien Eigenschwingungen als "seiches".

- neuer beobachteter und schlagendes höhte Regenwasserstande abh. regnen
auch nur selten mehr als 10 cm. D.h. der erwartete Regenwasserstand wird
eigentlich ausgenutzt, da die niedrigste Welle des Hochwassers ist d. 6.
Vibrations überzeugt durch entsprechende Messungen am Fluss, bestätigt
- es ist allerdings möglich, dass manche Störung durch andere Regenwasserstande
(durch Wind). Diesen zu er-
kennen und zu verhindern muss man natürlich auch mit Anordnungen
- und funktioniert nicht unbedingt perfekt, auf jeden Fall einiges Zeitraum.



Wichtig, dass man die verschiedenen Arten von Regenwasserstanden so
dass man sie unterschiedlich eingeschätzt werden kann, dass man
- genauer weiß, was noch nicht als Regenwasserstand gesehen werden kann.
- z.B. was ist kein Regenwasserstand mehr? Wenn man
noch Regenwasserstand hat, dann kann man das nicht mehr
meinen. Aber man kann "Regenwasserstand" noch nicht Regenwasserstand eingeschätzt
- sondern eher einen anderen Regenwasserstand. Das ist sehr wichtig, dass
- man nicht einfach alle Regenwasserstande gleich schätzt, weil man
- dann nicht weiß, was noch nicht Regenwasserstand ist.

Auch in der Ostsee als einem allseitig geschlossenen Becken existieren solche Seiches; eine eingehenden Untersuchung stellte u.a. G. Neumann [21] an. Er berechnete unter Zugrundelegung der morphologischen Form des Ostseebeckens und der Annahme verschiedener Knotenzahlen mehrere Periodenlängen solcher Eigenschwingungen, die durch Untersuchung von Pegelaufzeichnungen in guter Übereinstimmung mit der Theorie nachgewiesen wurden. Ausgelöst wurden die Schwingungen in den von Neumann bearbeiteten Fällen durch Windeinwirkung und Luftdruckschwankungen. Die Frage, wo die Grenzen der schwingenden Massen der Ostsee zu suchen sind, insbesondere ob die westliche Ostsee (Mecklenburger und Kieler Bucht) dem schwingenden System hinzuzurechnen sind, oder ob dieser Teil nur sekundär von den Schwingungen der mittleren und östlichen Ostsee beeinflusst wird, entscheidet Neumann nicht mit Bestimmtheit. Zum Klärung fordert er u.a. Strommessungen in verschiedenen Tiefen auf der Darßer Schwelle und im Fehmarnbelt.

Solche Strommessungen wurden während der Winterperiode durchgeführt (wenn auch vielleicht noch nicht in der zur genauen Klärung wünschenswerten Dichte), und durch glücklichen Zufall wurde auch vom 10.-13.3. ein eindrucksvolles Beispiel einer solchen Eigenschwingung erfaßt. Am 7.3. hatte der Wind begonnen, stetig aus West aufzufrischen und am 8.3. abends sein erstes Maximum mit etwa 11 m/sec erreicht. Am nächsten Tag flaut er Vormittags bis auf 3 m/sec ab, um abends erneut bis 10 m/sec aufzufrischen. Das Auf und Ab der Windgeschwindigkeit stellt also an diesem Tage grob gesehen eine Schwingung von etwa 24-stündiger Periodendauer dar (vgl. Tafel 4). Nun liegen mehrere der Eigenfrequenzperioden der Ostsee gerade in dieser Größenordnung (z.B. die 2-knotige Schwingung Kleiner Belt - Leningrad mit 24.3 Stunden); der Erfolg ist eine deutliche Resonanz: die Amplitude der Stromschwankung schaukelt sich auf; während die Geschwindigkeit an der Oberfläche beim ersten Windmaximum etwa 80 cm/sec erreicht, steigt sie beim zweiten Maximum auf rd. 110 cm/sec. Am folgenden Tage (10.3.) hält der Wind mit 10-13 m/sec an, der Erfolg ist ein Strommaximum in der Nacht vom 10./11.3. von fast 190 cm/sec. Diese außerordentlich hohe Stromgeschwindigkeit (=3.7 sm/h) stellt für den Fehmarnbelt einen Ausnahmefall dar; G. Dietrich [16] findet im gesamten Jahre 1937 als Maximum nur 3.1 sm/h. Als nun im Laufe des 11. und 12.3. der Wind auf 3 m/sec abflaut, die trifterzeugende Wirkung also stark nachlässt, schwingen die infolge des kräftigen Flinstromes in der östlichen Ostsee angestauten Massen (vgl. Seite 18) zurück, allerdings kommt es dabei durch die Überlagerung des noch anhaltenden Drift-Flinstromes nicht zum Kentern des Stromes. (Abb. 15) Nach einer weiteren Hin- und Herschwingung des

-körülölfelőleges elvállalásánál előre szabott az ár, melyet a célciklusban valóban megelérhetővé tette a vállalkozás.

Ha a célciklusban a termék ára hihetően alacsonyabb, mint a célciklusban kívánt ár, akkor a célciklusban két részre osztjuk a kész terméket:

- 1. A célciklusban alacsony árára készített késztermék része, amelyet a célciklusban kívánt árra készítve eladhatunk.
- 2. A célciklusban kívánt árba készített késztermék része, amelyet a célciklusban kívánt árba készítve nem eladhatunk.

A célciklusban kívánt árba készített késztermék része a célciklusban kívánt árba készítve eladhatunk, ha a célciklusban kívánt árba készítve nem eladhatunk késztermék része a célciklusban kívánt árba készítve eladhatunk.

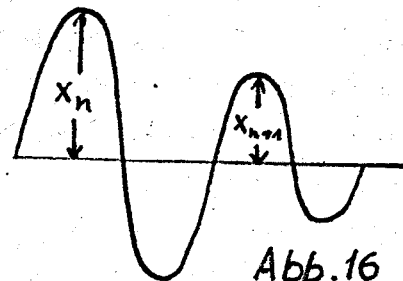


Abb. 16

Amplitudó az elvállalásánál

(Abbildung 16)

Ez a görbe két részre osztja a késztermék árát.

1. Első rész: Célciklusban kívánt árba készített késztermék része

2. második rész: Célciklusban kívánt árba készítve nem eladhatunk késztermék része

Célciklusban kívánt árba készítve eladhatunk késztermék része a célciklusban kívánt árba készítve eladhatunk késztermék része után.

(Ezért is a célciklusban kívánt árba készítve eladhatunk késztermék része a célciklusban kívánt árba készítve eladhatunk késztermék része után.)

Amplitudó az elvállalásánál

Ez a görbe két részre osztja a késztermék árát.

1. Első rész: Célciklusban kívánt árba készített késztermék része

2. második rész: Célciklusban kívánt árba készítve nem eladhatunk késztermék része

Célciklusban kívánt árba készítve eladhatunk késztermék része a célciklusban kívánt árba készítve eladhatunk késztermék része után.

Célciklusban kívánt árba készítve eladhatunk késztermék része a célciklusban kívánt árba készítve eladhatunk késztermék része után.

Stromes frischt am Abend des 12.3. nochmals der Wind phasengünstig auf, durch eine weitere Windspitze von 12 m/sec am 13.3. wird jedoch das abermalige freie Zurückschwingen gestört und die Eigenschwingung kommt "aus dem Takt". Die Periode der freien Schwingung beträgt rd. 24-26 Stunden, eine genauere Bestimmung lassen leider die mit 4-stündigen Abständen ausgeführten Messungen nicht zu.

Gleichzeitig spielt sich auch in 16 m Tiefe ein/ Schwingungsvorgang ab. Durch den starken Oberflächenstrom von über 180 cm/sec wird am 10./11.3. auch in 16 m Tiefe ein maximaler Einstrom von über 100 cm/sec hervorgerufen. Während jedoch an der Oberfläche das Ausschwingen mit 24-stündiger Periode erfolgt, beträgt die Periode der Schwingung in 16 m Tiefe nur 12 Stunden; um Mitternacht des 11./12.3. steht daher dem Maximum des Einstroms an der Oberfläche ein Maximum des Ausstroms in 16 m Tiefe gegenüber. (s. Abb. 15). Nach dreimaligem Hin- und Herschwingen um den Nullwert ist am 12.3. um 22 Uhr die Schwingung auf Null abgeklungen, wird jedoch infolge des erneuten Anstoßes der Oberflächenströmung durch den auffrischenden Wind am 13.3. wieder belebt. Das Abklingen erfolgt jetzt zwar auch noch schwingungsähnlich, wird jedoch von allerlei Störungen verwischt, die von der Oberflächenströmung auszugehen scheinen.

Die verschiedene Frequenz der Eigenschwingungen in den verschiedenen Tiefen muß so erklärt werden, daß das salzreichere Tiefenwasser unabhängige Schwingungen ausführt, die offenbar auf einen kleineren Raum beschränkt sind (im Osten durch die Darßer Schwelle begrenzt), während die Oberflächenschicht verhältnismäßig ungehindert von der zentralen Ostsee bis zum Kleinen Belt durchschwingen kann.

Das rasche Abklingen der Amplituden der Eigenschwingungen beweist eine hohe Dämpfung, deren Ursache in der Enge und geringen Tiefe der Verbindungsstraßen zwischen den einzelnen Becken der westlichen Ostsee zu suchen ist. Als Maß für die Größe der Dämpfung benutzt man das "logarithmische Dekrement", das definiert ist als der natürliche Logarithmus des Verhältnisses zweier aufeinanderfolgender gleichgerichteter Amplituden, also (vgl. Abb. 16)

$$\lambda = \ln \frac{x_n}{x_{n+m}} \quad \text{oder allgemeiner} \quad \lambda = \frac{1}{m} \ln \frac{x_n}{x_{n+1}}$$

worin x_n eine beliebige Anfangsamplitude, x_{n+m} eine beliebige spätere Amplitude ist, deren Abstand von der n -ten "m" Perioden ist.

In unserem Falle ist zunächst der mittlere Strom zu eliminieren, den die Schwingung überlagert ist, um die reine freie Schwingung zu erhalten. Zu diesem Zweck werden die Maxima und Minima durch je einen Kurvenzug verbunden und dann die Mittelwertkurve zu beiden konstruiert. Diese Mittelkurve stellt dann den mittleren Strom während der

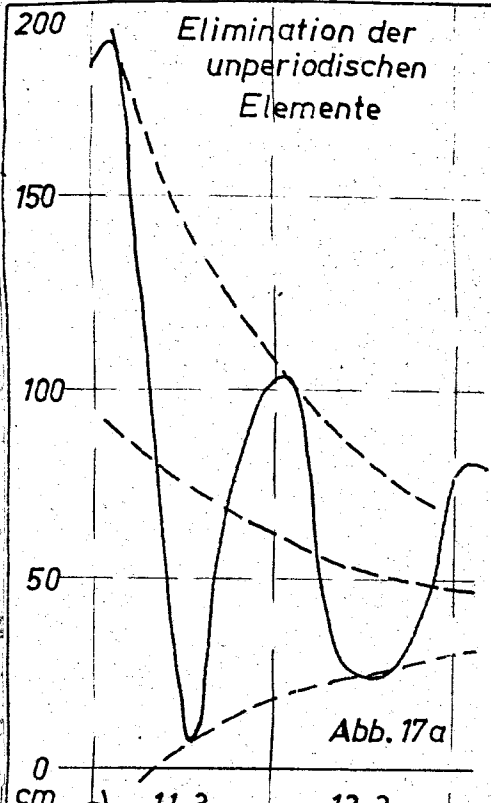


Abb. 17a

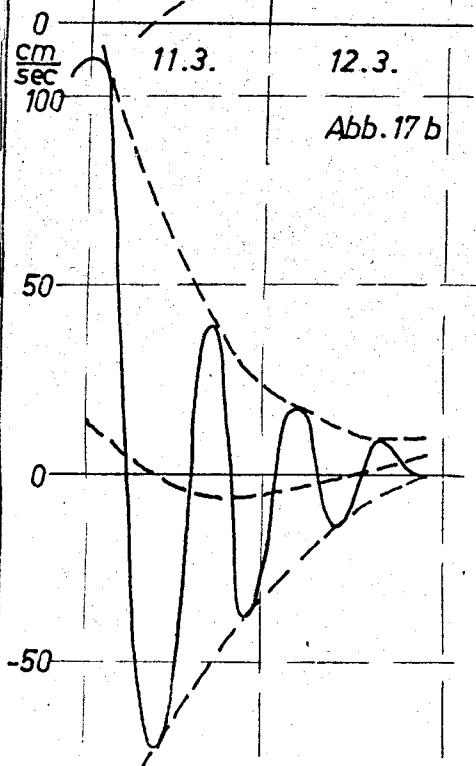


Abb. 17b

sch Brodt war ebenfalls anwesend
Sobald er jedoch seine Arbeit aus
zufriedenstellend abgeschlossen und
es sich "viel mehr nach seinen
Bemühungen entzog", nahm er das
Instrument wieder ab und zog
seine Fliehkurve mit periodischen
Komponenten nach unten. In diesem
Zuge wurde die Amplitude der unperi-
odischen Komponenten sehr groß.
Daher ist es möglich, dass die unperi-
odische Komponente des Windes
noch nicht vollständig ausgeschlos-
sen werden konnte. Es ist daher
nicht verwunderlich, dass die Flieh-
kurve eine solche Form aufweist.
Die Fliehkurve zeigt einen deutlichen
Unterschied zwischen den beiden
Zeitabschnitten. Im ersten Zeit-
abschnitt ist die Amplitude der unperi-
odischen Komponenten sehr groß,
während im zweiten Zeitabschnitt
die Amplitude dieser Komponenten
sehr klein ist. Dies deutet darauf
hin, dass die unperiodischen Kompo-
nenten während der Beobachtungszeit
völlig ausgeschlossen wurden.

Die Fliehkurve zeigt eine deutliche
Periodizität, was darauf hindeutet,
dass die unperiodischen Komponenten
noch nicht vollständig ausgeschlos-
sen werden konnten. Es ist daher
nicht verwunderlich, dass die Flieh-
kurve eine solche Form aufweist.
Die Fliehkurve zeigt einen deutlichen
Unterschied zwischen den beiden
Zeitabschnitten. Im ersten Zeit-
abschnitt ist die Amplitude der unperi-
odischen Komponenten sehr groß,
während im zweiten Zeitabschnitt
die Amplitude dieser Komponenten
sehr klein ist. Dies deutet darauf
hin, dass die unperiodischen Kompo-
nenten während der Beobachtungszeit
völlig ausgeschlossen wurden.

Die Fliehkurve zeigt eine deutliche
Periodizität, was darauf hindeutet,
dass die unperiodischen Komponenten
noch nicht vollständig ausgeschlos-
sen werden konnten. Es ist daher
nicht verwunderlich, dass die Flieh-
kurve eine solche Form aufweist.
Die Fliehkurve zeigt einen deutlichen
Unterschied zwischen den beiden
Zeitabschnitten. Im ersten Zeit-
abschnitt ist die Amplitude der unperi-
odischen Komponenten sehr groß,
während im zweiten Zeitabschnitt
die Amplitude dieser Komponenten
sehr klein ist. Dies deutet darauf
hin, dass die unperiodischen Kompo-
nenten während der Beobachtungszeit
völlig ausgeschlossen wurden.

Schwingung dar, die wahren Amplituden der freien Schwingung sind als Abweichung von der Mittelkurve zu entnehmen. (Abb. 17 a/b) Für den ersten Fall (Oberflächenstrom) erhält man dann als Amplituden:

positiv: 102 42 (3. Schwingung gestört)

negativ: 68 28

Das Verhältnis ist also $\frac{102}{42} = \frac{68}{28} = 2.43$, d.h. $\lambda = \ln 2.43 = 0.89$

In zweiten Fall (16 m-Strom, Abb. 17 b) sind die Amplituden

positiv: 98 43 19 8

negativ: 73 32 14 (6), die Verhältnisse daher

$\frac{98}{43} = \frac{43}{19} = \frac{19}{8} = \frac{73}{32} = \frac{32}{14} = \frac{14}{6} = 2.28$, also $\lambda = \ln 2.28 = 0.82$

(Die Zahlenterte der Amplituden sind geringfügig korrigiert; dies schien im Rahmen der Meßgenauigkeit zulässig, da der 4-stündige Abstand der Strommessungen keine Gewähr dafür bot, die Maxima und Minima tatsächlich exakt zu erfassen).

Diese Dämpfungswerte von > 0.8 liegen erstaunlich hoch, verglichen mit den von Neumann angegebenen%. Er findet für die Ostsee einen mittleren Wert von $\lambda = 0.5$, der schon als relativ hoch anzusehen ist. Der höchste von ihm erwähnte Wert trat im Finnischen Meerbusen bei Koivisto mit $\lambda = 0.75$ auf, liegt also immer noch niedriger als der hier gefundene Wert. Als Ursache dieser besonders hohen Dämpfung ist, wie oben erwähnt, die Enge und Seichtheit der westlichen Ostsee im Vergleich zur Zentralostsee anzusehen.

bb) Gezeitenströme.

Bekanntlich wird die Ostsee im allgemeinen zu den gezeitenlosen Meeren gerechnet, eine Annahme, die aber nur in erster Näherung Gültigkeit hat. Zwar können durch Einflüsse vom freien Weltmeere her wegen der Enge der Verbindungsstraßen keine "Witschwingungsgezeiten" hervorgerufen werden, jedoch werden durch die gezeitenerzeugenden Kräfte der Sonne und des Mondes unmittelbar in der Ostsee Schwingungen ausgelöst, deren Amplitude allerdings im allgemeinen so gering ist, daß sie fast stets von unperiodischen Schwankungen völlig überdeckt werden. (Eine Untersuchung der Gezeiten der Ostsee liegt u.a. durch R. Wittling [22] vor). Nur in solchen Fällen, wo außergewöhnliche Windruhe und damit Triftstromfreiheit herrscht, treten die Gezeitenströme messbar in Erscheinung. Diese Bedingung ist nur sehr selten erfüllt, doch sind auch in den vorliegenden Meßreihen Beispiele für solche Schwingungen vorhanden.

(Zem.: Im folgenden ist unter "Strom" grundsätzlich immer die Längskomponente des Stromes nach der Definition auf Seite 12 zu verstehen; das gleiche gilt auch für den vorangehenden Abschnitt über die freien Schwingungen).

In der Sommerreihe geht der Oberflächenstrom gegen Ende der

Periode (31.8.-5.9.) bei rüffigen bis schwachen nördlichen Winden auf geringe Absolutwerte zurück. Während der Zeit vom 31.8.-3.9. sind deutlich halbtägige Schwingungen überlagert, deren Amplitude annähernd gleich bleibt, d.h. es handelt sich sicher nicht um freie Eigenschwingungen der im vorigen Abschnitt behandelten Art. Um die noch vorhandenen Störungen zu eliminieren, sind die Mittelwerte für jeden Termin während dieser 4 Tage gebildet; diese Methode scheint hier zulässig, da es sich offenbar um genau halbtägige, d.h. sonnen-erzeugte Gezeiten handelt. Es ergibt sich:

DSZ	00	04	08	12	16	20	Uhr
mittl. Strom	-23.7	-4.5	-3.3	-21.0	-4.3	-5.3	cm/sec

Zur harmonischen Analyse dieser Werte soll den Fourier-Ansatz

$$y(x) = a + b \sin 2x + c \cos 2x$$

verwendet werden, d.h. es soll diejenige reine Sinuswelle mit halbtägiger Periode berechnet werden, die die oben gefundenen Messwerte am besten annähert. In etwas anderer Form lautet der Ansatz

$$y(x) = a + r \sin(2x + \varphi), \text{ worin}$$

$$b = r \cos \varphi \quad \text{und} \quad c = r \sin \varphi \quad \text{ist.}$$

Dabei bedeutet anschaulicher: a die additive Konstante, d.h. den Mittelwert über die ganze Schwingung, r die Amplitude der Schwingung und φ den Phasenwinkel, d.h. die zeitliche Verschiebung des Maximums.

Die Errechnung der Koeffizienten a , b und c erfolgt nach der Methode der kleinsten Quadrate:

Es muß die Summe $\sum (a + b \sin 2x_i + c \cos 2x_i - y_i)^2 = \sum \varepsilon_i^2$ ein Minimum werden.

Die Bedingung dafür ist das Verschwinden der partiellen Ableitungen:

$$\frac{\partial}{\partial a} \sum \varepsilon_i^2 = a \cdot n + b \sum \sin 2x_i + c \sum \cos 2x_i - \sum y_i = 0$$

$$\frac{\partial}{\partial b} \sum \varepsilon_i^2 = n \sum \sin 2x_i + b \sum \sin^2 2x_i + c \sum \sin 2x_i \cos 2x_i - \sum y_i \sin 2x_i = 0$$

$$\frac{\partial}{\partial c} \sum \varepsilon_i^2 = n \sum \cos 2x_i + b \sum \sin 2x_i \cos 2x_i + c \sum \cos^2 2x_i - \sum y_i \cos 2x_i = 0$$

Die in diesem Gleichungssystem als Koeffizienten auftretenden Summen werden aus den beobachteten Werten berechnet; man erhält:

$$\begin{array}{ccccccccc} \Sigma y_i & : \Sigma \sin 2x_i & : \Sigma \cos 2x_i & : \Sigma \sin^2 2x_i & : \Sigma \cos^2 2x_i & : \Sigma y_i \sin 2x_i & : \Sigma y_i \cos 2x_i \\ -62.1 & 0 & 0 & 3.0 & 3.0 & 0 & -0.18 & -36.0 \end{array}$$

Damit lautet das Koeffizientenschema für das Gleichungssystem

$$6 \quad 0 \quad 0 \quad 62.1$$

$$0 \quad 3 \quad 0 \quad 0.18$$

$$0 \quad 0 \quad 3 \quad 36.0$$

daraus errechnen sich die gesuchten Koeffizienten des Fourier-Ansatzes zu:

$$a = -10.4, \quad b = -0.06, \quad c = -12.0$$

d.h.: dem mittleren Strom von -10.4 cm/sec ist eine Sinusschwingung der Amplitude $r = \sqrt{b^2 + c^2} = 12.0$ cm/sec überlagert, deren Phasen-

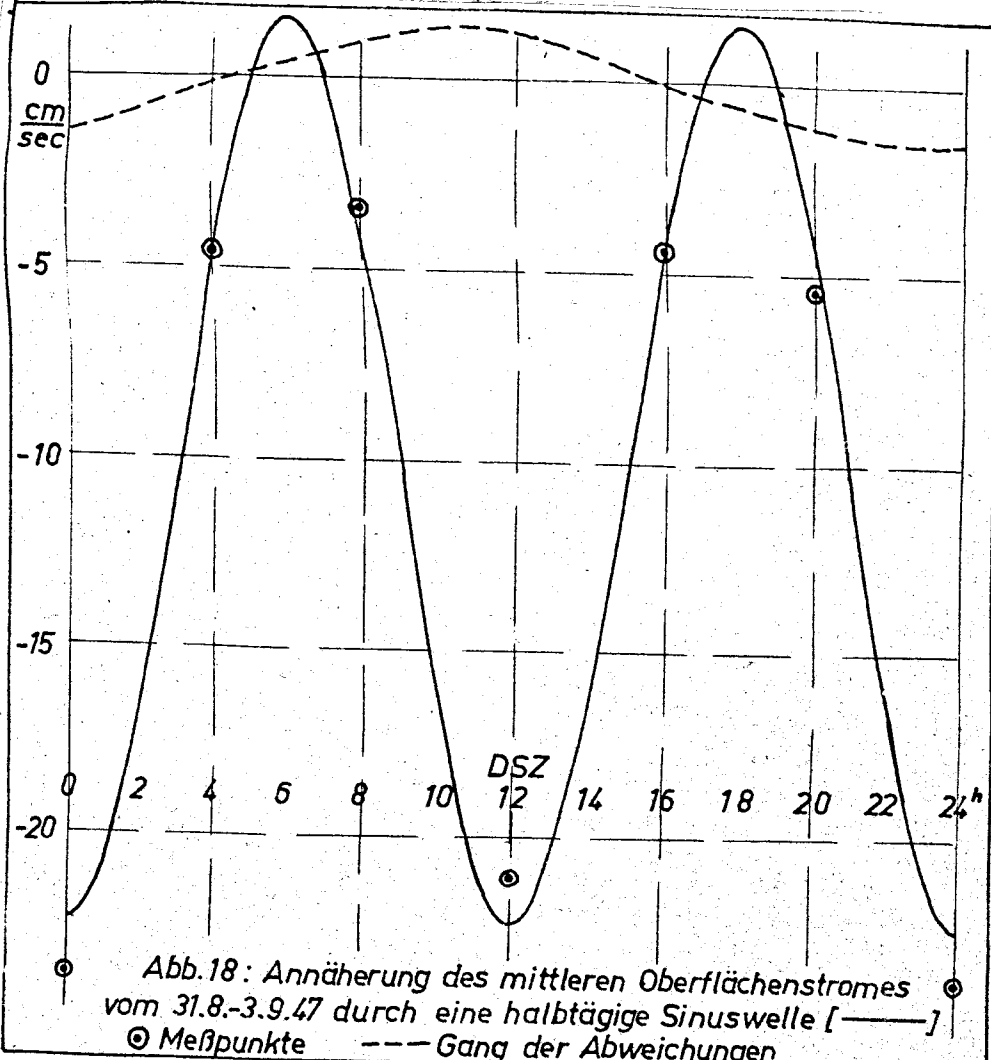


Abb. 18: Approximation of the mean surface current (cm/sec) over a 24-hour period (0 to 24 hours).

The graph shows a half-day sine wave approximation (solid line) and the deviation (dashed line) from it. Measured points are marked with circles at approximately 4, 8, 12, 16, and 20 hours.

The graph shows two peaks of about 10 cm/sec and two troughs of about -10 cm/sec.

The graph shows two peaks of about 10 cm/sec and two troughs of about -10 cm/sec.

The graph shows two peaks of about 10 cm/sec and two troughs of about -10 cm/sec.

The graph shows two peaks of about 10 cm/sec and two troughs of about -10 cm/sec.

The graph shows two peaks of about 10 cm/sec and two troughs of about -10 cm/sec.

The graph shows two peaks of about 10 cm/sec and two troughs of about -10 cm/sec.

The graph shows two peaks of about 10 cm/sec and two troughs of about -10 cm/sec.

The graph shows two peaks of about 10 cm/sec and two troughs of about -10 cm/sec.

The graph shows two peaks of about 10 cm/sec and two troughs of about -10 cm/sec.

The graph shows two peaks of about 10 cm/sec and two troughs of about -10 cm/sec.

The graph shows two peaks of about 10 cm/sec and two troughs of about -10 cm/sec.

winkel $\varphi = \arctg c/b = \arctg 200 = 269.7^\circ$ beträgt, das Maximum tritt also ein bei $2x - \varphi = 90^\circ$, $x = (90 - \varphi)/2 = -89.8^\circ$, umgerechnet ins Stundenmaß also um 1801 bzw. um 0601 4DSZ. (s. Abb. 18).

Die Übereinstimmung der (gemittelten) Messwerte mit der errechneten Sinuskurve ist befriedigend, die Abweichungen zeigen einen scheinbaren Gang mit mittäglichen Maximum. Dies ist jedoch ein Effekt, der durch die entsprechende Krümmung der Mittelwertkurve nach oben während dieser 4 Tage entsteht, hat also seinen Ursprung nicht etwa in einer Überlagerung von ganztägigen Gezeiten.

Ein anderes Beispiel (aus der Winterperiode) zeigt dagegen gemischt ganz-halbtägige bzw. vorwiegend ganztägige Gezeitenströme. In der Zeit vom 1.-9.3. weicht der Strom wiederum im Mittel nur wenig von Nullwert ab, besonders in der bodennahen Schicht (26 m). Auffällig ist bei der 26-m-Kurve ein täglich um etwa 8-10 Uhr sich wiederholendes Stromminimum ("Minimum" auch im Sinne eines Maximums des $A u s$ stroms); dadurch wird die Vermutung nahegelegt, daß es sich auch hier um den Einfluß von Gezeitonströmen handelt, die offenbar überwiegend ganztägigen Charakter haben. Es werden daher wiederum nach derselben Methode wie oben zunächst die Mittelwerte für die einzelnen Terme über die 9 Tage berechnet (wegen der etwas variierenden Terminzeiten müssen auch diese gemittelt werden), und es ergibt sich:

mittl. Terminzeit 0530 0932 1339 1729 2128 MEZ

mittl. Strom(26 m) 1.0 -0.7 7.3 11.0 11.4 cm/sec

Da sich diese Punkte nur unter größeren Abweichungen durch eine einfache Sinuswelle annähern lassen, ist hier die Fourier-Analyse für die ganz- und halbtägigen Wellen durchgeführt nach dem Ansatz

$$y = a + b \sin x + c \cos x + d \sin 2x + e \cos 2x$$

oder in anderer Schreibweise $y = a + r_1 \sin(x + \varphi_1) + r_2 \sin(2x + \varphi_2)$

woxin $\frac{r}{a} = \arctg \varphi_1$; $r_1 = \sqrt{c^2 + d^2}$ und $\frac{r}{a} = \arctg \varphi_2$; $r_2 = \sqrt{e^2 + f^2}$

Nach der Methode der kleinsten Quadrate muß

$$\sum \varepsilon_i^2 = \sum (a + b \sin x_i + c \cos x_i + d \sin 2x_i + e \cos 2x_i - y_i)^2$$

ein Minimum werden, d.h. $\frac{\partial}{\partial a} \sum \varepsilon_i^2 = \frac{\partial}{\partial b} \sum \varepsilon_i^2 = \frac{\partial}{\partial c} \sum \varepsilon_i^2 = \frac{\partial}{\partial d} \sum \varepsilon_i^2 = \frac{\partial}{\partial e} \sum \varepsilon_i^2 = 0$

Das führt zu dem Gleichungssystem

$$\begin{aligned} a \cdot n + b \sum \sin x_i + c \sum \cos x_i + d \sum \sin 2x_i + e \sum \cos 2x_i - \sum y_i &= 0 \\ a \sum \sin x_i + b \sum \sin^2 x_i + c \sum \sin x_i \cos x_i + d \sum \sin x_i \sin 2x_i + e \sum \sin x_i \cos 2x_i - \sum y_i \sin x_i &= 0 \\ a \sum \cos x_i + b \sum \sin x_i \cos x_i + c \sum \cos x_i \sin x_i + d \sum \cos x_i \sin 2x_i + e \sum \cos x_i \cos 2x_i - \sum y_i \cos x_i &= 0 \\ a \sum \sin 2x_i + b \sum \sin x_i \sin 2x_i + c \sum \cos x_i \sin 2x_i + d \sum \sin^2 x_i + e \sum \sin x_i \cos 2x_i - \sum y_i \sin 2x_i &= 0 \\ a \sum \cos 2x_i + b \sum \sin x_i \cos 2x_i + c \sum \cos x_i \cos 2x_i + d \sum \sin x_i \cos 2x_i + e \sum \cos^2 x_i - \sum y_i \cos 2x_i &= 0 \end{aligned}$$

15 Abb. 19: Annäherung des mittleren Stromes in 26 m vom 1.-9.3.48 durch die Summe einer ganz- und einer halbtägigen Sinuswelle

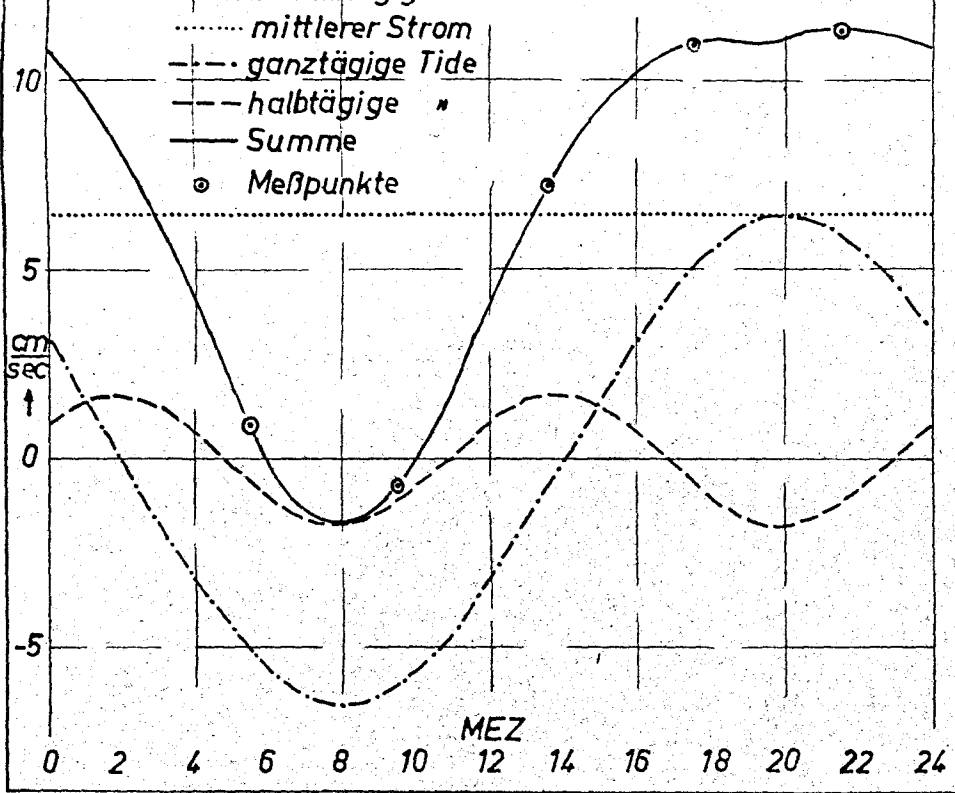
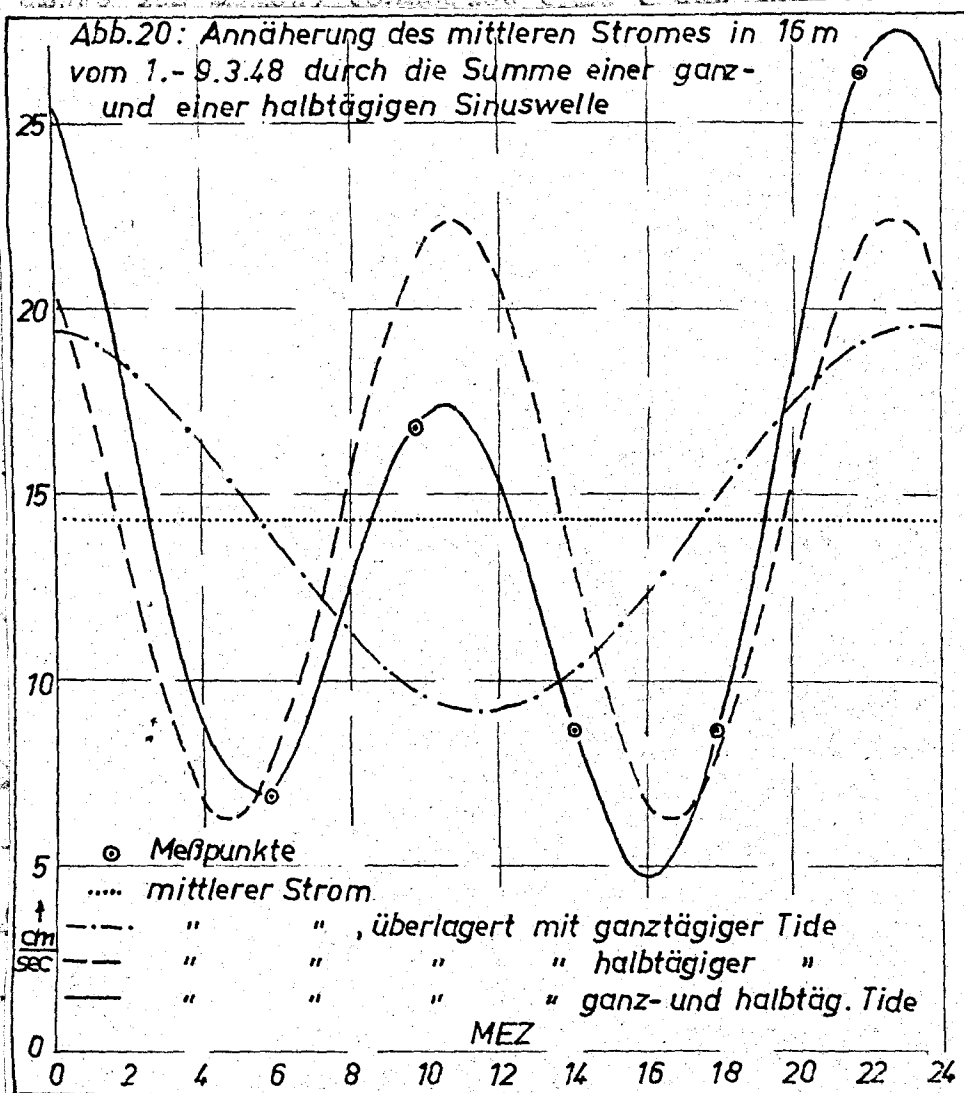


Abb. 20: Annäherung des mittleren Stromes in 16 m vom 1.-9.3.48 durch die Summe einer ganz- und einer halbtägigen Sinuswelle



Die in diesem Gleichungssystem als Koeffizienten auftretenden Summen errechnen sich aus den Messwerten zu:

$$\begin{aligned} \sum_{x=0}^{\pi} x; \sum_{x=0}^{\pi} \cos x; \sum_{x=0}^{\pi} \sin x; \sum_{x=0}^{\pi} \cos^2 x; \sum_{x=0}^{\pi} \sin^2 x; \\ -0.432 & -0.923 -0.645 -0.763 3.80 2.880 -0.323 -0.303 \\ \sum_{x=0}^{\pi} x \cdot \cos x; \sum_{x=0}^{\pi} x \cdot \sin x; \sum_{x=0}^{\pi} \cos^2 x \cdot \sin x; \sum_{x=0}^{\pi} \sin^2 x \cdot \cos x; \sum_{x=0}^{\pi} x \cdot \cos^2 x; \sum_{x=0}^{\pi} x \cdot \sin^2 x; \\ -0.432 & -28.406 2.116 -0.691 -0.615 7.560 2.580 \end{aligned}$$

$$-0.323 + 1.639 -0.691 + 1.639 -2.416 -4.260$$

Damit lautet das Gleichungssystem (Koeffizientenschema, die eine Hälfte ist wegen der Symmetrie der Matrix fortgelassen):

$$\begin{array}{cccccc} 5.0 & -0.432 & -0.923 & -0.645 & -0.763 & -30.0 \\ & 2.880 & -0.323 & -0.307 & -0.258 & 20.405 \\ & & 2.116 & -0.691 & -0.615 & -1.560 \\ & & & 2.580 & -0.513 & 1.639 \\ & & & & 2.416 & 4.260 \end{array}$$

Nach schrittweiser Elimination erhält man hieraus

$$e = 0.875, d = 1.427, c = 3.444, b = 5.498, a = 6.477$$

sodaß die Gleichung der Näherungskurve lautet

$$y = 6.48 + 3.44 \cos x - 5.50 \sin x + 0.88 \cos 2x = 1.43 \sin 2x$$

Das bedeutet also, daß einem mittleren Strom von rd. 6.5 cm/sec eine Sinuswelle mit ganztägiger Periode, Amplitude $r_1 = \sqrt{c^2 + d^2} = 6.5$ cm/sec und Phasenwinkel $\varphi_1 = \arctg c/b = 147.9^\circ$, entsprechend einer Eintrittszeit des Maximums von $x = \frac{\pi}{2} - \varphi_1 = -57.9^\circ$ oder 2008 Uhr MEZ und eine Sinuswelle halbtägiger Periode mit der Amplitude $r_2 = \sqrt{e^2 + f^2} = 1.68$ cm/sec und dem Phasenwinkel $\varphi_2 = \arctg e/d = 31.5^\circ$, entsprechend einer Eintrittszeit des Maximums von $x = (\frac{\pi}{2} - \varphi_2)/2 = 29.25^\circ$ oder 0157 bzw. 1357 Uhr MEZ überlagert sind. (Vgl. Abb. 19).

Die Mittelung des Stromes in 16 m Tiefe während des gleichen Zeitraumes (1.-9.3.) ergibt die Werte mittl. Strom (16 m) = 6.9, mittl. Zeit = 0546-0944-1403-1753-2147 MEZ, mittl. Strom (16 m) = 6.9-16.8-8.7-8.7-26.3 cm/sec.

Nach dem gleichen Verfahren wie oben für den Strom in 26 m ergibt die Fourier-Analyse für die ganztägigen und halbtägigen Komponenten nach der Methode der kleinsten Quadrate

$$a = 14.345, b = -0.717, c = 5.126, d = -5.211, e = 6.150$$

$$\text{d.h. } y = 14.35 - 0.72 \sin x + 5.13 \cos x - 5.21 \sin 2x + 6.15 \cos 2x$$

Der ganztägige Anteil beträgt hier also $r \sin(x - \varphi_1) = 5.17 \sin(x - 97.9^\circ)$ entsprechend einer Eintrittszeit des Maximums von $x = \frac{\pi}{2} - 97.9^\circ = -7.9^\circ$ oder 2328 Uhr MEZ. Für den halbtägigen Anteil ergibt sich $r_2 \sin(2x - 130.3^\circ)$, die Eintrittszeit des Maximums demnach

$$x = (\frac{\pi}{2} - 130.3^\circ) : 2 = -20.1^\circ \text{ oder } 2239 \text{ bzw. } 1039 \text{ MEZ (Abb. 20)}$$

Infolge der geringen Zahl der zugrundegelegten Meßwerte ist der Schluß auf physikalische Realität der errechneten Teilwellen nur bedingt zulässig; insbesondere zeigen die Unterschiede zwischen den 26 m- und den 16 m-Werten des gleichen Zeitraumes, daß die durch das Rechenverfahren festgelegten Wellen offenbar nicht genau den natürlichen Wellen entsprechen, da sonst eine bessere Übereinstimmung zwischen den gleichartigen Partialtiden herrschen müßte. So scheint z.B. das Maximum der ganztägigen Tide sowohl in 16 wie auch in 26 m Tiefe in Wahrheit bei etwa 22 Uhr zu liegen, entsprechend würden sich dann auch die Werte der halbtägigen Tiden verschieben. Die dann zwangsläufig auftretenden größeren Abweichungen der Meßpunkte von den errechneten Summenkurven ließen sich durch Reste unperiodischer Störungen oder monderzeugte Tiden erklären, die ja durch die angewandte Methode nicht erfaßt werden konnten.

Als eindeutiges Ergebnis dieser Messungen kann jedenfalls herausgestellt werden, daß in dem betrachteten 9-tägigen Zeitraum in 26 m Tiefe ein Gezeitenstrom von nahezu rein ganztägiger Periode und einer Amplitude von rd. ± 6 cm/sec zu beobachten ist, während in 16 m Tiefe dieser Strom von einer Komponente mit halbtägiger Periode und etwa ± 8 cm/sec Amplitude überlagert ist. Erklärbar ist das Fehlen des halbtägigen Anteils in der bodennahen Schicht durch die stärkere Dämpfung der höheren Frequenz infolge der Bodenreibungseinflüsse. (Vgl. A, Deffant [23].)

Zusammenfassend läßt sich aus den Untersuchungen der verschiedenartigen periodischen Vorgänge entnehmen, daß die Wassermassen der Ostsee in verschiedenen Tiefen offenbar von einander weitgehend unabhängige Schwingungen ausführen können; begünstigend wirkt dabei die infolge des Wasser austausches Nordsee-Ostsee entstehende thermohaline Schichtung durch die Behinderung der vertikalen Turbulenz, ohne die ein vertikaler Austausch von Bewegungsenergie nicht möglich ist.

III. Hydrographische und maritim-meteorologische Ergänzungen.

1.) Das Eindringen der täglichen Temperaturschwankung in die Tiefe

Sofern nur eine verhältnismäßig geringe Anzahl von Beobachtungen zur Verfügung steht, ist zur Untersuchung des täglichen Temperaturgauges nur eine Reihe von Tagen geeignet, die keine oder nur geringe unperiodischen Schwankungen aufweisen. Nur dann ergibt die Mittelung brauchbare Werte. Eine solche verhältnismäßig ruhige Periode finden wir sowohl für die Luft- als auch für die Wassertemperaturen zu Beginn der Sommerreihe vom 11.8.-18.8. (unter Ausschluß des durch einen Käl-

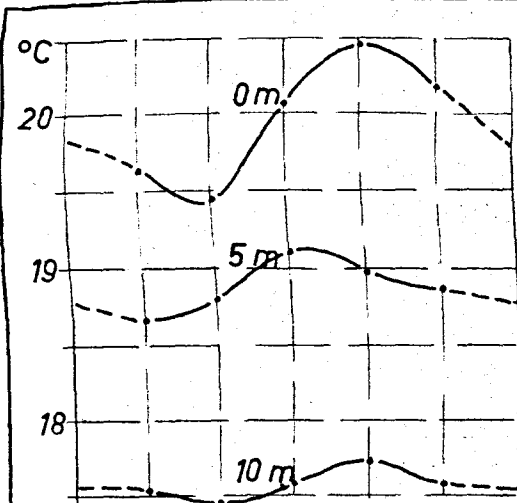
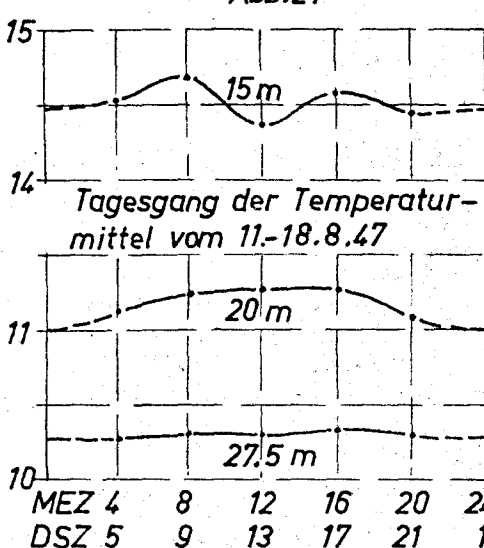


Abb. 21



Tagesgang der Temperaturmittel vom 11.-18.8.47

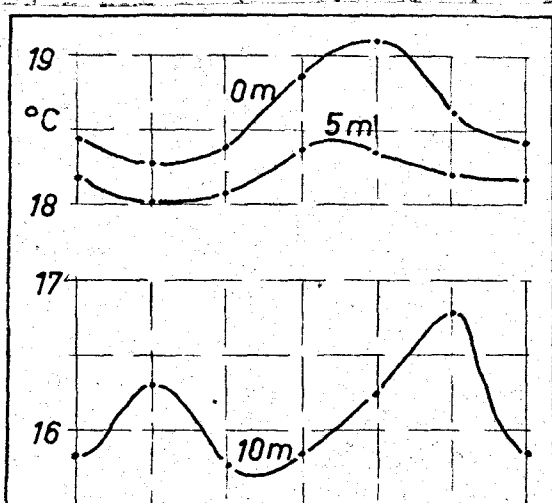
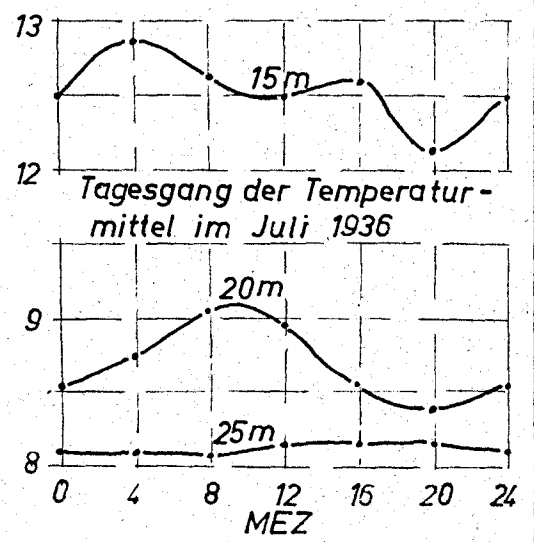


Abb. 22



Tagesgang der Temperaturmittel im Juli 1936

teballen gestörten 16.8.). Die Mittelung der zu täglich annähernd denselben Terminen ausgeführten Messungen ergibt für die Wassertemperaturen die folgenden Werte:

Tiefe (m)	05	09	13	17	21	Uhr DSZ
0	19.63	19.45	20.03	<u>20.47</u>	20.19	
5	18.67	18.79	<u>19.10</u>	18.97	18.87	
10	17.54	17.45	17.57	<u>17.72</u>	17.59	
15	14.52	<u>14.68</u>	14.37	<u>14.57</u>	14.45	
20	11.13	11.24	<u>11.26</u>	<u>11.26</u>	11.07	
27.5		10.27	<u>10.31</u>	10.30	<u>10.32</u>	10.29 (12.-18.8.)

Aus der graphischen Darstellung (Abb.21) dieser Mittelwerte ist folgendes zu entnehmen:

1.) die Maxima der Luft- und Wassertemperatur liegen um etwa 17 Uhr DSZ, d.h. etwa 4 Stunden nach dem Strahlungsmaximum.

2.) Das Maximum in 5 m Tiefe scheint gegenüber 0 m etwas verfrüht einzutreten (etwa 14-15 Uhr DSZ); offenbar spielt in dieser obersten Schicht die direkte Erwärmung durch Strahlungabsorption noch eine messbare Rolle. Die Gesamtamplitude beträgt noch rd. 0.4° gegen rd. 1° an der Oberfläche.

3.) In 10 m Tiefe hat sich das Maximum auf 17 h DSZ verschoben, die Amplitude beträgt noch rd. 0.25° .

4.) In 15 m Tiefe ist überraschenderweise die Amplitude nicht, wie eigentlich zu erwarten, auf etwa 0.1° zurückgegangen, sondern hat auf 0.31° zugenommen. Außerdem ist deutlich eine doppelte Welle zu erkennen. Zur Prüfung der Realität dieses Ganges sind auch die Salzgehaltsmittel dieses gleichen Zeitraumes berechnet:

	05	09	13	17	21	Uhr DSZ
	20.71	21.04	21.08	20.99	21.03	Salzgehalt % (Mittel vom 11-18.8.)

Beim Vergleich mit den zugehörigen Temperaturmittelwerten zeigt sich, daß der Gang im allgemeinen gegenläufig ist, d.h. t-Zunahme ist mit S-Abnahme gekoppelt und umgekehrt. Damit ist die Erklärung dieses täglichen Ganges nahegelegt: es handelt sich nicht mehr um eine von der Oberfläche nach unten dringende Temperaturwelle, sondern offenbar um eine periodische Hebung und Senkung der im Mittel bei etwa 15 m liegenden Sprungschicht infolge der Einwirkung eines halbtägigen Gezeitenstromes. Dieser Gezeitenstrom, der im vorigen Abschnitt an der Oberfläche nachgewiesen ist (mit Maxima des Einstromes um 06 und 18 Uhr DSZ), überlagert sich dem während dieser Zeit kontinuierlich andauernden Ausstrom. Die Folge ist, daß der Ausstrom zu diesen Terminen, 06 und 18 Uhr, im Mittel ein Minimum aufweisen muß. Dieses Minimum wirkt sich im Sinne der weiter oben besprochenen dynamischen Sogwirkungen dahin aus, daß die Sprungschicht absinkt.

Damit steigt in 15 m Tiefe die Temperatur an und der Salzgehalt sinkt. Maßbare Werte kann dieser Effekt nur dort ergeben, wo geringe Höhenunterschiede mit großen Differenzen der t- und S-Werte verknüpft sind, d.h. in der Sprung- oder Übergangsschicht selbst.

5.) In 20 m Tiefe ist der Gang wieder einwellig geworden, die Amplitude beträgt aber immer noch 0.19° , während sie in 27,5 m, einen halben Meter über Grund, auf 0.05° zurückgegangen ist.

Ganz ähnlich wie in diesen eigenen Messungen verlaufen die täglichen Schwankungen der Mittelwerte aus Messungen der Deutschen Seewarte im Fehmarnbelt vom Juli 1936 (Abb.22). Auch hier liegt das Maximum in 5 m Tiefe um 12-13 Uhr MEZ vor dem Maximum an der Oberfläche um 15-16 Uhr MEZ. Die auffällig großen, an die Sprungsicht gekoppelten Amplituden finden wir hier schon in 10 m Tiefe, ebenfalls mit einer doppelten Welle, und abgeschwächt auch in 15 m wieder. Die einfache Welle in 20 m ist wiederum zu erkennen, sogar mit wesentlich größerer Amplitude. Offenbar ist sie an eine ganztägige Gezeitenerscheinung gebunden, die mit der in den Winternmessungen in den tiefen Schichten nachgewiesenen ganztägigen Tide zu identifizieren ist, zumal die Phasen übereinstimmen.

Aus der Größe der Abnahme der Temperaturamplitude mit der Tiefe lässt sich der Koeffizient α der "Scheinleitung" bestimmen, der in der Wärme- (bezw. Temperatur-)leitungsgleichung $\frac{\partial T}{\partial t} = A \frac{\partial^2 T}{\partial h^2}$ mit der Lösung $a_h = a_0 \cdot e^{-h/\tau_{\text{AC}}}$ auftritt. Darin bedeutet T die Temperatur, h die Tiefe, a die Temperaturamplitude und τ die Dauer der gesamten Periode. Der physikalische (molekulare) Temperaturleitkoeffizient des Wassers beträgt nur etwa $0.0015 \text{ cm}^2/\text{sec}$ [24]; der durch dynamische Turbulenz und Konvektion hervorgerufene Scheinleitkoeffizient ist je nach Stabilität der Schichtung im allgemeinen um 3-5 Zehnerpotenzen größer. Er errechnet sich aus dem logarithmischen Dekrement der abnehmenden Amplituden

$$\ln \frac{a_0}{a_h} = \alpha \sqrt{\frac{T}{\tau}}$$

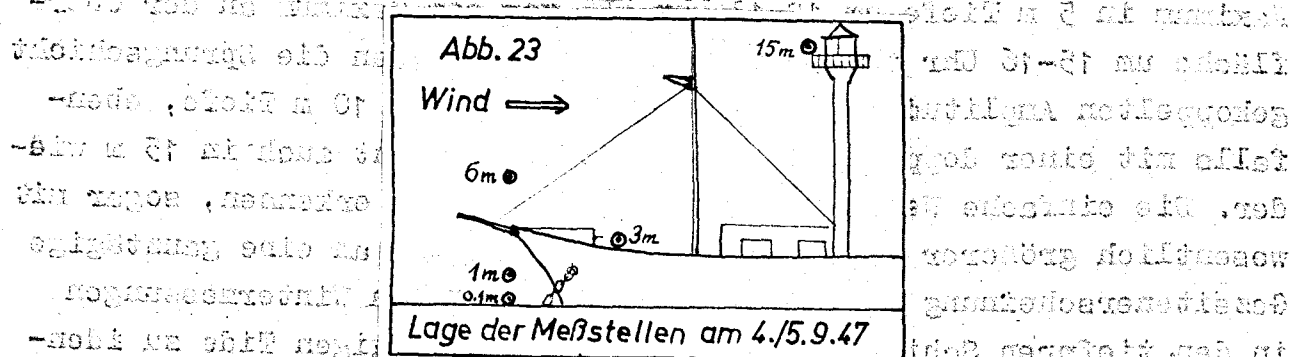
zu $A = \frac{h^2 \cdot \alpha}{(\ln \frac{a_0}{a_h})^2 \cdot \tau}$

In unserem Fall ist für die Schicht 0-5 m der $\ln \frac{a_0}{a_h} = 0.865$ und für die Schicht 5-10 m: $\ln \frac{a_0}{a_h} = 0.467$. Mit der Tiefendifferenz $h = 500 \text{ cm}$ und $\tau = 86400 \text{ sec}$ ist

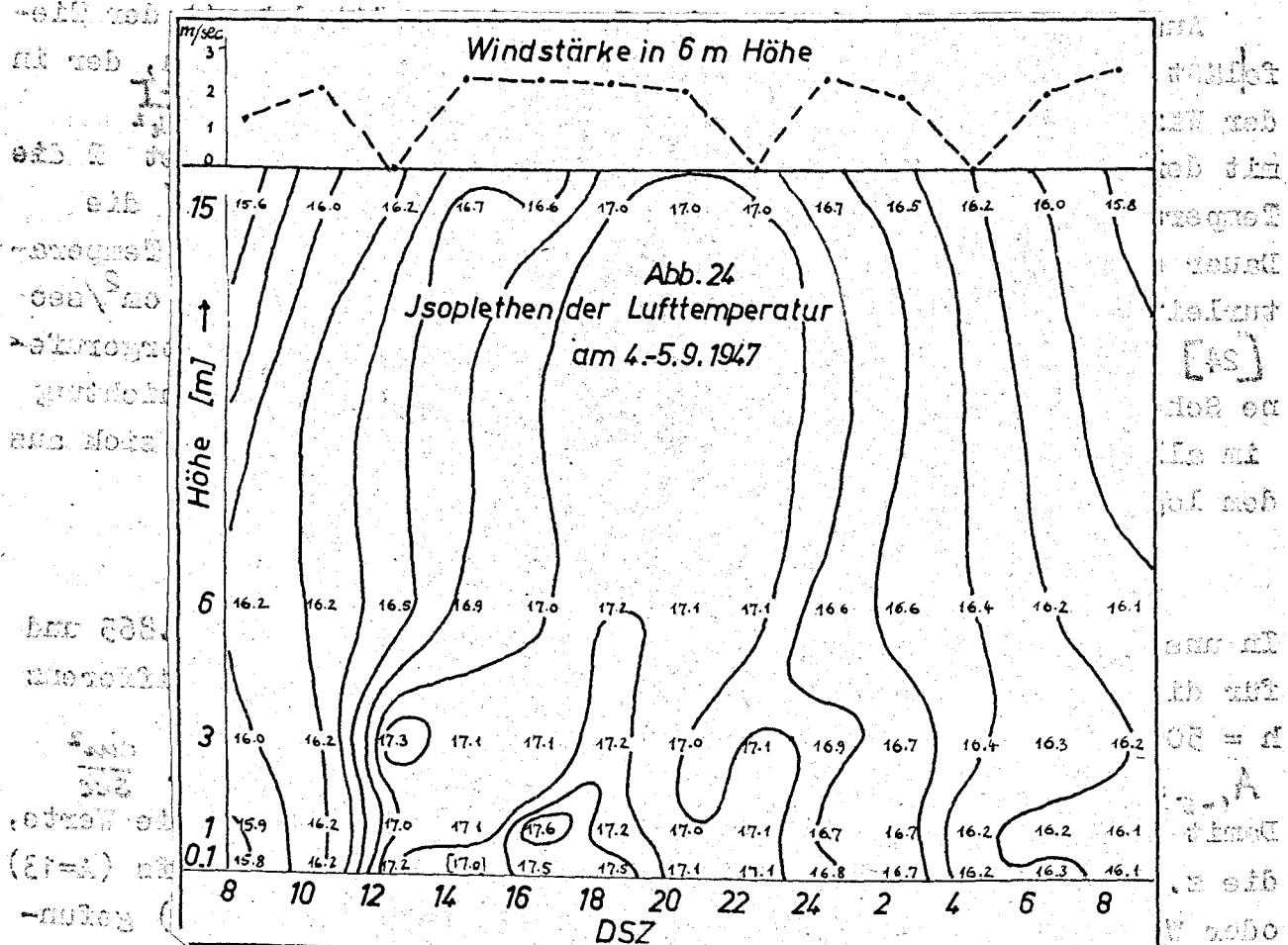
$$A_{0-5} = \frac{25 \cdot 10^4}{0.72 \cdot 864 \cdot 10^4} = 12.3 ; A_{5-10} = \frac{25 \cdot 10^4}{0.22 \cdot 864 \cdot 10^4} = 41.7 \frac{\text{cm}^2}{\text{sec}}$$

Damit liegt die Größenordnung der A in demselben Bereich wie Werte, die z.B. J. Gehrke an der Oberfläche des Bornholmtiefs ($A=13$) oder W. Schmidt (nach Knott) im Mittelmeer ($A=42$) gefunden haben. [25] Die Zunahme mit der Tiefe lässt auf eine im Mittel etwas größere Stabilität der Schicht 0-5 m gegenüber der Schicht 5-10 m schließen, jedoch ist bei der letzteren bereits eine Beeinflussung durch die darunterliegenden gestörten Schichten möglich,

à überzeugend sich hier die Wirkung zeigt, daß es bei gleicher Stärke
Windes um einiges kühler wird als im Hafen selbst ausfällt. Weil
dieser Unterschied sehr groß ist und natürlich nicht nur durch die
verschiedenen Höhen der Beobachtungsstationen bedingt ist, so
wird er höchstens auf die unterschiedliche Ausbildung der
Windgeschwindigkeit und auf die unterschiedliche Temperatur
der Luft zurückzuführen sein. (Seite 55) Dagegen kann man nicht ohne
weiteres den Winddruck auf die Wetterlage ausschließen, da er
nicht nur die Windgeschwindigkeit beeinflusst, sondern auch die
Temperatur und Feuchtigkeit.



Die Windgeschwindigkeit und die Temperatur sind also nicht unbedingt gleichzeitig niedrig oder hoch, sondern sie ändern sich zeitlich.



Leider hat diese Karte leider nicht viele Winddaten mitgebracht, aber es ist zu erkennen, daß es in der Nähe des Hafens eine starke Abkühlung der Luft gibt, während sie weiter nach Norden geht, wird sie wieder erwärmt. Es ist zu erkennen, daß die Temperatur in der Nähe des Hafens niedriger ist als im Landesinneren.

die mit einer größeren Temperaturamplitude auch ein größeres A vor-täuschen.

2.) Die vertikale Verteilung der Lufttemperatur am Feuerschiff.

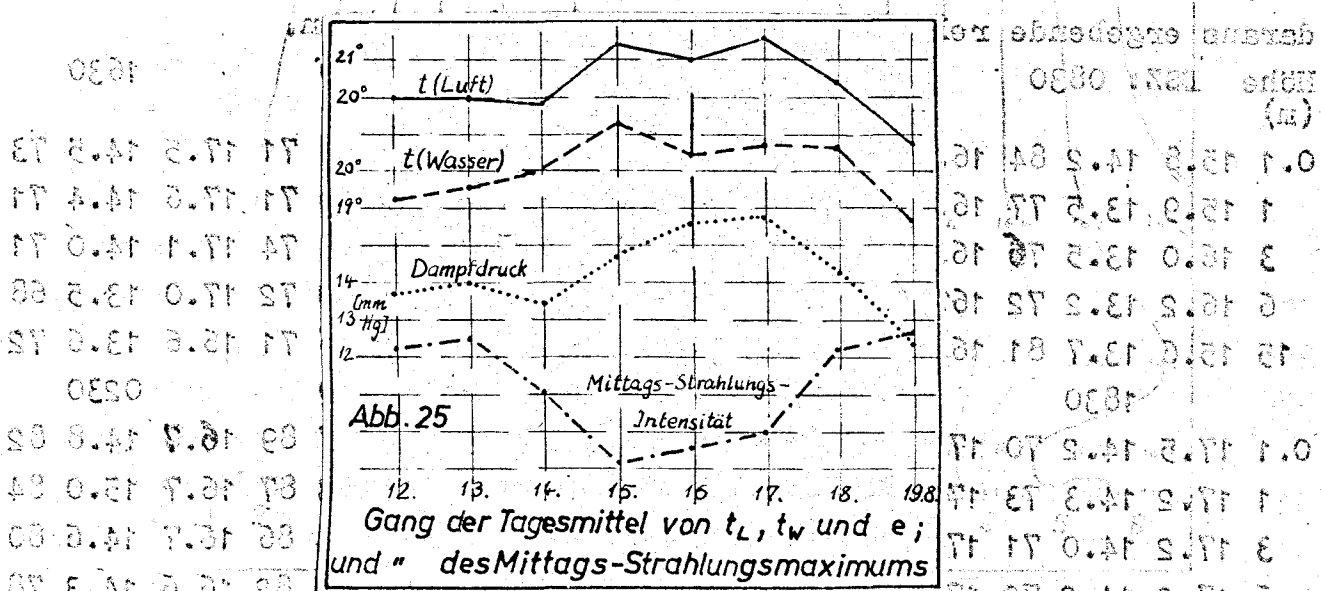
Um einen Anhalt für die Vergleichbarkeit der Lufttemperaturen in Deckshöhe mit denen der der Wasseroberfläche unmittelbar aufliegenden Schichten und der höheren Luftsichten zu erlangen, wurde an einem ruhigen, heiteren Tage gegen Ende der Sommerperiode (am 3.-4.9.47) als zusätzliches Beobachtungsprogramm alle zwei Stunden innerhalb eines Zeitraumes von 24 Stunden die Lufttemperatur in 5 verschiedenen Höhen nahezu gleichzeitig gemessen. Die Messungen erfolgten mittels zweier Aßmann'scher Aspirations-Psychrometer, die gleichzeitig in zwei Höhen aspiriert wurden, und zwar zuerst in 0.2 und 3 m, darauf in 1 und 6 m und anschließend in 15 m Höhe. Die Standorte wurden so ausgewählt (s. Skizze Abb. 23), daß der Einfluß des Schiffskörpers möglichst weitgehend ausgeschaltet wurde, d.h. die Psychrometer wurden in Luvrichtung und mit der Öffnung nach Luv ausgebracht und vor unmittelbarer Bestählung geschützt. Der schwache Wind (im Mittel 2-3 m/sec) sorgte ohne merklich störende Turbulenz für genügende Zufuhr von schiffsfremder Luft, ohne jedoch unter den gegebenen Bedingungen eine Gewähr dafür zu bieten, daß der störende Einfluß des Schiffskörpers hinreichend ausgeschaltet werden konnte (s.u.). Die Ergebnisse (einschließlich der Feuchtemessungen) folgen tabuliert, die Temperaturverteilung außerdem in einem Isoplethendiagramm (Abb. 24).

In der Tabelle sind nebeneinander links die Temperatur des trockenen, in der Mitte die des feuchten Thermometers und rechts die sich daraus ergebende relative Feuchtigkeit in % angegeben.

Höhe (m)	DSZ: 0830	1030	1230	1430	1630
0.1	15.8	14.2	84	16.2	14.0
1	15.9	13.5	77	16.2	13.8
3	16.0	13.5	76	16.2	13.6
6	16.2	13.2	72	16.2	13.4
15	15.6	13.7	81	16.0	13.3
	1830	2030	2230	0030	0230
0.1	17.5	14.2	70	17.1	14.2
1	17.2	14.3	73	17.0	14.4
3	17.2	14.0	71	17.0	14.2
6	17.2	14.2	72	17.1	14.2
15	17.0	13.8	70	17.0	14.0
	72	73	74	73	73
	17.0	14.0	72	17.0	13.9
	71	71	71	71	71
	16.7	14.5	79	16.7	14.3
	79	79	78	78	78
	14.5	13.6	78	14.7	13.6
	78	78	78	78	78
	14.3	13.6	78	14.7	13.6
	79	79	79	79	79
	14.3	13.6	79	14.5	13.6
	79	79	79	79	79

noch nicht

• Schichtung der Atmosphäre nach physikalischen Gesichtspunkten (s. 1.2.)
 - verschiedene Schichten der Atmosphäre haben eine unterschiedliche physikalische Zusammensetzung und verhalten sich nach dem unterschiedlichen physikalischen Prinzip (z.B. Wärmeleitung, Schwerer Fall, thermische Expansion, Schallgeschwindigkeit usw.) verschieden.
 • Schichtung ist ein wichtiges Merkmal, um die Wetterverhältnisse zu verstehen.
 • Es gibt verschiedene Schichten, die nach ihrer physikalischen Art benannt werden:
 - Die Troposphäre ist die unterste Schicht und besteht aus einem dichten Gemisch aus Wasser- und Kohlendioxidmolekülen, die durch die Sonnenstrahlung aufgewärmt werden. Sie hat eine Temperatur von ca. 20°C bei 1000 m Höhe und sinkt auf ca. 15°C bei 10000 m Höhe.
 - Die Stratosphäre ist eine Schicht, die zwischen 10 und 50 km Höhe liegt und eine Temperatur von ca. 25°C aufweist.
 - Die Mesosphäre ist eine Schicht, die zwischen 50 und 85 km Höhe liegt und eine Temperatur von ca. 15°C aufweist.
 - Die Thermosphäre ist eine Schicht, die zwischen 85 und 500 km Höhe liegt und eine Temperatur von ca. 100°C aufweist.
 - Die Exosphäre ist die äußerste Schicht und besteht aus einem dichten Gemisch aus Wasser- und Kohlendioxidmolekülen, die durch die Sonnenstrahlung aufgewärmt werden. Sie hat eine Temperatur von ca. 1000°C bei 100000 m Höhe.



Höhe (m)	DZT: 0430	- 0630	0830
0.1	16.2 14.3 82	16.3 14.5 83	16.1 14.2 82
1	16.2 14.6 84	16.2 14.3 82	16.1 14.2 82
3	16.4 14.0 77	16.3 13.8 76	16.2 14.1 81
6	16.4 13.9 76	16.2 13.8 77	16.1 13.7 77
15	16.2 13.8 77	16.0 13.8 79	15.8 13.1 74

Zur Vervollständigung ist über der Darstellung der Gang der Windstärke zu den einzelnen Terminen angegeben, der ein dreimaliges Abflauen auf völlige Windstille erkennen lässt. Die Oberflächen-WasserTemperaturen betragen während des gleichen Zeitraumes anfangs rd. 17.5° , ab 20 Uhr dann etwa $17 \dots 16.5^{\circ}$ (s. Tabellen).

Das nachmittägliche Temperaturmaximum liegt um 1630 Uhr DZT (entsprechend etwa 1500 Uhr mittl. Ortszeit) in 1 m Höhe mit 17.6° ; in 15 m Höhe hat es sich unter Erniedrigung auf 17.0° auf rd. 1900 Uhr Ortszeit verschoben. Die Minima scheinen dagegen nahezu gleichzeitig in allen Höhen um morgens 07 Uhr Ortszeit einzutreten. Bemerkenswert ist die Verfälschung der Temperaturen in Deckshöhe (3 m), die trotz aller Vorsichtsmaßregeln bei Windstille durch die Abstrahlung des Schiffskörpers in dessen Umgebung auftritt, die Störungen des Temperaturfeldes um 11 und 21 Uhr Ortszeit sind ein deutlicher Beweis dafür. Um 11 Uhr, d.h. zu einer Zeit mit starker Einstrahlung, erreicht die Verfälschung etwa $\pm 0.4^{\circ}$, während sie um 21 Uhr DZT nur noch rd. $\pm 0.1^{\circ}$ beträgt. Bei der Windstille nachts um 03 Uhr ist keine Störung zu erkennen, offenbar ist die überschüssige Wärme des Schiffskörpers zu dieser Zeit bereits abgestrahlt.

3.) Die Strahlungs-Aktinogramme (Tafel 6).

Zur weiteren Ergänzung des Beobachtungsmaterials sind im Anhang Kopien der Aufzeichnungen des Aktinographen aus der Sommerperiode angefügt; das während des gesamten Zeitraumes herrschende heitere Strahlungswetter ist deutlich zu erkennen. Verfolgt man die (relative) Höhe des mittäglichen Strahlungsmaximums in der Zeit vom 12.-19.8., so zeichnen sich die Tage vom 15.-17.8. gegenüber den vorher und nachher liegenden Tagen durch eine merkliche Verminderung der Maxima aus. Die Ursache wird klar, wenn man den durch den Luftmassenwechsel am 14.8. hervorgerufenen Anstieg der Luft- und Wassertemperaturen und die damit verknüpfte Erhöhung des Dampfdruckes berücksichtigt: Der erhöhte Wasserdampfgehalt der Luft bewirkt eine stärkere Strahlungsabsorption und damit den Rückgang des täglichen Maximums (Vgl. Abb. 25).

An einigen Tagen mit reiner Konvektionsbewölkung ist deutlich das Dewölkungsmaximum etwa 1-2 Stunden nach Erreichen des Strahlungsmaximums zu erkennen; hierbei handelt es sich um die über dem nahen Festland entstandene Cumulusbewölkung, über dem höchsten Massenver-

Quellenanachweis

(Die Ziffern in eckigen Klammern beziehen sich auf die entsprechenden Hinweise im Text)

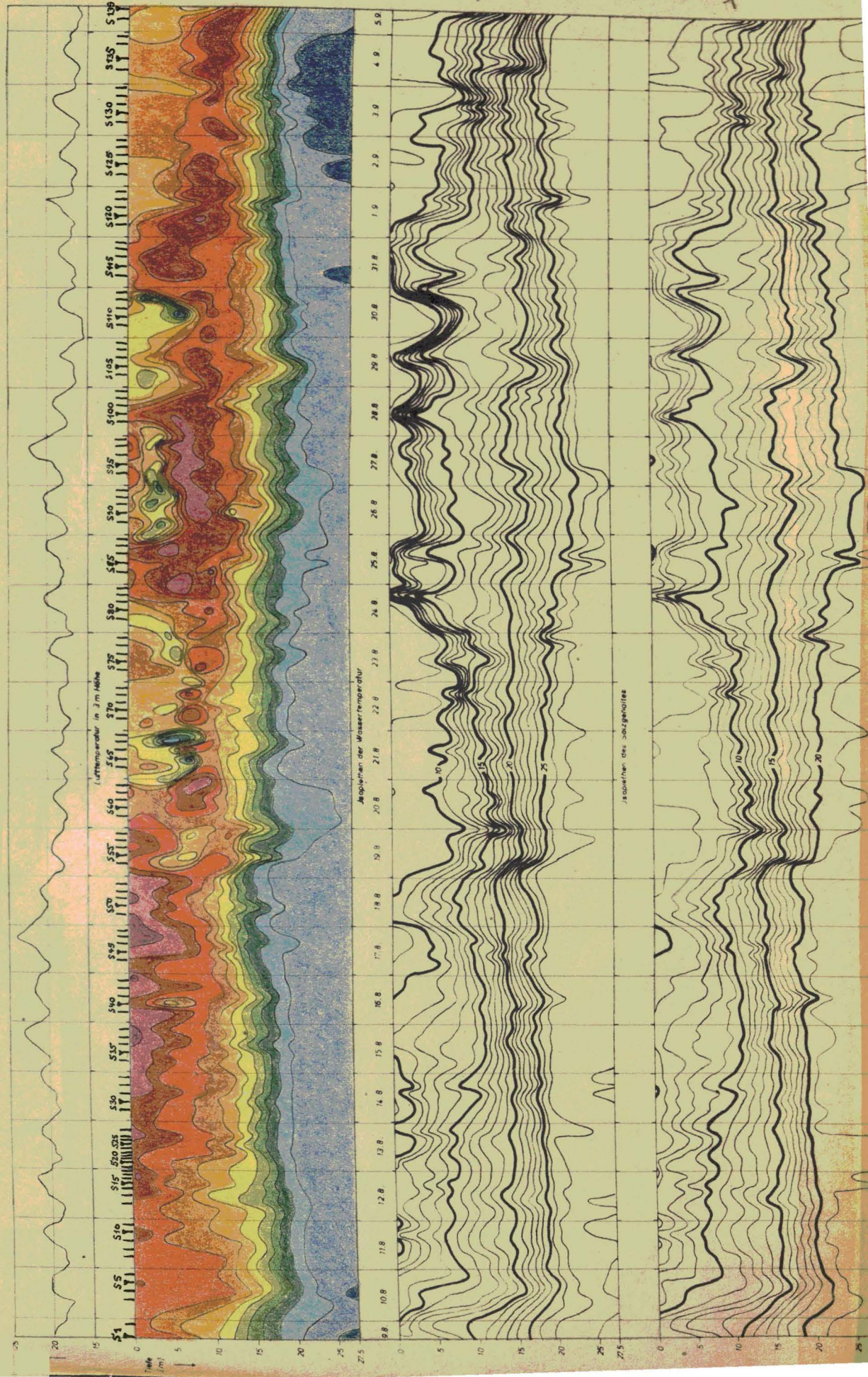
- [1] G. F. Fußgörßen : Mittelwerte längerer und kürzerer Beobachtungen des Salzgehaltes bei den Feuerschiffen im Kattegat und in der Beltsee. Ann.d.Hydrogr. 1940, S.373 ff.
- [2] H. Wittenberg : Über die Grenzen zwischen Nord- und Ostseewasser. Ann.d.Hydrogr. 1941, S.265 ff.
- [3] W. Kanegold : Die Wetterabhängigkeit der Oberflächenströmungen in den Pforten der Ostsee. A.d.Arch.d.Dtsch. Seewarte, Bd.54, Nr.4, 1936
- [4] L. Möller : Wasserschichtung und -Bewegung in Meerengen. Ann.d.Hydrogr. 1931, S.7 ff.
- [5] H. Kallie : Über die innere thermische Unruhe des Meeres. Ann.d.Hydrogr. 1942, S.383 ff.
- [6] G. Neumann : Stehende zelluläre Wellen im Meere. Die Naturwissenschaften 1946, S. 282 ff.
- [7] F. Model : Turbulenz - ein Beispiel aus der Meereskunde. Ann.d.Hydrogr. 1944, S. 97 ff.
- [8] A. Herrz : Die Oberflächentemperatur der Gewässer, Methoden und Ergebnisse. Veröff.d.Inst.f.Meeresk.d.Univ.Berlin, Neue Folge, Geogr.-naturw.Reihc, Heft 5, 1920
- [9] M. Knudsen : Hydrographische Tabellen, Kopenh./Hambg. 1901
- [10] Deutsche Seewarte : Meereskundliche Beobachtungen auf deutschen Feuerschiffen der Nord- und Ostsee, seit Jahrgang 1924, Hamburg.
- [11] A. Schumacher : Graphische Ermittlung von Θ_t aus t ($^{\circ}C$) und S ($/\text{oo}$). Ann.d.Hydrogr. 1922, S.305 ff.
- [12] a): A. Schumacher : Beobachtungen über die Deviation der Kompaßnadel im Ekman-Strommesser. Ann.d.Hydr. 1923, 143 ff.
b): H. Thordae : Schiffsmagnetismus und Ekman-Kerz-Strommesser. Ann.d.Hydrogr. 1923, S.146 ff.
c): H. Thordae : Zur Kenntnis der Deviation bei Strommessungen. Ann.d.Hydrogr. 1927, S.135 ff.
d): K. Lüders : Die Ablenkung (Deviation) der Kompaßnadel in Strömungsmessern mit magnetischer Richtungsanzeige. Ann.d.Hydrogr. 1940, S. 163 ff.
- [13] G. Neumann : Triftströmungen an der Oberfläche bei Adlergrund-Feuerschiff. Ann.d.Hydr. 1939, S. 82 ff.
- [14] J.P. Jacobsen : Die Wasserumsetzung durch den Øresund, den Großen Belt und den Kleinen Belt. Medd.f.Komiss.f. Havunders., Ser.Hydrogr., Bd.II, Nr.9, Kopenhagen 1925
- [15] R. Wittling : Hafsytan, geoidytan och landhöjningarna utmed baltiska havet och vid nordsjön. Fennia Bd.39, Nr.5, 1918
- [16] G. Dietrich : Referat über eine unveröffentlichte Arbeit, gehalten im Rahmen des meereskundlichen Kolloquiums des Kieler Instituts für Meereskunde am 12.5.48.
- [17] Meteorologisches Amt für Nordwestdeutschland, Täglicher Wetterbericht, Jahrgang 72/73, Hamburg.

- [18] A. D e f a n t / G. W u s t : Die Mischung von Wasserkörpern im System $S=f(t)$. Rapp. et proc.-verb. d. réunions d. cons. perm. int. p. l'expl. de la mer, Vol. LXVII, S. 40ff, Kopenh. 1930
- [19] H. W a t t e n b e r g : Der hydrographisch-chemische Zustand der Ostsee im Sommer 1939. Ann. d. Hydr. 1940, S. 185 ff.
- [20] F.A. F o r c l : Le Léman, Monographie limnol., Lausanne 1895
- [21] G. R e u m a n n : Eigenschwingungen der Ostsee. A. d. Arch. d. Dtsch. Seewarte u. d. K. Obs., Bd. 61 Nr. 4, Hamburg 1941
- [22] R. S i t t i n g : Tidvattnen i Östersjön och Finska Viken. Fennia Bd. 29, Helsingfors 1911.
- [23] A. D e f a n t : Dynamische Ozeanographie. (Einführung in die Geophysik Bd. III), Berlin 1929. S. 206.
- [24] W a n n - S ü r i n g : Lehrbuch der Meteorologie, 5. Aufl., Bd. I, S. 106. Leipzig 1943.
- [25] H. T h o r a d e : Ungeordnete Bewegung und Mischung im Meere. Die Naturwissenschaften, 1923, S. 1001 ff.

W e i t e r e s S c h r i f t t u m :

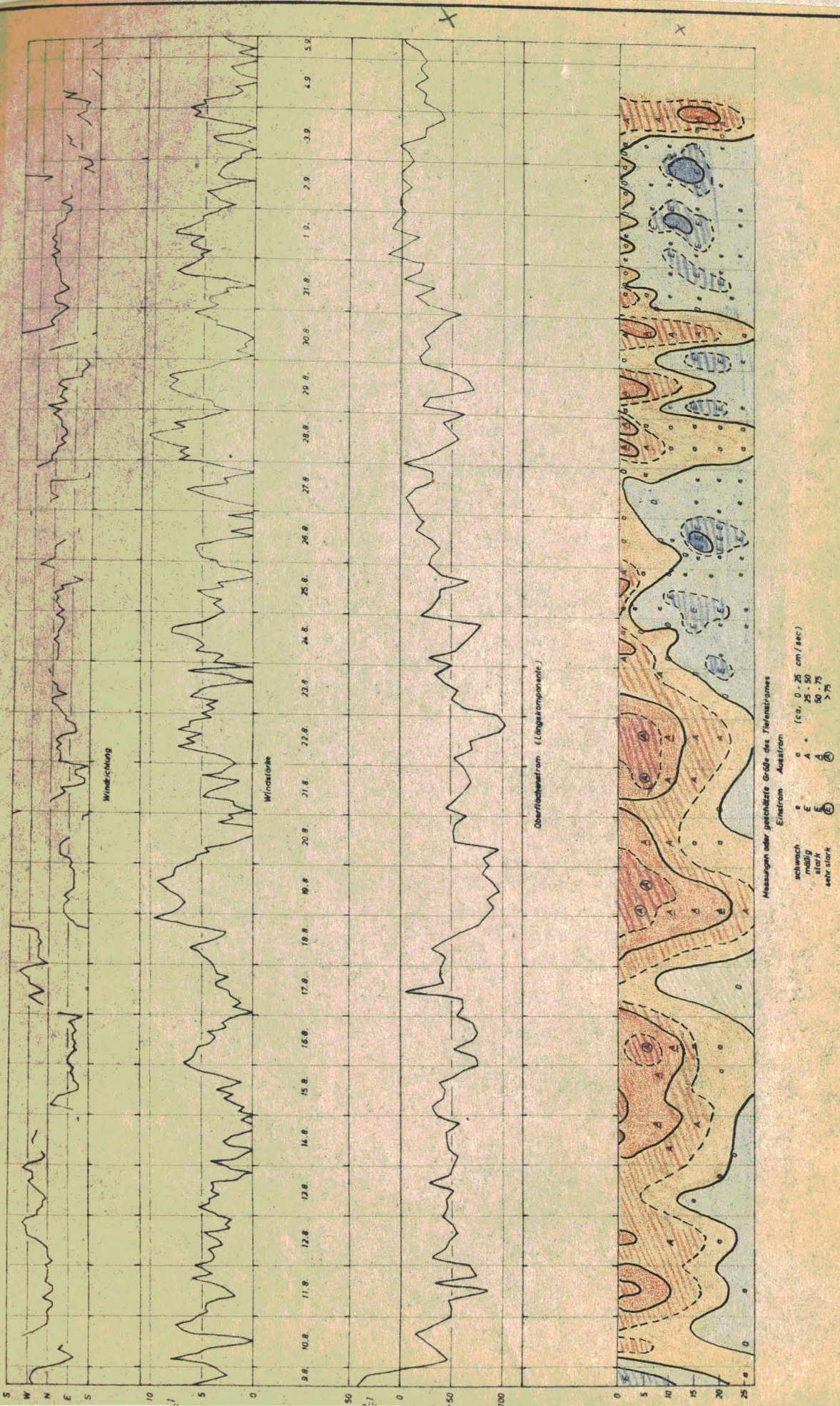
- O. C a r p : Der Fehmarnbelt im Aug. u. Sept. 1909, Diss. Berlin 1912
- J.P. J a c o b s e n : Die Wasserbewegung in den Verbindungsstrassen zwischen der Ostsee und dem Kattegat. V. Hydrol. Konf. d. balt. Staaten, Mitt. 98, Helsingfors 1936.
- Bj. H e l l a n d - H a n s c h : Nogen hydrografiske Metoder. Kristiania 1916.
- K. K n u d s e n : Der Baltische Strom und der Salzgehalt im Kattegat und in westlichen Teil der Ostsee. Ann. d. Hydr. 1901, S. 226 ff.
- R. K o c h l i s a n n : Beiträge zur Kenntnis der Strömungen der westlichen Ostsee. Wiss. Meeresunters. Bd. 8, S. 189 ff., Kiel 1905
- O. K r ü n n e l : Handbuch der Ozeanographie, Bd. II, Stuttgart 1911.
- E. R u p p i n : Beitrag zur Hydrographie der Belt- und Ostsee. Wiss. Meeresunters. Bd. 14, S. 205 ff., Kiel 1912.
- O. v. S o c h u b e r t : Die Frage des Wasseraustausches zwischen Nord- und Ostsee. VI. Hydrol. Konf. d. balt. Staaten, Berlin 1938.
- B. S c h u l z : Der Wasseraustausch zwischen Nord- und Ostsee. Petermanns Mitt., Gotha 1930
- H. S p e c t h m à n n : Studien zur Ozeanographie des südwestlichen Ostsee. Int. Revue d. ges. Hydrobiol. u. Hydrogr., Bd. V., Hydrogr., S., 3. Serie. Leipzig 1913.
- G. T h i e l : Strombeobachtungen in der westlichen Ostsee. A. d. Arch. d. Dtsch. Seewarte u. d. K. Obs., Bd. 58, Nr. 7.
- G. T h i e l : Einiges über die Ergebnisse von Strombeobachtungen in der westlichen Ostsee. Ann. d. Hydrogr. 1943, S. 226 ff.
- H. T h o r a d e : Über den Gezeitenstrom im Fehmarnbelt. Ann. d. Hydrogr. 1943, S. 231 ff.

Tafel 1

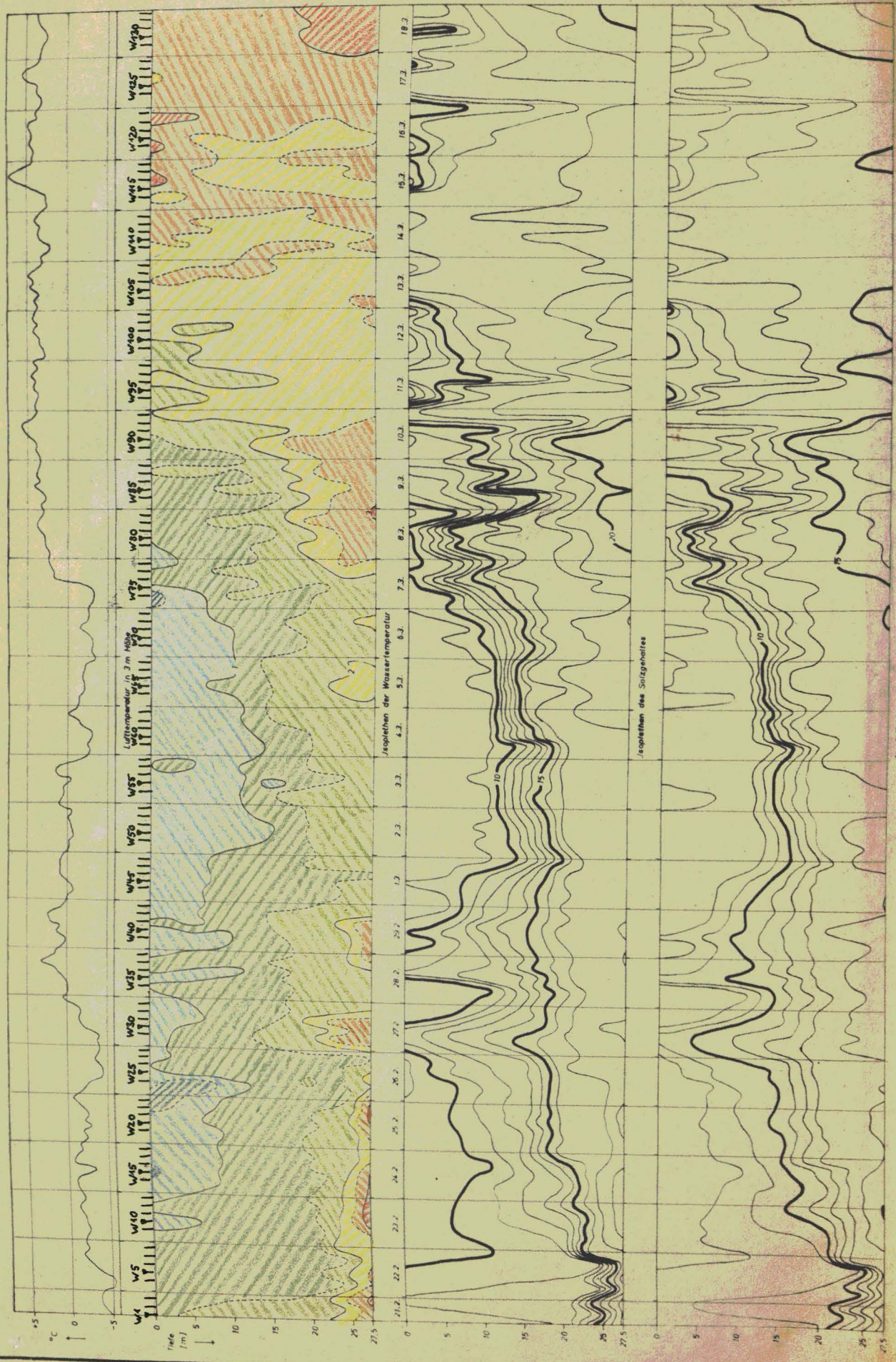


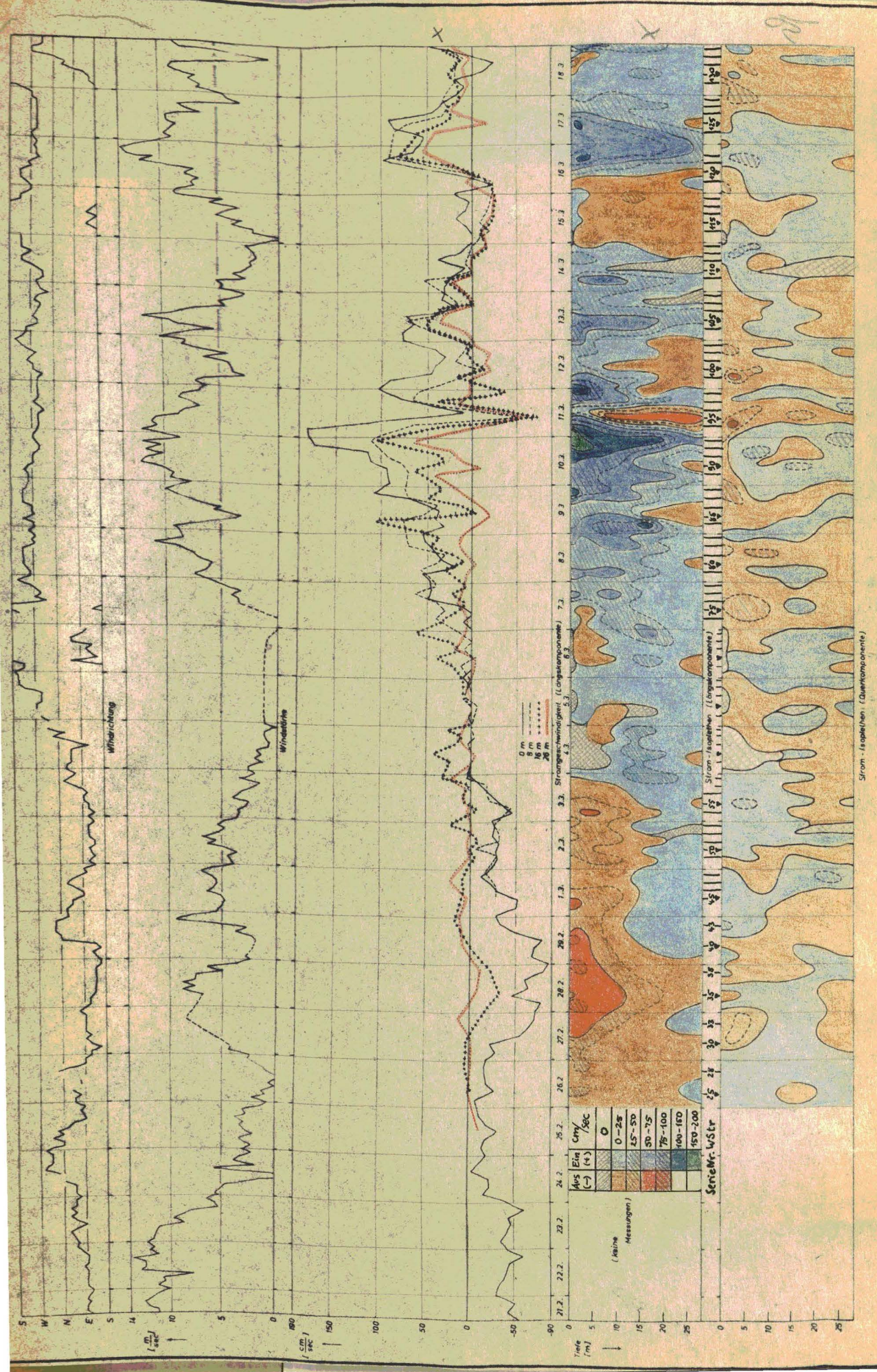
Tafel 2

1948 - 1949



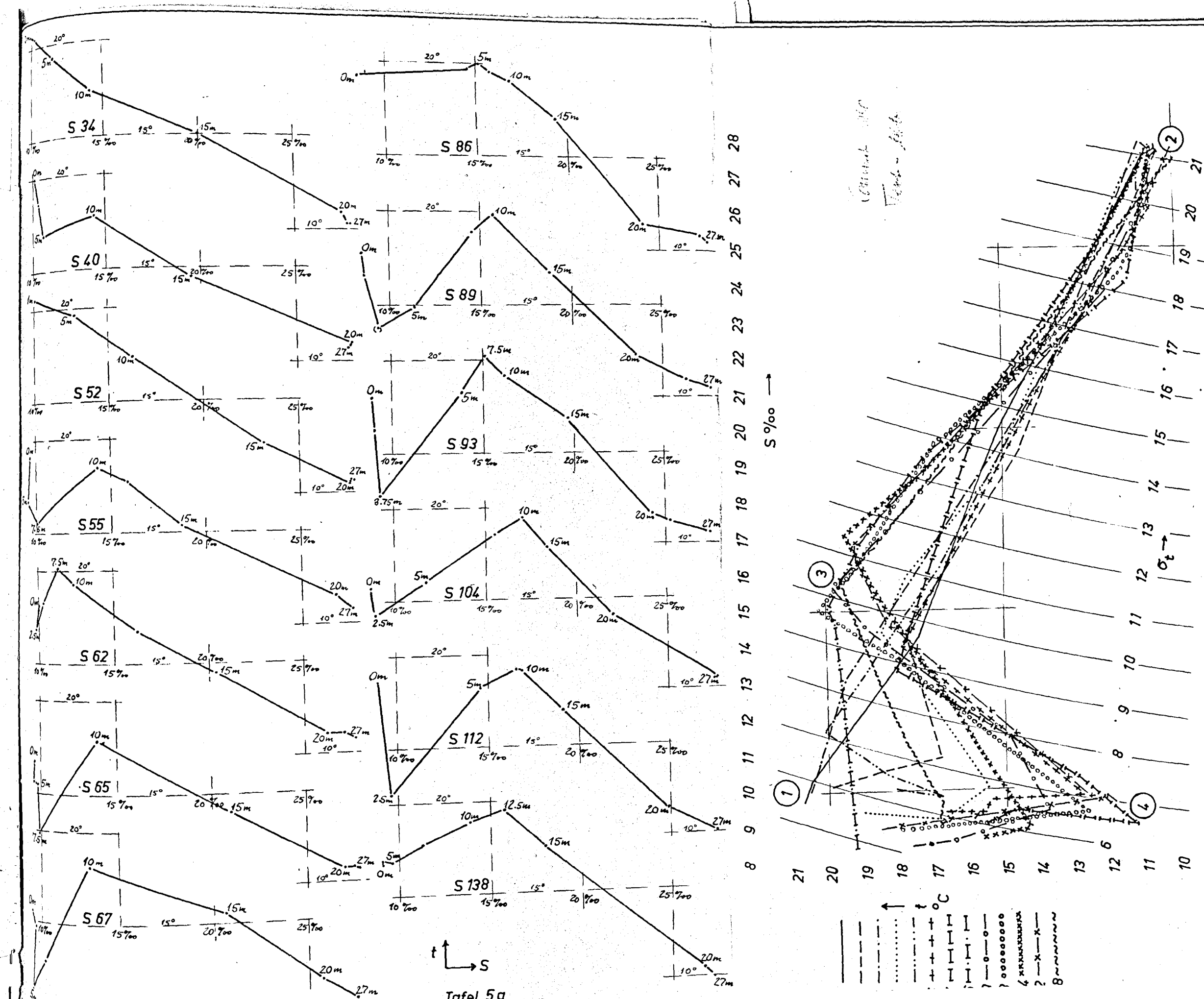
Tafel 3



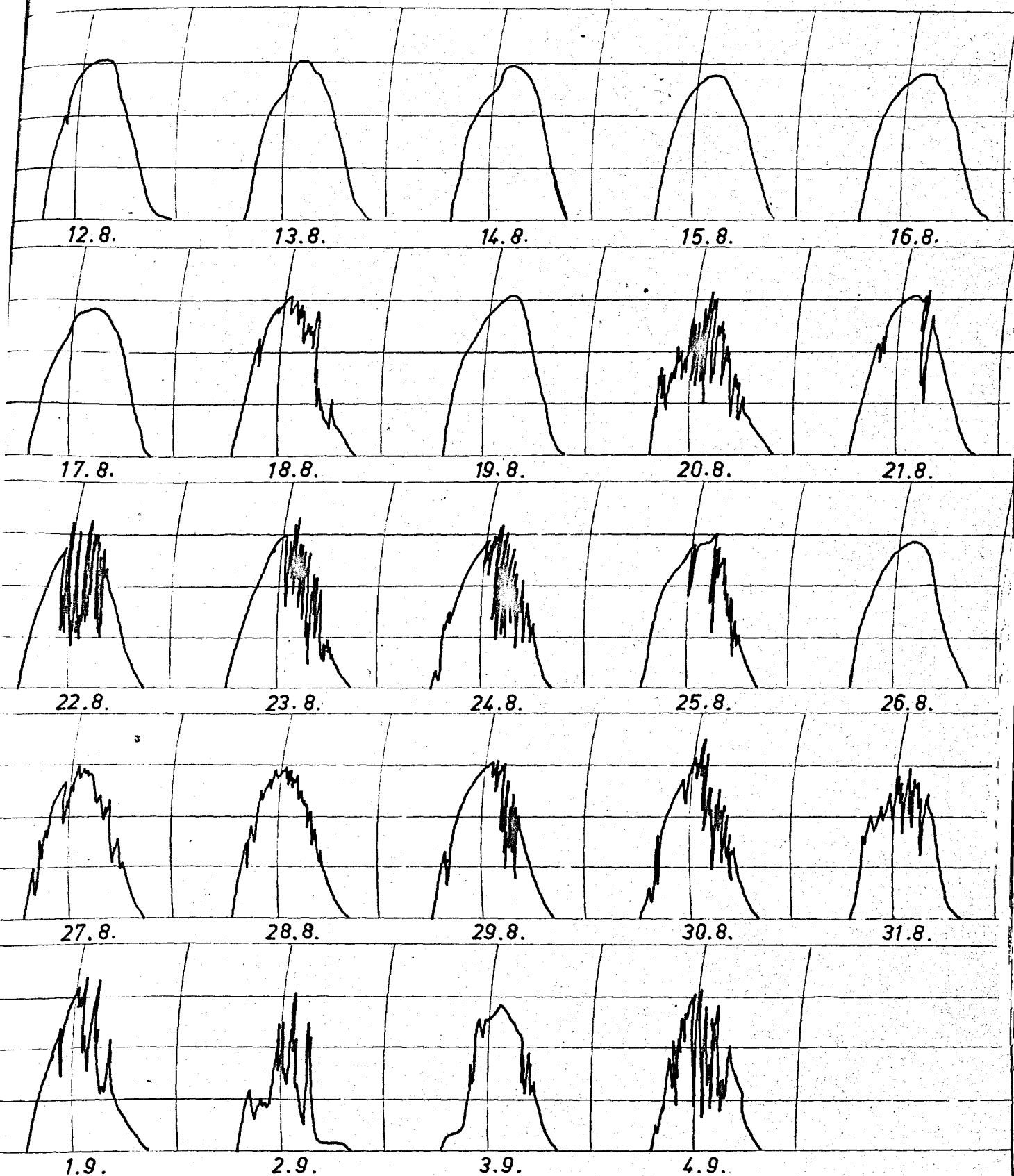


$S = f(t)$ -Diagramme (Übersicht)

Tafel 5b



Tafel 6



Strahlungs - Aktinogramme

Feuerschiff „Fehmarnbelt“ , 12.8.-4.9.1947

T a b e l l e n d e r M eß w e r t e

(Erläuterungen s. Seite 12 ff.)

9.8.47

02 WNW	04 WNW	06 WNW	08 NW	10 NW	12 NWzW	14 W	16 WNW	18 WzN	20 WNW	22 NW	24 NNE
8.8 8.6	5.6	5.4	5.5	5.7	8.8	5.4	3.7	Bf2	Bf3	Bf3	
293		276		270		270			248		184
72		33		45		45			48		30
				41		41			33		-11
				-19		-19			-35		-28
16.3	16.1	16.3	16.5	16.6	18.5	19.4	18.5	19.3	19.5	18.1	18.1

S 1 (1430)

0	1842	1722	117	S 2 (2030)
0.5	1837	1705	116	1865 1665 116
5	1810	1721	117	1707 1954 137
10	1618	2061	147	1646 2016 143
15	1336	2427	181	1344 2420 280
20	1118	2734	208	1134 2717 207
25	1000	2801	215	—
27.5	962	2870	221	1007 2810 216

10.8.47

02 E	04 ESE	06 E	08 NE	10 ENE	12 ENE	14 WSW	16 NW	18 NWzN	20 N	22 N	24 N
Bf3	8.1	5.6	5.0	3.2	0.2	1.8	5.8	7.2	7.6	6.0	5.3
138		146		155			105		80		107
50		43		32			15		43		50
-46		-37		-25			-15		-35		-49
-20		-22		-21			3		25		7
18.5	18.0	18.0	17.5	18.1	19.0	20.2	18.9	20.6	20.2	18.7	18.5

	S 3 (0830)			S 4 (1230)			S 5 (1630)			S 6 (2030)		
0	1830	1330	87	1897	1360	88	1900	1371	89	1876	1378	90
0.5	1831	1359	89	1887	1342	87	1906	1375	89	—	—	—
5	1825	1590	107	1835	1567	105	1860	1495	99	1862	1371	90
10	1786	1703	117	1851	1649	111	1837	1595	107	1805	1595	108
15	1510	2138	155	1649	1938	137	1619	1916	136	1561	2036	146
20	1200	2573	194	1235	2521	190	1250	2488	187	1206	2591	196
24	1116	2692	206	1049	2747	211	1048	2770	212	1045	2774	213
27.5	1013	2788	213	980	2835	218	1001	2813	216	1004	2815	216

11.8.47

02 N	04 NNE	06 NNE	08 NNW	10 N	12 NNE	14 NNE	16 NzW	18 N	20 N	22 N	24 NzW
4.5	4.7	4.6	3.7	1.8	2.3	2.9	4.0	6.0	4.1	4.6	5.7
135		113		113			138		107		84
53		47		85			37		75		78
-50		-47		-85			-34		-74		-67
-18		2		3			-15		10		40
18.1	17.5	17.6	18.5	18.7	20.5	20.7	22.4	21.1	20.5	19.4	18.7

0 S 7 (0515)	S 8 (0900)	S 9 (1245)	S 10 (1645)	S 11 (2045)
1789 1005	64 1812	980 61 1909	964 58 2005	1196 73 1884 976 59
5 1814 1385	92 1816	1401 93 1779	1416 95 1766	1451 98 1840 1370 90
10 1836 1620	109 1770	1746 120 1770	1774 122 1710	1794 125 1680 1769 124
15 1536 2026	146 1590	2017 145 1594	2044 146 1553	2059 1048 1540 2028 146
20 1181 2639	200 1165	2655 201 1145	2691 205 1156	2662 202 1161 2682 203
24 1023 2777	213 1030	2766 212 1030	784 214 1025	2797 215 1007 2812 216
27.5 1011	2797 215 1010	2775 213 1008	2792 215 1003	2804 216 1005 2812 216

12.8.47

02	04	06	08	10	12	14	16	18	20	22	24
NNE	N	N	N	NNW	NW	W	W	W	WSW	W	NW
4.1	3.9	Bf3	4.4	3.0	3.3	4.2	4.8	2.3	2.7	2.1	3.5
	135		102		110		135		132		135
	33		45		47		58		52		43
	-31		-44		-47		-55		-50		-40
	-11				4		-20		-15		-15

18.7 18.5 18.5 19.2 18.9 20.3 20.8 20.9 21.6 21.7 20.5 20.0

S 12 (0515) S 13 (0915) S 14 (1245) S 15 (1600) S 16 (1800)

0 1875 1167 74 1896 1146 72 1927 1148 71 1972 1146 70 1984 1239 77

1 - - - - - - 1974 1149 71 1983 1239 77

5 1744 1409 95 1794 1424 95 1869 1322 86 1737 1420 96 1839 1267 82

10 1710 1668 116 1611 1734 122 1571 1776 126 1698 1671 116 1672 1651 115

15 1568 2030 146 1445 2176 160 1471 2118 155 1473 2064 150 1497 2016 146

20 1200 2610 197 1194 2608 197 1185 2633 199 1130 2638 201 1140 2660 202

24 1028 2781 213 1040 2807 215 1030 2783 213 1034 2732 209 1032 2642 202

27.5 1012 2793 215 1018 2799 215 1026 2792 214 1030 2725 209 1030 2723 209

S 17 (2000) S 18 (2200) S 19 (2400)

0 1994 1104 67 1950 987 58 1914 893 52

1 2004 1167 71 1950 1055 64 1914 1234 78

5 1812 1288 85 1901 1292 83 1850 1303 85

10 1662 1678 117 1683 1609 112 1694 1656 115

15 1510 2032 147 1350 2182 162 1376 2099 178

20 1115 2646 202 1122 2633 200 1084 2671 204

24 1030 2736 210 1032 2723 209 1034 2705 207

27.5 1026 2732 210 1026 2736 210 1025 2734 210

13.8.47

02	04	06	08	10	12	14	16	18	20	22	24
NW	NNW	NNW	NzW	NNW	NW	WNW	W	WNW	WNW	WSW	W
4.2	5.3	4.3	4.3	3.3	4.1	3.9	4.1	1.4	0.9	2.1	2.7
	101		141		141		135		135		135
	47		50		58		30		52		55
	-46		-45		-52		-28		-49		-52
	11		-22		-25		-10		-18		-19

19.8 18.9 18.2 19.5 19.2 19.4 20.2 20.7 22.6 21.0 20.2 20.2

S 20 (0200) S 21 (0400) S 22 (0600) S 23 (0800) S 24 (1000)

0 1899 900 53 1917 1050 64 1927 1111 69 1908 949 57 1927 976 58

1 1933 1230 78 1897 1230 78 1932 1111 69 1912 947 56 1928 960 57

5 1855 1304 85 1805 1342 89 1802 1362 90 1832 1351 89 1790 1350 90

10 1670 1629 113 1670 1669 116 1734 1689 117 1801 1754 120 1827 1747 119

15 1412 2057 151 1529 1996 144 1522 1960 141 1535 1989 143 1451 2048 150

20 1085 2691 205 1109 2667 203 1083 2671 204 1076 2682 205 1077 2685 205

24 1034 2720 209 1037 2711 208 1033 2712 208 1036 2711 208 1044 2707 208

27.5 1024 2720 209 1026 2720 209 1031 2712 208 1030 2711 208 1026 2720 209

S 25 (1200) S 26 (1400) S 27 (1600) S 28 (1800)

0 1959 934 55 1985 906 52 2025 911 51 2008 936 53

1 1963 938 55 1982 913 52 2018 933 53 1993 943 55

5 1906 1223 77 1888 1243 79 1937 1182 74 1833 1408 93

10 1778 1808 125 1789 1774 122 1814 1752 120 1779 1667 114

15 1420 2433 179 1441 2066 151 1493 2032 148 1443 2073 152

20 1095 2718 208 1114 2692 205 1096 2703 206 1099 2772 211

24 1040 2709 208 1040 2730 209 1064 2732 209 1039 2795 214

27.5 1026 2714 208 1030 2741 210 1025 2743 210 1020 2804 215

14.8.47

02	04	06	08	10	12	14	16	18	20	22	24
NNW	NzW	NNW	St	WNW	WNW	NWZW	NW	St	St	SE	St
4.2	1.5	0.6	0	2.6	2.8	2.2	0.9	0	0	1.1	0
	131		135		132		135		129		132
	48		50		47		47		60		38
	-46		-47		-45		-44		-58		-36
	-13		-17		-14		-16		-15		-11
19.4	18.7	18.5	19.2	19.0	19.3	19.5	20.3	21.0	21.0	20.1	20.1
S 29 (o515)	S 30 (o900)	S 31 (1300)	S 32 (1645)	S 33 (2100)							
0 1952	896	52 1979	906	52 2023	895	50 2065	909	50 2036	916	51	
1 1961	903	52 1980	927	53 2020	956	55 2064	911	50 2054	994	57	
5 1867	1279	82 1888	1293	83 1942	1278	81 1881	1315	85 1838	1297	84	
18 1746	1564	107 1733	1499	102 1779	1452	98 1786	1602	109 1803	1544	104	
15 1512	2003	145 1450	2080	152 1504	2028	147 1514	1981	143 1560	2027	146	
20 1093	2731	208 1095	2766	211 1094	2764	211 1099	2759	211 1097	2745	210	
24 1044	2775	213 1060	2778	213 1029	2794	214 1038	2783	213 1031	2795	214	
27.5	1022	2785	214 1019	2807	216 1017	2821	217 1025	2797	215 1021	2806	216

15.8.47

02	04	06	08	10	12	14	16	18	20	22	24
ESE	NZE	NNE	NE	E	SE	SE	ESE	ESE	EzS	ESE	E
1.4	0.9	2.0	2.8	1.9	3.6	1.9	1.0	2.6	4.2	5.7	6.6
	135		124		124		135		124		132
	33		43		45		40		58		80
	-31		-42		-44		-38		-57		-76
	-11		-7		-7		-14		-9		-23
20.6	19.4	19.7	20.6	20.5	21.7	22.4	22.8	23.1	23.0	21.9	21.5
S 34 (515)	S 35 (o900)	S 36 (1300)	S 37 (1645)	S 38 (2045)							
0 2067	972	55 2072	1017	58 2142	1105	63 2167	1137	65 2194	1072	60	
1 2050	1028	60 2070	1037	60 2094	1148	68 2126	1152	67 2089	1123	66	
5 1923	1186	74 1889	1252	80 1979	1281	80 1969	1252	78 1890	1236	79	
10 1739	1425	96 1797	1391	93 1783	1411	94 1818	1378	91 1780	1388	93	
15 1506	1998	145 1523	2008	145 1357	2155	160 1450	2189	160 1457	2120	155	
20 1086	2750	210 1108	2740	209 1086	2726	208 1110	2730	208 1099	2729	208	
24 1032	2779	213 1048	2764	212 1040	2759	212 1057	2763	211 1046	2759	211	
27.5	1030	2788	214 1045	2784	214 1040	2775	213 1052	2789	214 1045	2766	212

16.8.47

02	04	06	08	10	12	14	16	18	20	22	24
E	EzS	SEZ	SEZE	ESE	SEZE	ESE	SEZE	ESE	E	SSE	NE
6.6	5.7	5.6	6.4	4.2	3.9	3.8	4.5	2.6	3.0	2.5	1.3
	129		135		129		129		123		135
	75		55		73		77		72		58
	-73		-52		-71		-75		-71		-55
	-18		-19		-18		-19		-10		-20
20.5	19.9	19.5	20.8	20.8	21.4	21.8	21.6	21.7	21.5	21.3	20.4
S 39 (o515)	S 40 (o915)	S 41 (1245)	S 42 (1645)	S 43 (2030)							
0 2034	1023	60 1999	1011	59 2054	993	57 2081	992	56 2095	975	5	
1 2046	1033	60 1860	1052	66 2034	1008	59 2074	992	56 2105	994	5	
5 2012	1178	72 1684	1091	72 1804	1056	67 1970	1066	64 1832	1082	61	
10 1796	1408	94 1777	1436	97 1844	1353	89 1878	1356	89 1830	1398	9	
15 1411	2100	154 1448	1947	142 1566	2050	148 1442	2089	153 1415	2155	15	
20 1084	2770	212 1098	2794	210 1097	2610	199 1095	2765	211 1074	2769	21	
24 1035	2772	213 1069	2772	212 1069	2783	213 1076	2769	212 1067	2770	21	
27.5	1033	2775	213 1063	2775	212 1062	2769	212 1070	2769	212 1070	2770	21

17.8.47

o2 St o	o4 NNW 1.9	o6 WNW 1.3	o8 W 1.6	lo NNW 2.4	12 NW 2.4	14 W 3.7	16 W 3.6	18 WSW 2.3	20 SW 3.6	22 W 3.8	24 N 4.0
20.0	19.9	20.9	20.9	21.0	21.5	22.4	24.0	23.4	23.0	22.5	21.7
S 44 (0515)	S 45 (0930)	S 46 (1300)	S 47 (1630)	S 48 (2045)							
0 1980	909 52 2009	874 49 2104	845 45 2174	877 45 2118	875 46						
1 1951	936 55 2011	913 52 2101	868 46 2173	877 45 2120	875 46						
5 1886	947 57 2036	1022 59 2080	994 56 2075	1032 59 2021	1072 64						
10 1825	1503 100 1796	1478 99 1832	1588 107 1774	1547 105 1819	1602 108						
12.5 1689	1668 116 -	1680 1691 118	-	-	-						
15 1300	2284 170 1298	2239 167 1237	2252 169 1289	2238 167 1264	2128 159						
20 1080	2750 210 1075	2761 212 1120	2747 210 1123	2752 210 1041	2778 213						
24 1035	2774 212 1028	2768 213 1052	2754 211 1037	2763 212 1030	2795 215						
27.5 1028	2788 214 1024	2775 213 1026	2774 213 1026	2775 213 1028	2797 215						

18.8.47

o2 NW 4.4	o4 NW 5.1	o6 NW 5.4	o8 NW 6.1	lo NWzN 4.9	12 NW 3.7	14 NW 2.8	16 WNW 2.6	18 SEzE 6.2	20 ESE 7.2	22 E 9.6	24 ENE 8.4
73	77	96	112		135						129
57	40	47	58		82						87
-44	-31	-44	-58		-77						-84
37	25	15	2		-28						-21
21.5 21.0	20.5 20.2	19.5 20.1	20.7 20.5	21.8 20.5	20.5 20.3	20.0 20.0	18.7				
S 49 (0515)	S 50 (0900)	S 51 (1300)	S 52 (1645)	S 53 (2100)							
0 2090	1013 58 2054	1048 61 2104	1085 63 2069	-	2040 990 57						
1 2098	1082 62 2069	1093 64 2109	1076 62 2050	998 57 2042	998 58						
5 1881	1298 84 1950	1221 76 1888	1325 86 1950	1304 83 2001	1212 75						
10 1706	1646 114 1669	1664 116 1688	1685 118 1732	1628 112 1740	1642 113						
15 1256	2162 162 1390	2185 161 1260	2221 166 1266	2316 174 1227	2379 179						
20 1043	2760 212 1076	2770 212 1050	2764 212 1046	2766 212 1041	2775 213						
24 1063	2778 213 1070	2774 212 1068	2789 213 1068	2766 212 1057	2793 214						
27.5 1063	2775 212 1070	2786 214 1068	2790 213 1065	2793 214 1059	2797 214						

19.8.47

o2 ENE 7.4	o4 ENE 6.9	o6 E 6.7	o8 ENE 7.2	lo ENE 7.9	12 E 8.2	14 ESE 8.8	16 ESE 9.3	18 ESE 7.8	20 ESE 7.7	22 E 7.6	24 EzS 6.6
131	124	124	124		129		135				117
95	87	98	94		85		88				
-91	-85	-97	-91		-80		-88				
-26	-18	-15	-23		-29		-3				
18.3 18.0	18.0 18.0	18.4 19.2	19.5 19.4	19.4 19.4	19.3 18.7	18.4 18.4	18.1				
S 54 (0515)	S 55 (0915)	S 56 (1300)	S 57 (1800)	S 58 (2215)							
0 1888	926 55 1904	941 56 1879	-	1908 54 1829	931 57						
1 1875	929 56 1906	941 56 1893	911 54 1909	917 54 1840	929 57						
5 1643	999 66 1676	920 59 1872	902 54 1856	943 57 1795	965 60						
7.5 -	1550 1004	68 1640	-	1594 -	1763 -						
10 1843	1364 90 1844	1434 95 1745	-	1718 1279 86	1689 1022 67						
12.5 1861	1613 109 1777	1591 108 1740	-	1799 -	1757 -						
15 1300	2244 167 1534	1869 134 1265	-	1400 1918 141	1688 1738 121						
20 1041	2760 212 1153	2680 203 1152	-	1202 2626 198	1205 2618 198						
24 1060	2772 212 1074	2774 212 1078	2774 212 1084	2665 212 1108	2746 209						
27.5 1060	2774 212 1070	2774 212 1076	2789 213 1082	2783 213 1096	2775 212						

4.9.47

02	04	06	08	10	12	14	16	18	20	22	24
ESE	SE	NzE	ENE	N	St	St	S	SSE	SE	St	St
4.9	5.2	2.0	1.3	2.0	0	0	1.6	2.2	2.5	0.	0
68		76		90			118		103		90
32		30		13			25		18		27
-22		-23		-12			-25		-18		-24
23		19		6			-1		4		11
16.6	16.2	15.4	15.9	16.4	17.2	17.6	17.7	18.1	17.0	16.3	16.5
S 134 (0515)	S 135 (1045)	S 136 (1545)	S 137 (2045)								
0 1716	964	62 1751	926	58 1752	943	60 1700	926	59			
2.5 1734	961	61 1757	941	59 1755	952	60 1670	918	59			
5 1732	961	61 1771	965	61 1774	1016	65 1630	967	64			
7.5 1892	-	1786	1032	65 1830	1165	75 1853	1160	74			
10 1957	1518	99 1902	1386	90 1969	1479	96 1934	1373	88			
12.5 1830	-	1944	-	1934	-	1909	-				
15 1563	2105	152 1779	1720	118 1654	1922	136 1645	1929	137			
20 1030	2706	208 1010	2694	207 1020	2692	206 1024	2703	207			
24 980	2743	211 987	2721	209 993	2725	210 999	2726	210			
27.5 980	2752	212 986	2731	210 990	2740	211 998	2727	210			

5.9.47

02	04	06	08
S	St	SE	SzW
1.8	0	1.8	2.7
75		42	
23		13	
-18		-4	
15		12	
S 17.4 16.2 16.1 15.8	S 138 (0445)	S 139 (0945)	
0 1672	912	59 1704	850 53
2.5 1693	902	58 1713	837 52
5 1682	961	62 1642	887 57
7.5 1774	1122	73 1570	970 65
10 1890	1386	90 1588	980 65
12.5 1958	-	1893	-
15 1752	1799	125 1895	1618 108
20 1050	2692	206 1123	2579 196
24 1001	2732	210 1010	2725 209
27.5 1000	2738	211 1000	2727 210

1.3.48

o2	o4	o6	o8	lo	12	14	16	18	2o	22	24
NNE	NE	NE	E	E	ENE	NNE	NEzE	EzS	E	SE	
5.2	5.0	4.9	5.1	6.3	5.8	5.5	5.5	5.8	6.7	5.9	4.1
101	101			110		101		101	101		113
52	54		30		22			12		22	
-51	-52		-30		-21			-12		-22	
13	13		3		5			3		1	
o.1	-0.7	-0.4	-0.2	0.5	0.6	1.0	0.9	0.8	1.0	0.6	0.3
W 44 (o515)	W 45 (o930)	W 46 (1345)	W 47 (1745)	W 48 (2130)							
0 089	881	708	088	910	731	090	898	721	093	889	715
5 095	908	730	096	934	751	089	898	721	093	889	715
10 109	1146	921	104	1119	900	110	1086	872	110	947	761
15 124	1428	1148	124	1379	1109	118	1344	1080	110	1262	1015
20 138	1695	1361	142	1724	1384	140	1742	1399	168	1672	1341
24 152	1742	1399	153	1732	1391	138	1720	1381	164	1740	1397
27.5 159	1744	1400	155	1732	1391	137	1736	1394	166	1744	1400
										185	1769
										1420	1421

WStr 45(0930)	WStr 46(1400)	WStr 47(1715)	WStr 48(2145)
---------------	---------------	---------------	---------------

2	-	275	27.7	-							
		-26	10								
8	285	28.6	305	27.2	-				310		15.8
	-28	5	-27	-5					-15		-4
16	110	10.0	145	9.3	150			17.3	150		10.8
	10	-1	8	5	10	14		6		9	
26	90	8.6	115	13.7	105	23.1	?				18.7
	8	-4	14	0	23	-4	?				?

2.3.48

o2	o4	o6	o8	lo	12	14	16	18	2o	22	24
ESE	SE	SEzE	ESE	SE	SE	ESE	ESE	ESE	SE	SE	ESE
4.3	4.5	3.8	4.6	6.2	5.6	6.7	5.3	4.8	5.3	4.8	3.8
124	110			110		113		101		99	
28	27		30		23			27		22	
-28	-27		-30		-23			-26		-21	
-4	2		3		1			7		6	
o.0	-0.1	-0.6	-0.6	-1.1	-0.7	-0.3	o.1	o.0	-0.6	1.2	0.9
W 49 (o515)	W 50 (o930)	W 51 (1345)	W 52 (1730)	W 53 (2130)							
0 097	879	706	090	879	706	094	889	714	089	871	700
5 095	887	712	095	889	714	094	891	716	085	879	706
10 086	904	726	081	902	725	084	906	727	084	879	706
15 107	1176	945	099	1182	950	099	1211	972	114	1260	1013
20 151	1691	1357	162	1738	1395	155	1738	1395	157	1742	1399
24 170	1742	1399	168	1750	1405	160	-	159	1742	1399	155
27.5 183	1756	1409	176	1759	1412	160	1759	1412	162	1746	1401
										163	1742
										163	1399

WStr 49(o515)	WStr 50(o915)	WStr 51(1330)	WStr 52(1715)	WStr 53(2115)
2 -	290	29.1	-	-
	-29	3		-29
8 295	29.0	320	5.0 275	33.4 285
	-29	0	-2	11
16 270	5.5	30	5.7 260	8.7 St
	-5	2	-6	5
26 60	~2	80	4.4 125	3.6 St
	1	-2	4	1
			0	0
			0	0

3.3.48

o2	o4	o6	o8	1o	12	14	16	18	2o	22	24	
SE	ESE	ESE	E	E	EzS	E	NE	NzE	NE	NEze	NNE	
3.6	3.7	3.0	2.8	4.1	3.8	3.3	2.2	1.7	3.6	2.3	2.7	
91		84			82		79		51		360	
50		40			28		17		15		4	
-46		-34			-24		-14		-7		2	
20		21			15		10		14		4	
1.0	0.6	0.5	0.6	-0.5	1.3	1.3	1.5	1.0	-0.1	-2.6	-2.7	
W 54 (0530)	W 55 (0930)	W 56 (1330)	W 57 (1730)	W 58 (2130)								
082	859	690	-	089	881	707	100	883	710	093	885	711
080	867	697	079	883	709	083	887	717	100	883	710	100
090	879	706	085	883	709	087	908	729	093	902	725	080
-	110	1148	923	-	-	-	-	-	-	-	-	-
161	1426	1146	085	1377	1107	120	1373	1103	127	1365	1098	121
157	1715	1377	153	1736	1395	148	1738	1396	153	1728	1388	155
155	1726	1385	155	1732	1391	150	1744	1400	154	1748	1403	156
152	1730	1390	189	1736	1393	159	1746	1401	154	1756	1410	154
WStr 54(0515) WStr 55(0915) WStr 56(1315) WStr 57(1715) WStr 58(2115)												
-	-	265	27.7	-	-	-	-	-	-	-	-	-
3	280	45.2	245	31.5	245	24	-17	26.0	250	23.7	180	12.6
3	-44	12	-20	24	-17	20	-17	17	17	5	11	
3	300	6.7	140	9.5	115	8.0	30	6.5	120	32.1		
3	-7	-1	9	4	8	0	1	-7	32	3		
6	80	5.5	St	0	35	4.3	120	10.2	105	22.0		
5	-3	0	0	1	-4	10	1	22	-4			

4.3.48

o2	o4	o6	o8	1o	12	14	16	18	2o	22	24	
NNE	NE	NE	NE	NE	ESE	NE	NNW	NNE	NW	St	NW	
2.8	1.4	2.2	1.6	2.0	0.9	0.8	1.1	1.3	1.2	0	1.3	
	St	St	St	St	St	St	St	St	St	St	St	
0	0	0	0	0	0	0	0	0	0	0	0	
0	0	0	0	0	0	0	0	0	0	0	0	
0	0	0	0	0	0	0	0	0	0	0	0	
-2.7	-2.8	-3.2	-2.9	-3.0	-2.8	-1.7	-1.2	-0.9	0.0	-1.5	-1.7	
W 59 (0530)	W 60 (0930)	W 61 (1345)	W 62 (1745)	W 63 (2130)								
0 077	875	703	083	883	709	083	887	712	080	885	710	075
5 076	883	709	081	889	714	089	887	712	083	885	710	079
0 080	885	711	080	898	722	079	887	712	089	891	715	085
5 105	1109	892	118	1439	1156	130	1447	1162	154	1580	1270	167
0 150	1720	1380	150	1722	1382	168	1761	1413	182	1791	1437	176
4 165	1773	1422	162	1763	1415	168	1761	1413	188	1804	1446	197
5 160	1775	1424	164	1773	1423	169	1761	1413	187	1804	1446	198
WStr 59(0530) WStr 60(0945) WStr 61(1345) WStr 62(1715) WStr 63(2115)												
8 St	0.0	St	0	70	3.7	345	4.7	St	0			
6 0	0	0	0	0	3	-3	-3	-4	0	0		
6 95	25.3	120	43.1	100	22.1	95	11.0	120	26.6			
6 24	-9	43	4	21	-6	10	-4	27	2			
6 St	0	330	2.7	110	8.1	105	14.3	105	9.6			
0 0	-3	-1	8	-1	14	-3	10	-2				

5.3.48

o2	o4	o6	o8	10	12	14	16	18	20	22	24	
WNW	St.	W	W	WNW	WNW	WNW	SW	SSW	SSW	SWzS	SWzS	
1.4	o	Bfl	Bfl	Bfl	Bfl	Bfl	Bfl	Bfl	Bfl	Bfl	Bfl	
.	222		St		St		St		248		257	
	12	0		0		0		5		13		
	4	0		0		0		3		10		
	-11	0		0		0		-4		-8		
	-1.4	-2.1	-1.9	-2.1	-2.0	-2.0	-1.8	-2.0	-2.4	-2.2	-3.2	-3.4
	W 64 (0530)	W 65 (0930)	W 66 (1345)	W 67 (1730)	W 68 (2130)							
0	082	850	683	085	879	706	094	863	694	092	867	697
5	090	861	692	097	887	713	095	891	716	099	889	714
o	102	891	716	106	914	735	099	916	736	100	893	718
5	150	1636	1314	154	1699	1364	155	1703	1367	170	1734	1392
o	166	1734	1392	190	1804	1446	181	1824	1462	183	1816	1456
4	204	1832	1469	204	1828	1466	203	1841	1475	198	1828	1465
5	200	1832	1469	209	1841	1475	210	1849	1481	204	1828	1465

WStr 64(0530) WStr 65(0915) WStr 66(1315)

WStr 68(2130)

2	-	-		90	10.1						-
				9	-4						
8	5	11.0	335	7.3	80	11.7				200	16.1
-4	-10		-6	-5	10	-7				1	16
16	St	0	St	0	75	11.7				120	10.3
26	?	0	0	0	9	-8				10	1
?	?	2.8	?	2.8	95	8.6				130	3.6
?	?	?	?	?	8	-3				4	1

6.3.48

o2	o4	o6	o8	10	12	14	16	18	20	22	24
SW	SW	NE	SSE	SE	ESE	SE	NE	NE	E	ESE	St
Bfl	Bfl	Bfl	Bfl	Bfl	Bfl	Bfl	Bfl	Bfl	Bfl	Bfl	0
St	St	St	St	St	St	St	St	St	St	St	
0	0	0	0	0	0	0	0	0	0	0	
0	0	0	0	0	0	0	0	0	0	0	
0	0	0	0	0	0	0	0	0	0	0	
-2.9	-3.0	-2.9	-3.0	-2.5	-1.8	-1.4	-2.2	-2.0	-2.5	-2.5	-2.6
W 69 (0530)	W 70 (0930)	W 71 (1345)	W 72 (1730)	W 73 (2130)							
0	062	879	705	065	879	706	089	863	693	085	885
5	077	883	709	079	912	732	088	865	695	096	900
lo	100	1027	825	100	1066	857	100	1057	850	103	1141
15	118	1463	1175	116	1576	1266	140	1621	1317	135	1570
20	160	1769	1420	163	1773	1423	160	1777	1426	184	1800
24	190	1804	1446	185	1824	1459	183	1824	1463	198	1820
5	195	1847	1480	198	1834	1470	178	1843	1478	210	1910

5	-	260	2.5	-	-	-	-	-	-	-	-
2	-	-	-2	1							
8	155	17.2	220	4.9	110	9.0	St	0	75		
13	11	-1	5	9	-1	0	0	11			
.6	120	22.5	120	38.9	155	16.6	130	23.4	120		
22	2	39	3	13	11	23	6	60			
16	325	3.3	270	3.1	110	17.7	105	11.4	130		
-3	-2	-3	1	18	-2	11	-2	8			

7.3.48

02	04	06	08	10	12	14	16	18	20	22	24
St	St	SSW	SE	S	NE	W	WNW	W	WSW	SSW	WSW
o	o	Bfl	Bfl	Bfl	3.7	3.7	4.3	3.5	4.5	5.3	6.2
248	208			225			281		286		281
15	18			28			52		47		48
10	1			10			51		46		47
-11	-18			-26			-13		-7		-12
-2.8	-3.1	-3.7	-3.1	-2.0	0.7	1.7	1.7	1.8	2.2	2.5	2.7
W 74 (0530)	W 75 (0930)	W 76 (1330)	W 77 (1730)	W 78 (2130)							
0 045	951	763	064	967	777	102	961	773	103	1008	810 090 973 782
5 072	973	782	122	1182	950	132	1369	1100	109	1141	915 105 1078 866
10 159	1414	1136	136	1472	1182	125	1595	1282	174	1674	1343 139 1472 1182
15 132	1689	1356	161	1677	1346	175	1724	1383	159	1761	1414 161 1746 1406
20 150	1761	1414	149	1761	1414	185	1765	1416	180	1810	1451 198 1845 1479
24 156	1769	1420	170	1820	1460	200	1800	1443	212	1976	1582 260 1978 1582
7.5 167	1802	1446	175	1826	1465	188	1931	1547	212	1978	1584 218 1990 1594
WStr 74(0530)	WStr 75(0930)	WStr 76(1330)	WStr 77(1730)	WStr 78(2115)							
2 -	360	41.3	50	43.4	-				100		39.8
	-17	-38	18	-39					38	-10	
8 85	47.2	70	41.7	80	50.4	110		62.7	110		40.7
	41	-24	30	-30	41	-30	63	-6	41	-4	
16 110	31.5	120	14.8	120	8.2	105		22.5	130		6.2
	31	-3	15	1	8	1	22	-4	6	2	
26 60	8.0	60	15.7	105	17.2	85		14.4	90		11.2
	5	-7	9	-13	17	-3	13	-7	10	-5	

8.3.48

02	04	06	08	10	12	14	16	18	20	22	24
WSW	SWzW	SW	SW	SW	SW	SW	W	WzS	W	WSW	W
7.1	6.3	5.9	5.8	6.9	7.2	8.0	8.6	11.1	8.3	8.5	8.7
278	264			262			256		293		300
58	22			43			55		53		55
56	19			36			43		53		55
-17	-11			-23			-35		-2		5
2.3	2.8	2.6	2.9	3.0	3.2	3.7	4.0	3.5	3.5	3.1	2.9
W 79 (0530)	W 80 (0930)	W 81 (1330)	W 82 (1730)	W 83 (2130)							
0 098	967	777	103	982	790	110	1008	810	125	916	736 124 902 725
5 145	1469	1179	124	1385	1113	133	1515	1218	124	1148	922 103 984 791
10 145	1656	1330	133	1728	1388	131	1574	1265	196	1679	1347 130 1267 1259
15 179	1728	1386	150	1750	1405	144	1742	1399	165	1771	1421 183 1734 1392
20 214	1838	1473	195	1802	1445	209	1824	1462	270	1970	1575 232 1886 1511
24 256	1941	1553	270	1982	1585	270	1984	1587	281	1992	1592 277 2019 1614
7.5 287	287	2039	1630	285	2037	1628	287	2035	1627	283	2015 1611 303 2070 1653
WStr 79(0530)	WStr 80(0915)	WStr 81(1330)	WStr 82(1715)	WStr 83(2130)							
2 -	55	31.4	90	42.9	-				120		38.8
	27	-16	39	-18					39	3	
8 120	58.4	110	37.7	70	42.6	105		72.3	115		72.7
	58	5	38	-3	30	-30	71	-13	73	0	
16 130	30.4	110	9.3	80	30.0	110		47.6	135		39.4
	29	8	9	-1	25	-17	47	-4	37	13	
26 88	5.8	330	3.8	110	7.0	60		24.9	110		15.6
	5	-3	-3	-2	7	-1	14	-20	15	-1	

9.3.48

02	04	06	08	10	12	14	16	18	20	22	24
W	SW	W	WzS	WzS	WSW	WSW	WSW	WSW	SWzW	WSW	WSW
9.3	6.9	4.6	3.4	5.5	5.1	6.8	8.0	8.9	10.2	9.1	7.4
	293		267		270		293		281		270
	82		48		43		60		112		100
	82		42		39		60		109		91
	-3		-23		-19		-2		-27		-42
3.4	2.8	2.5	3.2	4.2	3.0	3.6	4.0	3.6	3.7	3.6	3.5
W 84 (0530)	W 85 (0930)		W 86 (1330)		W 87 (1730)		W 88 (2130)				
0 117	1092	878	119	1125	905	115	1129	909	152	1293	1039
5 120	1221	981	120	1234	991	129	1252	1007	152	1293	1039
10 115	1363	1096	172	1683	1350	127	1461	1173	149	1385	1113
15 132	1463	1175	191	1740	1396	183	1691	1356	165	1679	1348
20 216	1771	1420	225	1853	1485	210	1824	1462	252	1945	1556
24 276	2000	1600	245	1927	1542	283	2013	1610	270	1986	1589
.5 291	2056	1643	269	1988	1590	284	2015	1611	-	288	2035
											1626
WStr 84(0530)	WStr 85(0930)		WStr 86(1330)		WStr 87(1730)		WStr 88(2115)				
2 315	57.4	90		41.9	100		38.7	90	80.4	60	92.0
	56	-15	38	18	37	-10		73	-34	83	-39
8 110	76.4	110		53.3	90		42.6	130	74.1	125	76.5
	76	-7	53	-5	39	-18		7.2	19	75	13
16 125	107.2	330		6.4	60		23.0	110	48.8	135	38.3
	106	19	-5	-4	13	-19		48	-4	37	13
26 315	7.9	285		19.9	245		16.8	145	3.8	100	15.5
	-7	-3	-20	4	-11	13		3	2	15	-4

10.3.48

02	04	06	08	10	12	14	16	18	20	22	24
WSW	SWzW	WSW	W	W	WNW	WNW	WzN	W	W	W	WzN
9.4	9.2	9.7	10.8	12.3	11.8	10.2	11.7	10.3	12.1	8.4	10.1
	284		295		293		293		281		281
	94		93		113		115		180		~190
	92		93		113		115		175		184
	-18		0	-4		-4	-4		-44		-46
3.7	4.1	3.9	4.0	5.0	5.1	5.5	5.8	4.2	4.5	3.9	3.6
W 89 (0530)	W 90 (0930)		W 91 (1330)		W 92 (1745)		W 93 (2130)				
0 147	1312	1054	148	1291	1038	189	1431	1150	189	1627	1306
5 151	1326	1066	156	1474	1183	186	1441	1157	200	1646	1321
10 181	1508	1212	154	1585	1274	173	1451	1165	198	1664	1335
15 234	1888	1512	230	1875	1502	180	1689	1355	220	1693	1355
20 260	2033	1626	260	2029	1623	230	1877	1503	208	1662	1333
24 260	2037	1630	264	2060	1647	252	1994	1596	230	1914	1533
.5 260	2054	1643	263	2062	1649	263	2050	1640	268	2064	1650
											236
											1836
											1471
WStr 89(0530)	WStr 90(0930)		WStr 91(1330)		WStr 92(1715)		WStr 93(2130)				
2 -		120		95.8	125		102.8	120	151.6	120	50.0
		95		8	101	18		151	13	50	4
8 130		73.4	110		78.4	140		103.0	-	120	112.3
	71	19		78	-7	93	44			112	10
16 115		65.3	155		41.8	110		42.2	-	110	104.9
	65	0	32	27		42	-4			105	-9
26 120		43.5	265		12.0	125		18.3	135	26.4	140
	43	4	-10	6		18	3		25	9	65
											30

Anmerkung: Bei den Serien 92 und 93 sind die Tiefenangaben, insbesondere die der mittleren Tiefen, unsicher; es treten Drahtwinkel bis über 60° gegen die Lotrichtung auf.

11.3.48

02	04	06	08	10	12	14	16	18	20	22	24
WNW	WNW	WNW	WNW	NW	WNW	W	WNW	WNW	WNW	WNW	WNW
12.2	10.8	11.2	10.7	8.5	7.8	6.5	7.2	8.4	8.0	6.5	5.9
281	281	335			275			287			284
187	95	13			53			85			105
181	92	10			50			84			103
-45	-23	8			-18			-12			-20
4.2	4.0	3.6	3.7	4.3	4.6	4.0	4.6	4.3	3.8	4.4	3.2

W 94 (0530)	W 95 (0930)	W 96 (1330)	W 97 (1730)	W 98 (2130)
0 174	1158	932	187	1187
5 187	1549	1244	206	1668
10 216	1695	1360	215	1718
15 234	1804	1445	218	1724
20 236	1808	1449	220	1724
24 235	1818	1456	228	1783
27.5 236	1818	1456	230	1793

WStr 94(0530)	WStr 95(0930)	WStr 96(1345)	WStr 97(1715)	WStr 98(2130)
1 -	130	55.7	-	-
	54	14		
2 90	122.3	-	55	
111	-52		10	19.8
			-17	115
3 -	St	0	-	-
	0	0		
8 115	67.4	315	54.3	25
67	0	-51	-19	0
16 120	25.9	320	80.3	320
26	2	-73	-34	-29
26 230	11.8	300	53.2	240
-5	11	-53	-5	-19

12.3.48

02	04	06	08	10	12	14	16	18	20	22	24
WNW	NW	W	W	WSW	W	WzN	WSW	SW	SSW	SW	WSW
6.8	6.0	3.2	4.1	4.2	4.4	6.2	4.5	6.0	8.1	7.7	10.3
281	270	281			278			262			281
93	52	43			32			50			80
90	47	42			31			42			78
-23	-22	-10			-9			-27			-19
2.9	3.0	2.9	3.6	3.6	3.8	4.3	3.7	4.2	4.3	4.0	3.9

W 99 (0530)	W 100 (0930)	W 101 (1330)	W 102 (1730)	W 103 (2145)
0 192	1152	927	200	1160
5 198	1523	1223	209	1529
10 214	1658	1330	216	1701
15 222	1730	1387	227	1767
20 227	1771	1419	228	1769
24 230	1783	1429	236	1828
7.5 238	1830	1466	246	1890

WStr 99(0530)	WStr 100(0930)	WStr 101(1330)	WStr 102(1715)	WStr 103(2130)
2 70	81.7	85	30.2	95
58	-58	26	-15	24
8 70	14.8	15	24.9	85
11	-11	-4	-25	20
16 95	17.6	310	14.7	St
17	-6	-14	-4	0
26 ?	?2	285	19.6	265
?	?	-19	3	-13

15.3.48

02 ST o	04 SzW	06 SE	08 SSE	10 S	12 SE	14 SSE	16 S	18 SW	20 SW	22 W	24 W
2.4	2.3	4.0	3.2	5.1	4.5	3.6	5.5	4.5	8.4	8.4	
St		228		247		236		214			248
0		17		27		13		22			28
0		7		18		7		3			19
0		-16		-20		-11		-22			-21
2.6	2.7	2.5	2.8	4.6	4.7	6.2	7.2	7.0	6.2	4.6	4.0
W 114 (o530)	W 115 (o945)	W 116 (1345)	W 117 (1730)	W 118 (2130)							
0 235	1705	1367	272	1379	1110	330	1431	1146	303	1459	1168
5 251	1761	1411	257	1744	1397	259	1715	1374	250	1695	1359
10 254	1779	1425	249	1769	1416	248	1742	1396	248	1746	1400
15 252	1779	1425	248	1793	1436	247	1763	1412	247	1763	1412
20 250	1787	1431	249	1804	1445	247	1826	1463	245	1814	1453
24 249	1847	1479	249	1843	1475	250	1865	1493	250	1894	1515
27.5 249	1859	1489	249	1851	1481	250	1865	1493	252	1898	1519
WStr 114(o530)	WStr 115(o945)	WStr 116(1345)	WStr 117(1715)	WStr 118(2130)							
0.5 -	80	<1	80	<1	St	0	-				
		<1	<1	<1	<1	0	0				
2 360	11.3	310	~1	345	4.0	St	0	80			3.2
-5 -10	-10	-1	-1	-3	-3	0	0	3			-2
8 310	20.4	310	9.4	340	20.8	330	22.1	320			23.7
-20 -5	-5	-9	-2	-15	-15	-18	-13	-22			10
16 290	10.0	280	17.0	290	22.7	310	24.0	300			24.7
-10 1	1	-16	4	-23	2	-23	-6	-25			-2
26 240	15.9	270	13.0	285	14.7	270	15.7	270			18.9
-9 13	13	-12	6	-15	3	-14	7	-17			8

16.3.48

02 WSW	04 SW	06 SW	08 SW	10/ W	12 WzS	14 NWzW	16 WNW	18 WNW	20 WzN	22 ENW	24 WzN
6.7 6.9	6.4	7.5	6.6	9.4	11.9	10.6	13.3	13.7	12.5	10.4	
168		214		292		309		305		286	
38		17		52		100		67		60	
-23		3		52		97		66		59	
-30		-17		-3		24		11		-9	
4.4 4.2	4.5	4.7	4.5	4.2	4.6	4.8	4.3	3.8	3.9	4.0	
W 119 (o530)	W 120 (o930)	W 121 (1330)	W 122 (1745)	W 123 (2130)							
0 320	1396	1118	288	1506	1208	280	1599	1281	312	1504	1205
5 264	1633	1310	249	1670	1339	278	1603	1285	291	1609	1290
10 239	1685	1350	250	1701	1364	268	1646	1319	278	1638	1313
15 249	1728	1385	251	1738	1392	255	1740	1394	263	1672	1340
20 242	1756	1407	244	1771	1419	244	1773	1420	250	1746	1400
24 248	1832	1467	247	1824	1461	250	1830	1465	250	1867	1495
27.5 249	1841	1474	250	1824	1461	251	1832	1467	250	1867	1495
WStr 119(o530)	WStr 120(o930)	WStr 121(1330)	WStr 122(1745)								
2 330	28.3	85	29.8	-							
-23 -16	26	-15									
8 255	28.6	155	10.5	150.		54.8	120		91.0		
-22 18	8	7	50	23		90		8			
16 285	19.2	200	14.0	130		20.7	130		80.6		
-19 3	1	14	20	5		78		21			
26 110	6.3	260	9.5	100		24.9	-				
6 -0	-9	5	24	-6							

Anmerkung: Die Richtungsangaben der Stromserien WStr 120 - 122 sind unsicher, da infolge starken Seeganges der Strommesser größere seitlichen Schwankungen ausgesetzt war.

17.3.48

02	04	06	08	10	12	14	16	18	20	22	24	
W	WNW	WNW	WNW	WNW	WNW	WNW	WNW	WNW	W	W	WSW	
8.9	9.5	8.9	8.4	9.2	9.3	6.1	7.4	8.1	3.3	Bf3	Bf3	
304		287		287			290		276		259	
57		88		93			45		37		23	
56		87		92			45		35		19	
9		-12		-13			-4		-12		-14	
3.4	3.2	3.0	3.7	3.7	4.4	5.0	5.4	5.1	5.0	3.5	3.2	
W 124 (0530)	W 125 (0930)	W 126 (1345)		W 127 (1745)	W 128 (2145)							
0 258	1746	1399	271	1707	1367	246	1707	1368	288	1490	1194	279 1699 1360
5 257	1759	1409	267	1715	1373	281	1738	1392	289	1695	1357	279 1705 1366
10 260	1771	1418	261	1748	1400	279	1802	1442	268	1781	1426	279 1711 1370
15 260	1773	1420	262	1767	1415	270	1802	1442	280	1816	1454	270 1816 1453
20 262	1785	1430	264	1771	1418	270	1804	1444	280	1820	1457	288 1861 1488
24 264	1789	1432	264	1775	1421	267	1812	1450	281	1832	1466	300 1896 1515
27.5 263	1791	1434	264	1787	1431	266	1820	1457	281	1836	1469	199 1896 1515
WStr 124 (0530)	WStr 125 (0930)	WStr 126 (1345)		WStr 127 (1745)	WStr 128 (2145)							
2 115	97.3	115		85.0	115		65.3	95	45.1	60		38.0
97	0		85	0		65	0	42	-15		22	-31
8 125	87.6	125		71.3	125		35.4	90		31.2	80	40.0
86	+15		70	12		35	6		28	-13		33 -23
16 135	65.4	115		35.7	95		24.1	115		29.0	80	16.5
62	22		36	0		23	-8		29	0		14 -10
26 140	48.5	300		18.3	75		20.4	110		24.2	95	15.4
44	21		-18	-2		16	-13		24	-2		14 -7

18.3.48

02	04	06	08	10	12	14	16	18	20	22	24	
S	SSE	SSE	SE	E	NEzN	NE	N	W	W	NW	NW	
Bf4	Bf4	Bf4	Bf4	Bf5	Bf5	Bf5	Bf3	Bfl	Bf3	Bf5	Bf5	
233		231			168		138		225		292	
20		42			18		27		18		50	
9		18			-11		-25		6		50	
-18		-38			-14		-11		-17		-3	
3.3	3.2	3.0	3.0	2.6	1.7	3.0	3.5	3.6	3.7	3.7	3.0	
W 129 (0530)	W 130 (0930)	W 131 (1330)		W 132 (1745)	W 133 (2145)							
0 279	1601	1284	286	1472	1180	279	1615	1293	295	1519	1218	283 1508 1209
5 280	1633	1309	287	1476	1183	276	1615	1295	275	1619	1298	278 1664 1333
10 264	1742	1395	265	1781	1426	270	1789	1432	274	1828	1463	289 1873 1498
15 285	1851	1480	284	1845	1476	291	1865	1491	295	1890	1511	295 1906 1524
20 312	1923	1537	311	1951	1559	302	1902	1520	304	1912	1528	307 1943 1552
24 312	1961	1566	310	1953	1560	315	2000	1598	318	2031	1621	320 2039 1620
27.5 310	1992	1591	312	1968	1572	318	2021	1614	318	2041	1630	319 2039 1628
WStr 129 (0530)	WStr 130 (0930)	WStr 131 (1330)		WStr 132 (1715)	WStr 133 (2130)							
2 25	36.6	275		4.7	80		10.9	335		31.9	120	54.9
0	-37		-4	2		9	-6		-24	-21		5
8 85	24.4	65		29.3	70		26.6	60		13.4	110	25.3
21	-12		19	-23		19	-19		8	-11		25 -2
16 115	17.1	90		29.9	100		19.6	150		12.6	100	32.1
17	0	27		-13		19	-5		10	7		-8
26 80	5.3	75		8.1	100		9.3	190		6.3	105	19.0
4	-3		6	-5		9	-2		2	6		-3

Lebenslauf

Am 24. Juni 1921 wurde ich, Hartwig Karl Helmut Weidemann, als Sohn des Dr.phil. Carl Weidemann, heute Oberstudienrat i.R., und seiner Ehefrau Carla, geb.Clausen in Kiel geboren. Nach vierjähriger Grundschulzeit besuchte ich von Ostern 1931 bis 1939 die Nebenschule in Kiel, die anfangs als Oberrealschule, ab Untersekunda als Reform-Realgymnasium (später Oberrealschule) arbeitete. Kurz vor den Ablegen der Reifeprüfung (7.3.1939) bewarb ich mich mit Erfolg beim Reichswetterdienst zu einer Sonderausbildung für die Meteorologenlaufbahn. Nach der Erfüllung der Arbeitsdienstpflicht wurde ich im Juli 1939 zur Wehrmacht einberufen und studierte (nach militärischer Grundausbildung bis April 1940) an der Friedrich-Wilhelms-Universität in Berlin 6 Tri- bzw. Semester Mathematik, Physik, Geophysik und Meteorologie im Rahmen eines Sonderkurses für Wehrmachtmeteorologen. Nach dem Abschluß des Studiums durch das Diplom-Examen für Meteorologie am 20.4.42 folgte Ausbildung und Einsatz im praktischen Wetterdienst bei der Marine. Von Dezember 1943 bis zum 2. Staatsexamen für den Wetterdienst im Juni 1944 und von der anschließenden Ernennung zum Reg.-Assessor bis Kriegsende war ich als Leiter verschiedener Bord- und Landwetterwarten tätig, nach Kriegsende noch weitere acht Monate bei der Beratung des deutschen Minenräumdienstes in Norwegen. Nach meiner Rückkehr und Entlassung im März 1946 war ich zunächst ein halbes Jahr als Hauslehrer in Mölln i.L. beschäftigt und bewarb mich dann zu Beginn des Wintersemesters 1946/47 um die Zulassung zur Fortsetzung meines Studiums an der Christian-Albrechts-Universität in Kiel. Während der folgenden beiden Semester hörte ich hier als vollimatrikulierter Student, darauf im Wintersemester 1947/48 und Sommersemester 1948 als Gasthörer ergänzende mathematische, physikalische und meereskundliche Vorlesungen. Gleichzeitig beteiligte ich mich fortlaufend an praktischen Arbeiten des Instituts für Meereskunde und führte auf Anregung von Herrn Prof.Wüst im Sommer 1947 und im Winter 1947/48 zwei vierwöchige Beobachtungsreihen auf Feuerschiff "Fehmarnbelt" durch, die die Grundlagen der vorliegenden Untersuchungen bilden.

Hartwig Weidemann.